

Mechanika kwantowa II

10 Rachunek zaburzeń dla stanów stacjonarnych

Niech $\hat{H} = \hat{H}_0 + \lambda \hat{V}$ będzie Hamiltonianem układu niezależnym od czasu, o widmie dyskretnym.

Założymy, że znamy stany własne \hat{H}_0 :

$$\hat{H}_0 |\Phi_n\rangle = E_n^{(0)} |\Phi_n\rangle ; \quad \langle \Phi_n | \Phi_{n'} \rangle = \delta_{nn'}$$

oraz $E_n^{(0)} \neq E_m^{(0)}$ dla $n \neq m$

Stany $|\Phi_n\rangle$ nie zależą od czasu i odpowiadają stacjonarnym rozwiązaniom równia Schrödingera:

$$+ i\hbar \frac{\partial}{\partial t} \Phi_n(\vec{r}, t) = \hat{H}_0 \Phi_n(\vec{r}, t)$$

gdzie $\Phi_n(\vec{r}, t) = e^{-iE_n^{(0)}t/\hbar} \langle \vec{r} | \Phi_n \rangle$

Chcemy znaleźć metodą wyznaczenia kolejnych przybliżeń stanów własnych i energii własnych \hat{H} :

$$\hat{H} |\psi_n(\lambda)\rangle = E_n(\lambda) |\psi_n(\lambda)\rangle$$

gdzie \hat{V} jest zaburzeniem, a $\lambda \in \mathbb{R}$ małym parametrem ($0 \leq \lambda \leq 1$)

Założenia:

- 1) $|\psi_n(\lambda)\rangle$ i $E_n(\lambda)$ są analitycznymi funkcjami parametru λ (tzn. istnieje rozwinięcie u szeregu Taylora, które jest obcięte) dla $\lambda \in (0, 1)$
- 2) $|\psi_n(0)\rangle = e^{i\alpha} |\Phi_n\rangle$, $E_n(0) = E_n^{(0)}$, $\alpha \in \mathbb{R}$
- 3) $\lambda \hat{V}$ jest małe u tym sensie, że $|E_n(\lambda) - E_n^{(0)}| \ll |E_n(\lambda) - E_m^{(0)}|$ dla $n \neq m$

Ponieważ $|\Phi_n\rangle$ tworzy bazę w p. Hilberta zatem

(2)

$$|\psi_n(\lambda)\rangle = \sum_m a_m(\lambda) |\Phi_m\rangle$$

przy czym z założenia 3) : $a_m(0) = e^{i\alpha} \delta_{nm}$

$$\begin{aligned} \hat{H} |\psi_n(\lambda)\rangle &= \sum_m a_m(\lambda) (\hat{H}_0 + \lambda \hat{V}) |\Phi_m\rangle = \sum_m a_m(\lambda) (E_m^{(0)} + \lambda \hat{V}) |\Phi_m\rangle = \\ &= E_n(\lambda) |\psi_n(\lambda)\rangle = \sum_m a_m(\lambda) E_n(\lambda) |\Phi_m\rangle \end{aligned}$$

Stąd

$$(*) \sum_m a_m(\lambda) (E_m^{(0)} + \lambda \hat{V}) |\Phi_m\rangle = E_n(\lambda) \sum_m a_m(\lambda) |\Phi_m\rangle$$

Działając lewostronnie wektorem bra $\langle \Phi_k |$ na (*):

$$\sum_m a_m(\lambda) (E_m^{(0)} \langle \Phi_k | \Phi_m \rangle + \lambda \langle \Phi_k | \hat{V} | \Phi_m \rangle) = E_n(\lambda) \sum_m a_m(\lambda) \langle \Phi_k | \Phi_m \rangle$$

Korzystając z tego że $\langle \Phi_k | \Phi_n \rangle = \delta_{kn}$ mamy:

$$a_k(\lambda) E_k^{(0)} + \lambda \sum_m a_m(\lambda) \langle \Phi_k | \hat{V} | \Phi_m \rangle = E_n(\lambda) a_k(\lambda)$$

Oznaczmy: $\langle \Phi_k | \hat{V} | \Phi_m \rangle \stackrel{\text{ozn.}}{=} V_{km}$

$$(E_n(\lambda) - E_k^{(0)}) a_k(\lambda) = \lambda a_k(\lambda) V_{kk} + \lambda \sum_{m \neq k} a_m(\lambda) V_{km}$$

$$(**) \left[(E_n(\lambda) - E_k^{(0)} - \lambda V_{kk}) a_k(\lambda) = \lambda \sum_{m \neq k} a_m(\lambda) V_{km} \right]$$

R-nie (**) jest dobitadue i jest punktem wyjścia dla różnych schematów przybliżeń.

Standardowy ciąg przybliżeń konstruujemy poszukując rozwiązania w postaci:

$$\begin{cases} a_k(\lambda) = \sum_{i=0}^{\infty} \lambda^i a_k^{(i)} \\ E_n(\lambda) = \sum_{i=0}^{\infty} \lambda^i E_n^{(i)} \end{cases}, \text{ gdzie } a_k^{(0)} = e^{i\alpha} \delta_{kn} \text{ (z uwagi na założenie 3)}$$

Podstawiając do (***) otrzymujemy

(3)

$$\left(\sum_{i=0}^{\infty} \lambda^i E_n^{(i)} - E_k^{(0)} - \lambda V_{kk} \right) \sum_{j=0}^{\infty} \lambda^j a_k^{(j)} = \lambda \sum_{m \neq k} \sum_{j=0}^{\infty} \lambda^j a_m^{(j)} V_{km}$$

$$(***) \sum_{i=0}^{\infty} \lambda^{i+j} E_n^{(i)} a_k^{(j)} - (E_k^{(0)} + \lambda V_{kk}) \sum_j \lambda^j a_k^{(j)} = \sum_{m \neq k} \sum_j \lambda^{j+1} a_m^{(j)} V_{km}$$

Porównując wyrazy przy kolejnych potęgach λ otrzymujemy:

$$\lambda^0: E_n^{(0)} a_k^{(0)} - E_k^{(0)} a_k^{(0)} = 0$$

$$(E_n^{(0)} - E_k^{(0)}) e^{i\alpha} \delta_{kn} = 0 \leftarrow \text{to r-nie jest zawsze spełnione}$$

$$\lambda^1: E_n^{(0)} a_k^{(1)} + E_n^{(1)} a_k^{(0)} - E_k^{(0)} a_k^{(1)} - V_{kk} a_k^{(0)} = \sum_{m \neq k} a_m^{(0)} V_{km}$$

$$(E_n^{(0)} - E_k^{(0)}) a_k^{(1)} + (E_n^{(1)} - V_{kk}) a_k^{(0)} = \sum_{m \neq k} e^{i\alpha} \delta_{mn} V_{km}$$

$$k=n: (E_n^{(1)} - V_{nn}) a_n^{(0)} = 0 \Rightarrow \boxed{E_n^{(1)} = V_{nn}}$$

$$k \neq n: (E_n^{(0)} - E_k^{(0)}) a_k^{(1)} = e^{i\alpha} V_{kn}$$

$$\boxed{a_k^{(1)} = e^{i\alpha} \frac{V_{kn}}{E_n^{(0)} - E_k^{(0)}}}; \quad k \neq n$$

Zatem w pierwszym rzędzie rachunku zaburzeń:

$$\begin{cases} E_n(\lambda) \approx E_n^{(0)} + \lambda V_{nn} \\ |\Psi_n(\lambda)\rangle \approx |\Phi_n\rangle e^{i\alpha} + \lambda e^{i\alpha} \sum_{k \neq n} \frac{\langle \Phi_k | \hat{V} | \Phi_n \rangle}{E_n^{(0)} - E_k^{(0)}} |\Phi_k\rangle + \lambda \frac{V_{nn}}{E_n^{(0)} - E_n^{(0)}} |\Phi_n\rangle \end{cases}$$

~~Wzrostanie $a_n^{(1)}$ jest nieokreślony, a funkcja $|\Psi_n(\lambda)\rangle$ jest nieunormowana.~~

Jako warunek dodatkowy możemy zażądać aby $\langle \Psi_n(\lambda) | \Psi_n(\lambda) \rangle = 1$

u każdego rzędu rachunku zaburzeń lub aby $\langle \Phi_n | \Psi_n^{(i)} \rangle = 0$ gdzie $|\Psi_n(\lambda)\rangle = e^{i\alpha} |\Phi_n\rangle + \sum_{i=1}^{\infty} \lambda^i |\Psi_n^{(i)}\rangle$

Zatem 2 warunki:

$$\langle \Phi_n | \Psi_n^{(1)} \rangle = 0$$

maamy: $a_n^{(1)} \langle \Phi_n | \Phi_n \rangle = 0 \Rightarrow a_n^{(1)} = 0$

$$\lambda^2: E_n^{(0)} a_k^{(2)} + E_n^{(1)} a_k^{(1)} + E_n^{(2)} a_k^{(0)} - E_k^{(0)} a_k^{(2)} - V_{kk} a_k^{(1)} = \sum_{m \neq k} a_m^{(1)} V_{km}$$

$$(E_n^{(0)} - E_k^{(0)}) a_k^{(2)} + (E_n^{(1)} - V_{kk}) a_k^{(1)} + E_n^{(2)} a_k^{(0)} = \sum_{m \neq k} a_m^{(1)} V_{km}$$

$k=n$: $E_n^{(2)} a_n^{(0)} = \sum_{m \neq n} \frac{V_{mn} V_{nm}}{E_n^{(0)} - E_m^{(0)}} e^{i\alpha}$

$$E_n^{(2)} = \sum_{m \neq n} \frac{|\langle \Phi_m | \hat{V} | \Phi_n \rangle|^2}{E_n^{(0)} - E_m^{(0)}}$$

$k \neq n$: $(E_n^{(0)} - E_k^{(0)}) a_k^{(2)} + (V_{nn} - V_{kk}) e^{i\alpha} \frac{V_{kn}}{E_n^{(0)} - E_k^{(0)}} = \sum_{\substack{m \neq k \\ m \neq n}} e^{i\alpha} \frac{V_{mn} V_{km}}{E_n^{(0)} - E_m^{(0)}}$

$$a_k^{(2)} = \sum_{\substack{m \neq k \\ m \neq n}} e^{i\alpha} \frac{V_{mn} V_{km}}{(E_n^{(0)} - E_m^{(0)})(E_n^{(0)} - E_k^{(0)})} - e^{i\alpha} \frac{(V_{nn} - V_{kk}) V_{kn}}{(E_n^{(0)} - E_k^{(0)})(E_n^{(0)} - E_k^{(0)})}$$

$$a_k^{(2)} = e^{i\alpha} \left[\sum_{\substack{m \neq k \\ m \neq n}} \frac{V_{km} V_{mn}}{(E_n^{(0)} - E_m^{(0)})(E_n^{(0)} - E_k^{(0)})} + \frac{V_{kk} V_{kn}}{(E_n^{(0)} - E_k^{(0)})(E_n^{(0)} - E_k^{(0)})} - \frac{V_{kn} V_{nn}}{(E_n^{(0)} - E_k^{(0)})^2} \right]$$

$$a_k^{(2)} = e^{i\alpha} \left[\sum_{m \neq n} \frac{V_{km} V_{mn}}{(E_n^{(0)} - E_k^{(0)})(E_n^{(0)} - E_m^{(0)})} - e^{i\alpha} \frac{V_{kn} V_{nn}}{(E_n^{(0)} - E_k^{(0)})^2} \right]; k \neq n$$

Zatem w drugiej rzedie rachunku zabureni:

$$\begin{cases} E_n(\lambda) \approx E_n^{(0)} + \lambda V_{nn} + \lambda^2 \sum_{m \neq n} \frac{|V_{mn}|^2}{E_n^{(0)} - E_m^{(0)}} \\ |\Psi_n(\lambda)\rangle \approx e^{i\alpha} |\Phi_n\rangle + \lambda |\Psi_n^{(1)}\rangle + \lambda^2 |\Psi_n^{(2)}\rangle \end{cases}$$

gdzie

$$|\Psi_n^{(2)}\rangle = \sum_{k \neq n} \left(e^{i\alpha} \sum_{m \neq n} \frac{V_{km} V_{mn}}{(E_n^{(0)} - E_k^{(0)})(E_n^{(0)} - E_m^{(0)})} - e^{i\alpha} \frac{V_{kn} V_{nn}}{(E_n^{(0)} - E_k^{(0)})^2} \right) |\Phi_k\rangle + a_n^{(2)} |\Phi_n\rangle$$

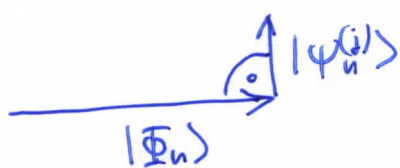
Zadajac aby $\langle \Phi_n | \Psi_n^{(2)} \rangle = 0$ otrzymujemy $a_n^{(2)} = 0$

Uwagi

1° Otrzymany w ten sposób przepis na obliczanie kolejnych poprawek do $E_n^{(0)}$ i $|\Phi_n\rangle$ nazywamy rachunkiem zaburzeń Rayleigha - Schrödingera.

2° Szereg perturbacyjny jest zbieżny jeśli λ jest odpowiednio małe, oraz $|V_{mn}| \ll |E_n^{(0)} - E_m^{(0)}|$ dla wszystkich $m \neq n$.

3° R-ua rachunku zaburzeń określają jedynie (z dokładnością do czynnika fazowego) ~~prostą~~ poprawkę prostopadłą do niezaburzonego stanu $|\Phi_n\rangle$

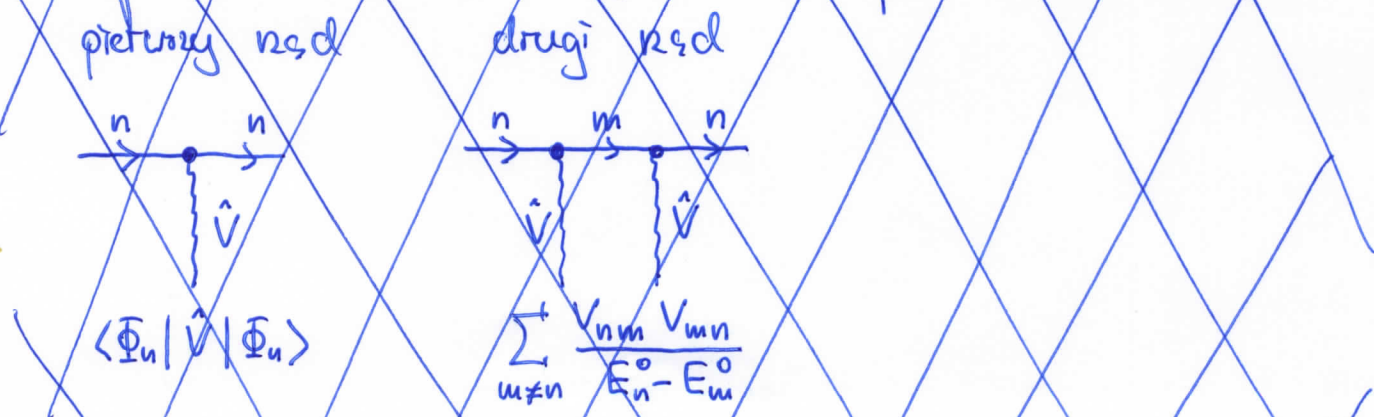


Istnieje zawsze sposobność przy określeniu długości $|\Phi_n\rangle$.

4° Dla stanu o najniższej energii $E_0(\lambda) < E_n(\lambda)$; $n > 0$ drugi rząd rachunku zaburzeń daje zawsze obniżenie energii $E_0^{(2)} = \sum_{m \neq 0} \frac{|V_{m0}|^2}{E_0^{(0)} - E_m^{(0)}} < 0$

5° Zaburzenie energii $E_n^{(0)}$ jest duże jeśli istnieją duże elementy macierowe $\langle \Phi_n | \hat{V} | \Phi_m \rangle$ pomiędzy stanem n -tym oraz m -tym i $|E_n^{(0)} - E_m^{(0)}|$ jest małe.

6° Poprawki do energii wygodnie jest przedstawić graficznie:

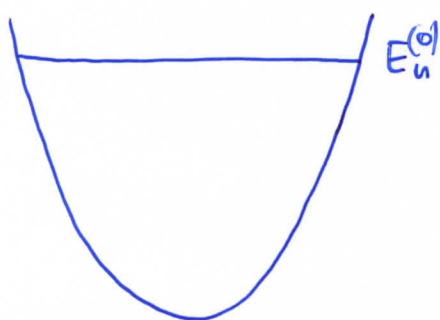


Stąd nietrudno się domyślić jaki będzie wpływ na poprawki do energii w p -tym rzędzie rachunku zaburzeń:

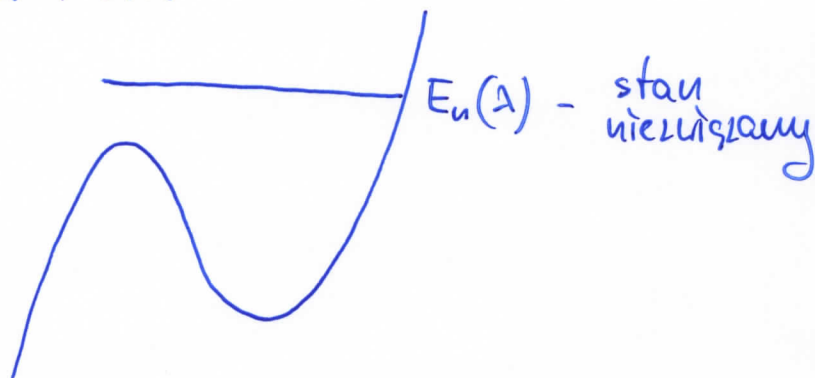
6° Istnieją przypadki gdy nawet dla małego λ struktura zaburzonego stanu ulega gwałtownej zmianie. ⑥

Np. $\hat{H}_0 = \frac{\hat{p}^2}{2m} + \frac{1}{2} m \omega^2 \hat{x}^2$ i $\hat{V} = \lambda \hat{x}^3$

Zatem $\hat{H} = \frac{\hat{p}^2}{2m} + \frac{1}{2} m \omega^2 \hat{x}^2 + \lambda \hat{x}^3$



$\lambda = 0$



$\lambda > 0$

W takim przypadku struktura $|\psi_n(\lambda)\rangle$ jest drastycznie różna od $|\Phi_n\rangle$ i rachunek zaburzeń dla $|\psi_n(\lambda)\rangle$ nie będzie działać.

Przypadek stanów zdegenerowanych

Niech dla pewnego n zachodzi:

$$H_0 |\Phi_{n\alpha}\rangle = E_n^{(0)} |\Phi_{n\alpha}\rangle \quad ; \quad \alpha = 1, 2, \dots, g$$

Wartość własna jest g -krotnie zdegenerowana.

$$\hat{H} = \hat{H}_0 + \lambda \hat{V}$$

~~Jeśli chcemy skonstruować ciąg przybliżeń dla E_n^0 i któregoś ze stanów $|\Phi_{n\alpha}\rangle$ musimy najpierw usunąć degenerację lub spowodować aby $\langle \Phi_{n\alpha} | \hat{V} | \Phi_{n\alpha'} \rangle = 0$~~

Zdefiniujemy operator \hat{V}' taki że:

$$\langle \Phi_k | \hat{V}' | \Phi_l \rangle = 0 \quad ; \quad k, l \neq n$$

$$\langle \Phi_k | \hat{V}' | \Phi_{n\alpha} \rangle = 0 \quad ; \quad \alpha = 1, \dots, g$$

$$\langle \Phi_{n\alpha} | \hat{V}' | \Phi_k \rangle = 0$$

$$\langle \Phi_{n\alpha} | \hat{V}' | \Phi_{n\alpha'} \rangle = \langle \Phi_{n\alpha} | \hat{V} | \Phi_{n\alpha'} \rangle$$

Następnie konstruujemy ciąg przybliżeń traktując stany własne \hat{H}_0' jako niezaburzone:

$$\hat{H}_0' |\Phi_k\rangle = E_k^{(0)} |\Phi_k\rangle; \quad k \neq n$$

$$\hat{H}_0' |\tilde{\Phi}_{n\beta}\rangle = \tilde{E}_{n\beta}^{(0)} |\tilde{\Phi}_{n\beta}\rangle; \quad \beta = 1, 2, \dots, g$$

a operator $\lambda(\hat{V} - \hat{V}')$ jako zaburzenie.

Zauważmy, że nawet jeśli po zaburzeniu (*) degeneracja nie została całkowicie zniszczona, tzn. istnieje np. stany

$|\tilde{\Phi}_{n\beta}\rangle$ i $|\tilde{\Phi}_{n\beta'}\rangle$ odpowiadające tej samej wart. własnej $\tilde{E}_{n\beta}$, to element macierowy $\langle \tilde{\Phi}_{n\beta} | (\hat{V} - \hat{V}') | \tilde{\Phi}_{n\beta'} \rangle = 0$.

Dzięki temu w szeregu przybliżeń nie wystąpi nieskończoność.

Powyższą procedurę można stosować również w przypadku gdy energie nie są zdegenerowane, ale zachodzi:

$$\frac{|\langle \Phi_n | \hat{V} | \Phi_m \rangle|}{E_n^{(0)} - E_m^{(0)}} \gg 1$$

dla pewnych n, m . W takim przypadku rachunek zaburzeń zastosowany do stanu n -tego lub m -tego może prowadzić do wibracji. Należy więc najpierw rozważyć zagadnienie własne dla

$$\begin{bmatrix} E_n^{(0)} - \lambda V_{nn} & V_{nm} \\ V_{mn} & E_m^{(0)} - \lambda V_{mm} \end{bmatrix} \begin{bmatrix} c_n^\beta \\ c_m^\beta \end{bmatrix} = \tilde{E}_\beta \begin{bmatrix} c_n^\beta \\ c_m^\beta \end{bmatrix}; \quad \beta = 1, 2$$

definiując nowe stany $|\tilde{\Phi}_n\rangle = c_n^1 |\Phi_n\rangle + c_m^1 |\Phi_m\rangle$

$|\tilde{\Phi}_m\rangle = c_n^2 |\Phi_n\rangle + c_m^2 |\Phi_m\rangle$

odpowiadające energiom: $\tilde{E}_1^{(0)}$; $\tilde{E}_2^{(0)}$ ~~definiowane~~ dl

Teraz można już stosować warunki i szereg perturbacyjny (ze zmodyfikowanym op. zaburzającym).

Przykład

9

$$\hat{H}_0 = \frac{\hat{p}^2}{2m} + \frac{1}{2} m \omega^2 \hat{x}^2$$

$$\hat{V} = \lambda \hat{x}^2$$

$$\hat{H} = \frac{\hat{p}^2}{2m} + \frac{1}{2} m \omega^2 \hat{x}^2 + \lambda \hat{x}^2 = \frac{\hat{p}^2}{2m} + \frac{1}{2} \hat{x}^2 (m \omega^2 + 2\lambda)$$

~~Stany własne~~

Energie własne \hat{H}_0 : $E_n^{(0)} = \hbar \omega (n + \frac{1}{2})$; $n = 0, 1, 2, \dots$

Energie własne \hat{H} : $E_n(\lambda) = \hbar \sqrt{\omega^2 + \frac{2\lambda}{m}} (n + \frac{1}{2})$

Znajdźmy przybliżenie $E_n(\lambda)$ stosując rachunek zaburzeń.

$$E_n(\lambda) = E_n^{(0)} + \lambda E_n^{(1)} + \lambda^2 E_n^{(2)}$$

$$E_n^{(1)} = V_{nn} = \langle \Phi_n | \hat{V} | \Phi_n \rangle = \langle \Phi_n | \hat{x}^2 | \Phi_n \rangle = \frac{\hbar}{m\omega} (n + \frac{1}{2})$$

$$E_n^{(2)} = \sum_{m \neq n} \frac{|\langle \Phi_n | \hat{V} | \Phi_m \rangle|^2}{E_n^{(0)} - E_m^{(0)}}$$

$$\langle \Phi_n | \hat{V} | \Phi_m \rangle = \langle \Phi_n | \hat{x}^2 | \Phi_m \rangle$$

Skorzystamy z własności op. kreacji i anihilacji dla osc. harmonicznego:

$$\hat{x} = \sqrt{\frac{\hbar}{2m\omega}} (\hat{a} + \hat{a}^\dagger), \text{ oraz } |\Phi_n\rangle = \frac{1}{\sqrt{n!}} (\hat{a}^\dagger)^n |\Phi_0\rangle$$

$$\hat{x}^2 = \frac{\hbar}{2m\omega} (\hat{a}^2 + (\hat{a}^\dagger)^2 + \hat{a}\hat{a}^\dagger + \hat{a}^\dagger\hat{a}) = \frac{\hbar}{2m\omega} (\hat{a}^2 + (\hat{a}^\dagger)^2 + 2\hat{a}^\dagger\hat{a} + 1)$$

$[\hat{a}, \hat{a}^\dagger] = 1$

Zatem

$$\langle \Phi_n | \hat{x}^2 | \Phi_m \rangle = \frac{\hbar}{2m\omega} (\langle \Phi_n | \hat{a}^2 | \Phi_m \rangle + \langle \Phi_n | (\hat{a}^\dagger)^2 | \Phi_m \rangle + \langle \Phi_n | \hat{a}\hat{a}^\dagger | \Phi_m \rangle + 2\langle \Phi_n | \hat{a}^\dagger\hat{a} | \Phi_m \rangle)$$

~~Rozwiązanie~~

$$\langle \hat{a}^2 | \Phi_m \rangle = \frac{1}{\sqrt{m!}} \hat{a}^2 (\hat{a}^\dagger)^m |\Phi_0\rangle$$

Rozważmy

(10)

$$\langle \Phi_n | \hat{a}^2 = \langle \Phi_0 | \frac{1}{n!} \hat{a}^{n+2} = \langle \Phi_0 | \frac{1}{(n+2)!} \hat{a}^{n+2} \sqrt{(n+1)(n+2)} =$$
$$= \sqrt{(n+1)(n+2)} \langle \Phi_{n+2} |$$

stąd

$$\langle \Phi_n | \hat{a}^2 | \Phi_m \rangle = \sqrt{(n+1)(n+2)} \delta_{m, n+2}$$

Podobnie

$$(\hat{a}^\dagger)^2 | \Phi_m \rangle = \frac{1}{m!} (\hat{a}^\dagger)^{m+2} | \Phi_0 \rangle = \frac{1}{(m+2)!} (\hat{a}^\dagger)^{m+2} | \Phi_0 \rangle \sqrt{(m+1)(m+2)} =$$
$$= \sqrt{(m+1)(m+2)} | \Phi_{m+2} \rangle$$

czyli

$$\langle \Phi_n | (\hat{a}^\dagger)^2 | \Phi_m \rangle = \sqrt{(m+1)(m+2)} \delta_{m+2, n} = \sqrt{(n-1)n} \delta_{n, m+2}$$

Analogicznie $\langle \Phi_n | \hat{a}^\dagger \hat{a} | \Phi_m \rangle = n \delta_{n, m}$ (patrz wk I)

Zatem

$$\langle \Phi_n | \hat{x}^2 | \Phi_m \rangle = \frac{\hbar}{2m\omega} \left(\sqrt{(n+1)(n+2)} \delta_{m, n+2} + \sqrt{n(n-1)} \delta_{n, m+2} + \delta_{n, m} + 2n \delta_{n, m} \right)$$

Czyli

$$E_n^{(2)} = \left(\frac{\hbar}{2m\omega} \right)^2 \frac{(n+1)(n+2)}{\hbar\omega(n+\frac{1}{2}) - \hbar\omega(n+\frac{5}{2})} + \frac{\hbar^2}{(2m\omega)^2} \frac{n(n-1)}{\hbar\omega(n+\frac{1}{2}) - \hbar\omega(n-\frac{3}{2})} =$$

$$= \frac{\hbar^2}{4(m\omega)^2 (\hbar\omega)} \left(\frac{(n+1)(n+2)}{(-2)} + \frac{n(n-1)}{2} \right) =$$

$$= \frac{\hbar}{4m^2\omega^3} \left(-\frac{1}{2}(n^2+3n+2) + \frac{1}{2}(n^2-n) \right) = \frac{\hbar}{4m^2\omega^3} (-2n-1)$$

$$\boxed{E_n^{(2)} = \frac{-\hbar}{4m^2\omega^3} (2n+1)}$$

Stąd

(11)

$$E_n(\lambda) \approx \hbar\omega\left(n + \frac{1}{2}\right) + \frac{\hbar\lambda}{m\omega}\left(n + \frac{1}{2}\right) - \frac{\hbar\lambda^2}{4m^2\omega^3}(2n+1) =$$
$$= \left(n + \frac{1}{2}\right) \left(\hbar\omega + \frac{\hbar\lambda}{m\omega} - \frac{\hbar\lambda^2}{2m^2\omega^3} \right)$$

Porównajmy z rozwinięciem dokładnej energii ukośt $\lambda=0$:

$$E_n(\lambda) = \hbar \sqrt{\omega^2 + \frac{2\lambda}{m}} \left(n + \frac{1}{2}\right) \approx$$

$$\approx \left(n + \frac{1}{2}\right) \left(\hbar\omega + \hbar \frac{1}{2 \sqrt{\omega^2 + \frac{2\lambda}{m}}} \frac{2}{m} \Big|_{\lambda=0} \cdot \lambda + \frac{1}{2} \hbar \frac{1}{m} \left(-\frac{1}{2}\right) \frac{1}{\left(\omega^2 + \frac{2\lambda}{m}\right)^{3/2}} \frac{2}{m} \Big|_{\lambda=0} \cdot \lambda^2 \right) =$$

$$= \left(n + \frac{1}{2}\right) \left(\hbar\omega + \frac{\hbar\lambda}{m\omega} - \frac{\hbar\lambda^2}{2m^2\omega^3} \right)$$

2° Rachunek zaburzeń w przypadku zależności zaburzenia od czasu

Niech \hat{H}_0 będzie Hamiltonianem o stanach własnych $|\Phi_n\rangle$ i energiach własnych $E_n^{(0)}$: $\hat{H}_0 |\Phi_n\rangle = E_n^{(0)} |\Phi_n\rangle$

Pełny Hamiltonian $\hat{H}(t) = \hat{H}_0 + \lambda \hat{V}(t)$ przy czym zakładamy że $\hat{V}(t)$ dla $t < 0$ było równe zero.

W przypadku zaburzenia zależnego od czasu nie istnieją stany stacjonarne. Zatem nie interesuje nas znalezienie przybliżenia dla stanów własnych i wartości własnych \hat{H} w pewnej chwili t , ale prawdopodobieństwo, że ~~cała~~ cząstka znajdujaca się początkowo w stanie $|\Phi_n\rangle$ (dla $t < 0$) znajdzie się w pewnej chwili $t > 0$ w stanie $|\Phi_m\rangle$.

W tym celu musimy skonstruować rachunek zaburzeń dla pełnego r-ua Schrödingera: $i\hbar \frac{\partial}{\partial t} |\Psi(t)\rangle = \hat{H}(t) |\Psi(t)\rangle$

Z war. początkowym: $|\Psi(0)\rangle = |\Phi_n\rangle$

Rozwiemy $|\psi(t)\rangle$ w bazie stanów własnych \hat{H}_0 : (12)

$$|\psi(t)\rangle = \sum_k a_k(t) e^{-iE_k^{(0)}t/\hbar} |\Phi_k\rangle; |\psi(0)\rangle = |\Phi_n\rangle \Rightarrow a_k(0) = \delta_{kn}$$

Podstawiając do r-nie Schrödingera otrzymujemy: warunek początkowy

$$\begin{aligned} i\hbar \sum_k \frac{da_k}{dt} e^{-iE_k^{(0)}t/\hbar} |\Phi_k\rangle + i\hbar \sum_k a_k(t) \left(-\frac{iE_k^{(0)}}{\hbar}\right) e^{-iE_k^{(0)}t/\hbar} |\Phi_k\rangle = \\ = \sum_k a_k(t) e^{-iE_k^{(0)}t/\hbar} \hat{H} |\Phi_k\rangle = \sum_k a_k(t) e^{-iE_k^{(0)}t/\hbar} E_k^{(0)} |\Phi_k\rangle + \\ + \sum_k a_k(t) e^{-iE_k^{(0)}t/\hbar} \lambda \hat{V}(t) |\Phi_k\rangle \end{aligned}$$

Działając na powyższe r-nie z lewej strony ~~przez~~ wektorem bra $\langle \Phi_m |$ otrzymujemy:

$$i\hbar \sum_k \frac{da_k}{dt} e^{-iE_k^{(0)}t/\hbar} \langle \Phi_m | \Phi_k \rangle = \sum_k a_k(t) e^{-iE_k^{(0)}t/\hbar} \lambda \langle \Phi_m | \hat{V}(t) | \Phi_k \rangle$$

Oznaczmy $\langle \Phi_m | \hat{V}(t) | \Phi_k \rangle = V_{mk}(t)$

Ponieważ $\langle \Phi_m | \Phi_k \rangle = \delta_{km}$ stąd

$$\frac{da_m}{dt} e^{-iE_m^{(0)}t/\hbar} = \frac{\lambda}{i\hbar} \sum_k a_k(t) e^{-iE_k^{(0)}t/\hbar} V_{mk}(t)$$

czyli

$$(*) \quad \frac{da_m}{dt} = \frac{\lambda}{i\hbar} \sum_k a_k(t) e^{i(E_m^{(0)} - E_k^{(0)})t/\hbar} V_{mk}(t)$$

Jest to ściśle r-nie (ultrad r-ń) na współrzędnej $a_m(t)$, pozwalające obliczyć a_m dla dowolnego t przy ustalonych warunkach początkowych (w naszym przypadku $a_m(0) = \delta_{mn}$). Jest to ~~rodzaj~~ układ r-ń różniczkowych rzędu pierwszego, ponieważ r-nie Schrödingera jest r-niem rzędu pierwszego względem czasu.

Szukamy rozwiązania w postaci szeregu:

$$a_m(t) = a_m^{(0)}(t) + \lambda a_m^{(1)}(t) + \lambda^2 a_m^{(2)}(t) + \dots$$

$$a_m(t) = \sum_{i=0}^{\infty} \lambda^i a_m^{(i)}(t)$$

Podstawiając do (*) i porównując wyrazy przy potęgach λ otrzymujemy kolejne rzędy rachunku zaburzeń.

$$\sum_{j=0}^{\infty} \lambda^j \frac{da_m^{(j)}}{dt} = \frac{1}{i\hbar} \sum_k \sum_{j=0}^{\infty} \lambda^{j+1} a_k^{(j)}(t) e^{i\omega_{mk}t} V_{mk}(t)$$

gdzie oznaczyliśmy $\omega_{mk} = \frac{E_m^{(0)} - E_k^{(0)}}{\hbar} \left[\frac{1}{s} \right]$

$$\lambda^0 : \frac{da_m^{(0)}}{dt} = 0 \rightarrow a_m^{(0)} = \text{const.}$$

~~$$\lambda^1 : \frac{da_m^{(1)}}{dt} = \frac{1}{i\hbar} \sum_k a_k^{(0)}(t) e^{i\omega_{mk}t} V_{mk}(t)$$~~

Zauważmy, że jest to r-nie, które byśmy otrzymali gdyby $V_{mk}(t) = 0$ czyli $\hat{H} = \hat{H}_0$.

Zatem $a_m^{(0)} = \delta_{mn}$ - z warunków początkowego

Pierwszy rząd rachunku zaburzeń:

$$\lambda^1 : \frac{da_m^{(1)}}{dt} = \frac{1}{i\hbar} \sum_k a_k^{(0)} e^{i\omega_{mk}t} V_{mk}(t)$$

Zatem $a_m^{(1)}(t) = \frac{1}{i\hbar} \int_0^t dt' e^{i\omega_{mk}t'} V_{mk}(t')$ dla $t \geq 0$

Zauważmy, że $a_m^{(1)}(t)$ jest proporcjonalny do transformaty Fouriera $V_{mk}(t)$ w przedziale czasu od włączenia zaburzenia do t .

Rozważmy więc jako szczególny przypadek zaburzenie harmoniczne.

$$\hat{H} = \hat{H}_0 + \lambda \hat{V} 2 \sin(\omega t)$$

$$\text{Wtedy } a_m^{(1)}(t) = \frac{1}{i\hbar} \int_0^t dt' e^{i\omega_{mk}t'} (e^{i\omega t'} - e^{-i\omega t'}) V_{mk}$$

$$a_m^{(1)}(t) = -\frac{1}{\hbar} \int_0^t dt' \left[e^{i(\omega_{mk} + \omega)t'} - e^{i(\omega_{mk} - \omega)t'} \right] V_{mk}$$

$$(*) a_m^{(1)}(t) = \frac{i}{\hbar} \left[\frac{e^{i(\omega_{mn} + \omega)t} - 1}{(\omega_{mn} + \omega)} - \frac{e^{i(\omega_{mn} - \omega)t} - 1}{(\omega_{mn} - \omega)} \right] V_{mn}$$

Zauważmy, że wyrażenie w nawiasie jest znacząco różne od zera gdy

$$\omega_{mn} \approx \pm \omega, \text{ tzn. } E_m^{(0)} - E_n^{(0)} \approx \pm \hbar \omega \quad (**)$$

Zatem prawdopodobieństwo, że układ po czasie t znajdzie się w stanie $|\Phi_m\rangle$

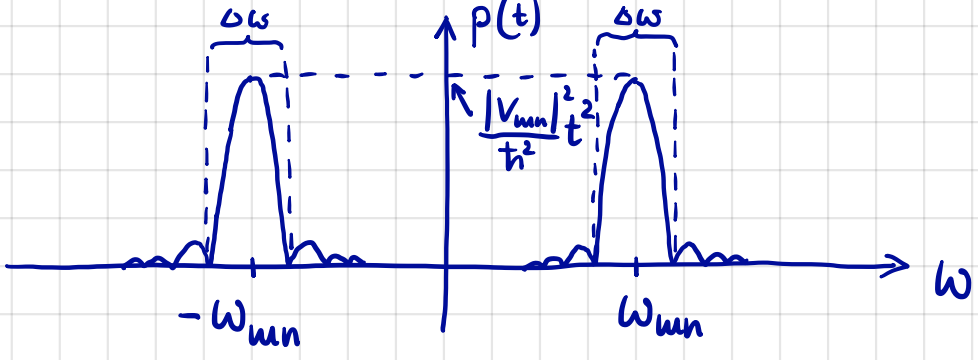
wynosi:

$$p(t) = \lambda^2 |a_m^{(1)}(t)|^2 = \lambda^2 \frac{|V_{mn}|^2}{\hbar^2} \left(\left| \frac{e^{i(\omega_{mn} + \omega)t} - 1}{\omega_{mn} + \omega} \right|^2 + \left| \frac{e^{i(\omega_{mn} - \omega)t} - 1}{\omega_{mn} - \omega} \right|^2 + \left(\text{człon interferencyjny} \right) \right)$$

$$\left| \frac{e^{i(\omega_{mn} \pm \omega)t} - 1}{\omega_{mn} \pm \omega} \right|^2 = \frac{1 + e^{i(\omega_{mn} \pm \omega)t} + e^{-i(\omega_{mn} \pm \omega)t} + 1}{(\omega_{mn} \pm \omega)^2} = \frac{2 + 2 \cos((\omega_{mn} \pm \omega)t)}{(\omega_{mn} \pm \omega)^2} = \frac{4 \sin^2 \left[\frac{(\omega_{mn} \pm \omega)t}{2} \right]}{(\omega_{mn} \pm \omega)^2}$$

$$p(t) = \frac{4|V_{mn}|^2}{\hbar^2} \left[\frac{\sin^2 \left[\frac{1}{2} (\omega_{mn} - \omega)t \right]}{(\omega_{mn} - \omega)^2} + \frac{\sin^2 \left[\frac{1}{2} (\omega_{mn} + \omega)t \right]}{(\omega_{mn} + \omega)^2} + \left(\text{człon interferencyjny} \right) \right]$$

gdzie λ zostało włączone do \hat{V} : $\lambda V_{mn} \rightarrow V_{mn}$

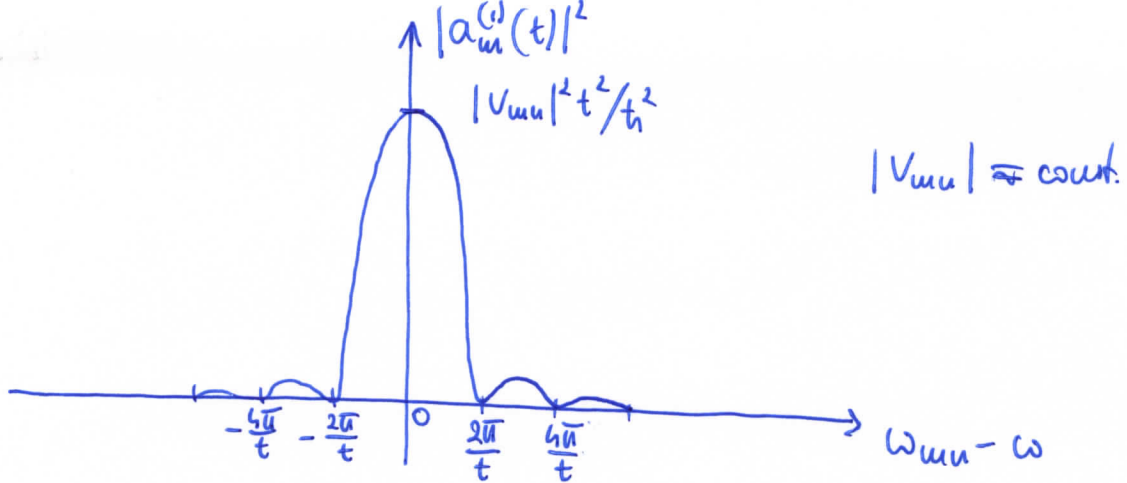


$$\hbar \omega_{mn} = E_m^{(0)} - E_n^{(0)}$$

$$p(t) \xrightarrow{\omega_{mn} = \pm \omega} \frac{|V_{mn}|^2}{\hbar^2} t^2$$

Zatem w pierwszym rzędzie rachunku zabudni układ poddany zabudzeniu harmonicznemu o czystości ω będzie z największym prawdopodobieństwem wzbudzał się do stanu o energii $E_m^{(0)} \approx E_n^{(0)} + \hbar \omega$ lub ulegał deekscytacji (emisja wymuszona) do stanu o energii $E_m^{(0)} \approx E_n^{(0)} - \hbar \omega$.

Człon interferencyjny staje się znikomy (w porównaniu z maksymalną wartością $p(t)$) dla czasu $t \gg \left| \frac{1}{\omega_{mn}} \right|$, bo $\Delta \omega = \frac{4\pi}{t}$ (patrz rysunek).



Uwagi

- Pod wpływem słabego zaburzenia harmonicznego o częstotliwości ω stan układu kwantowego, po odpowiednio długim czasie, z dużym prawdopodobieństwem będzie mieć energię $E_m^{(1)} \approx E_n^{(0)} \pm \hbar\omega$ gdzie $E_n^{(0)}$ było energią początkową układu.
- W przypadku układu kwantowego o widmie dyskretnym sposobem na spowodowanie przejścia układu ze stanu o energii E_1 do stanu o energii E_2 ($E_2 > E_1$ - wzbudzenie układu) jest poddanie układu zaburzeniu o częstotliwości: $\hbar\omega = E_2 - E_1$ - jest to warunek rezonansu.
- Stosowność rachunku zaburzeń:

$$|a_m^{(1)}(t)|^2 \ll 1$$
 Jest to praktycznie warunek na t . Dla stanów rezonansowych (czyli takich że $E_m^{(0)} = E_n^{(0)} \pm \hbar\omega$) warunek ten po krótkim czasie przestaje być spełniony (patrz rysunek).
- O prawdopodobieństwie przejścia decyduje również wielkość elementu maciernowego potencjału zaburzącego:

$$V_{\mu\nu}(t) = \langle \Phi_\mu | \hat{V}(t) | \Phi_\nu \rangle$$

Wzbudzenie układu do stanów o widmie ciągłym

(16)

Niech Hamiltonian będzie postaci: $\hat{H} = \hat{H}_0 + \hat{V} \cos(\omega t)$

$p(t) = \sum_m |a_m^{(1)}(t)|^2$ - prawdopodobieństwo wzbudzenia po czasie t .

W przypadku widma ciągłego należy zastąpić summowanie całkowaniem:

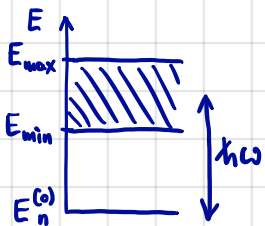
$p(t) = \int_a^b d\alpha |a_\alpha^{(1)}(t)|^2$ - gdzie parametr α numeruje stany widma ciągłego

Wygodnie jest zastąpić α przez energie E :

$$p(t) = \int_{E_{\min}}^{E_{\max}} dE \frac{d\alpha}{dE} |a_E^{(1)}(t)|^2$$

gdzie $g(E) = \frac{d\alpha}{dE}$ ma sens gęstości stanów, tzn. $g(E)dE$ określa ilość stanów przypadających na przedział: $(E, E+dE)$

Podstawiając wyrażenie: $|a_m^{(1)}(t)|^2 = \frac{|V_{mn}|^2}{\hbar^2} \frac{\sin^2[\frac{1}{2}(\omega_{mn} - \omega)t]}{(\omega_{mn} - \omega)^2}$



$$p(t) = \int_{E_{\min}}^{E_{\max}} dE g(E) \frac{|\langle \alpha(E) | \hat{V} | \Phi_n \rangle|^2}{\hbar^2 \left(\frac{E - E_n^{(0)}}{\hbar} - \omega\right)^2} \sin^2\left[\frac{1}{2}\left(\frac{E - E_n^{(0)}}{\hbar} - \omega\right)t\right]$$

Niech $x = \frac{1}{2}\left(\frac{E - E_n^{(0)}}{\hbar} - \omega\right)t$; $dx = \frac{1}{2} \frac{t}{\hbar} dE$

Wtedy:

$$p(t) = \int_{\frac{1}{2}\left(\frac{E_{\min} - E_n^{(0)}}{\hbar} - \omega\right)t}^{\frac{1}{2}\left(\frac{E_{\max} - E_n^{(0)}}{\hbar} - \omega\right)t} \frac{2\hbar}{t} dx g(x) \frac{|\langle \alpha(x) | \hat{V} | \Phi_n \rangle|^2}{\hbar^2 \frac{4x^2}{t^2}} \sin^2 x$$

Zauważmy, że dominujący wkład do całki pochodzi od otoczenia $x=0$ tzn. od energii bliskich $E = E_n^{(0)} + \hbar\omega$

Przy założeniu, że $g(x)$ oraz $|\langle \alpha(x) | \hat{V} | \Phi_n \rangle|^2$ są wolnozmiennymi funkcjami x

w otoczeniu $x=0$ otrzymujemy:

$$p(t) = 2 \frac{t}{\hbar} \int_{-\infty}^{+\infty} g(0) |\langle \alpha(0) | \hat{V} | \Phi_n \rangle|^2 \frac{\sin^2 x}{x^2}$$

← Rozciągnięcie przedziału całkowania jest uzasadnione, bo $\frac{\sin^2 x}{x^2}$ szybko zanika dla $x \neq 0$

Ponieważ: $\int_{-\infty}^{+\infty} \frac{\sin^2 x}{x^2} dx = \pi$ zatem:

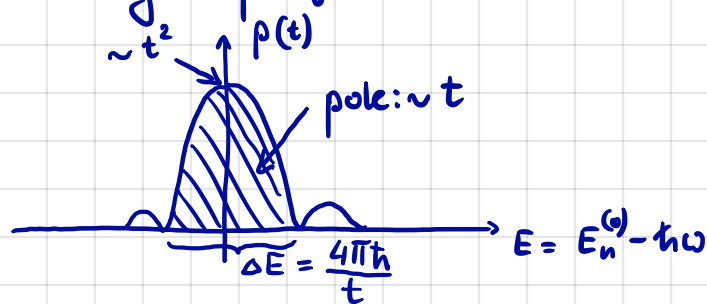
$$p(t) = 2\pi \frac{t}{\hbar} g(E_m^{(0)}) |\langle \alpha(E_m^{(0)}) | \hat{V} | \Phi_n \rangle|^2$$

Zatem prawdopodobieństwo przejścia na jednostkę czasu wynosi:

$$(*) \quad \Gamma = \frac{2\pi}{\hbar} g(E_m^{(0)}) |\langle \alpha(E_m^{(0)}) | \hat{V} | \Phi_n \rangle|^2; \text{ gdzie } E_m^{(0)} = E_n^{(0)} + \hbar\omega$$

Relacja (*) nazywa się 2-tą regułą Fermiego (Fermi golden rule).

1) Zauważmy, że w odróżnieniu od p-stwa wzbudzenia do stanu dyskretnego, które rośnie jak t^2 w 2-tą regułę Fermiego: $p(t) \sim t$. Różnica bierze się stąd, że 2-tą reguła Fermiego opisuje wzbudzenie do grupy stanów końcowych



2) 2-tą reguła Fermiego stosuje się do czasów odpowiednio długich, dla których przedział $\Delta E = \frac{4\pi\hbar}{t}$ jest na tyle mały, że wielkość $g(E) |\langle \alpha(E) | \hat{V} | \Phi_n \rangle|^2$ jest w tym przedziale z dobrym przybliżeniem stała.

3) Ponadto t musi być na tyle mały aby stosowny był rachunek zaburzeń tzn.: $\Gamma t \ll 1$

Sprężenie stanu dyskretnego do widma ciągłego (czas życia układu)

Rozważmy przypadek zaburzenia stałego w czasie, tzn.

$$\hat{H} = \hat{H}_0 + \hat{V}$$

przy czym \hat{H}_0 posiada stan własny: $\hat{H}_0 | \Phi_n \rangle = E_n | \Phi_n \rangle$

Ponadto \hat{H}_0 ma widmo ciągłe: $\hat{H}_0 | \alpha(E) \rangle = E | \alpha(E) \rangle$

Założymy że przedział energii E widma ciągłego zawiera u siebie E_n .

Spełnione są następujące warunki ortogonalności:

$$\begin{cases} \langle \Phi_n | \Phi_n \rangle = 1 \\ \langle \Phi_n | \alpha(E) \rangle = 0 \\ \langle \alpha | \alpha' \rangle = \delta(\alpha - \alpha'), \text{ oraz warunek zupełności: } |\Phi_n\rangle\langle\Phi_n| + \int d\alpha |\alpha\rangle\langle\alpha| = 1 \end{cases}$$

Założymy, że $\langle \Phi_n | \hat{V} | \Phi_n \rangle = \langle \alpha | \hat{V} | \alpha \rangle = 0$ (jeśli takie elementy macierowe byłyby niezerowe to można je włączyć do \hat{H}_0).

Ponadto $\langle \alpha | \hat{V} | \alpha' \rangle = 0$ - brak sprzężenia pomiędzy stanami należącymi do widma ciągłego.

Zatem jedynie: $\langle \alpha | \hat{V} | \Phi_n \rangle \neq 0$

Pytanie: jakie jest p-stwo, że układ bsdący u chwili początkowej $t=0$ u stanie $|\Phi_n\rangle$ znalazł się po czasie t u stanach widma ciągłego?

Stosując zloty reguły Fermiego dla przypadku $\omega=0$ (stałe zaburzenie) mamy:

$$p(t) = 1 - \Gamma t; \text{ gdzie } \Gamma = \frac{2\pi}{\hbar} g(E_n) |\langle \alpha(E_n) | \hat{V} | \Phi_n \rangle|^2; \text{ } g(E) = \frac{d\alpha}{dE}$$

przy czym tutaj E_n jest energią początkową, bo zaburzenie nie zależy od czasu.

Formuła (*) zakłada, że $t \ll \frac{1}{\Gamma}$, tzn. $p(t) \approx 1$

Rozważmy zachowanie $p(t)$ dla dużych t wychodząc poza pierwszy rząd rachunku zaburzeń:

$$\frac{da_m}{dt} = \frac{1}{i\hbar} \sum_k a_k(t) e^{i(E_m^{(0)} - E_k^{(0)})t/\hbar} V_{mk}(t)$$

Konstatając z tego, że \hat{V} nie zależy od czasu oraz $\langle \Phi_n | \hat{V} | \Phi_n \rangle = \langle \alpha | \hat{V} | \alpha \rangle = 0$

mamy:

$$\begin{cases} \frac{da_n}{dt} = \frac{1}{i\hbar} \int_{E_{min}}^{E_{max}} dE g(E) e^{-i(E-E_n)t/\hbar} \langle \Phi_n | \hat{V} | \alpha(E) \rangle a_\alpha(t) \\ \frac{da_\alpha}{dt} = \frac{1}{i\hbar} a_n(t) e^{i(E-E_n)t/\hbar} \langle \alpha(E) | \hat{V} | \Phi_n \rangle \end{cases}$$

zatem: $\frac{da_n}{dt} = -\frac{1}{\hbar^2} \int_0^t dt' \int_{E_{\min}}^{E_{\max}} dE g(E) e^{-i(E-E_n)t'/\hbar} V_{nd} a_n(t') e^{i(E-E_n)t'/\hbar} V_{dn}$ (19)

(***) $\frac{da_n}{dt} = -\frac{1}{\hbar^2} \int_0^t dt' \int_{E_{\min}}^{E_{\max}} dE g(E) e^{-i(E-E_n)(t-t')/\hbar} |\langle \Phi_n | \hat{V} | \alpha(E) \rangle|^2 a_n(t')$

Rozważmy całkę: $\int_{E_{\min}}^{E_{\max}} dE f(E) e^{-i(E-E_n)(t-t')/\hbar}$; $E_{\max} - E_{\min} \gg \hbar\Gamma$

gdzie $f(E) = g(E) |\langle \Phi_n | \hat{V} | \alpha(E) \rangle|^2$

Funkcja $f(E)$ jest wolnozmienna, co oznacza, że całka jest znacząco różna od zera dla $t \approx t'$.

Zatem we wzorze (***) dokonamy przybliżenia: $a_n(t') \approx a_n(t)$:

$$\frac{da_n}{dt} \approx -\frac{1}{\hbar^2} a_n(t) \int_{E_{\min}}^{E_{\max}} dE g(E) |\langle \Phi_n | \hat{V} | \alpha(E) \rangle|^2 \int_0^t e^{-i(E-E_n)(t-t')/\hbar} dt' =$$

Zauważmy, że całka $\int_0^t e^{-i(E-E_n)(t-t')/\hbar} dt'$ jest robiczina gdy $t \rightarrow \infty$ i $E = E_n$.

Dlatego rozważmy: $\lim_{\epsilon \rightarrow 0^+} \int_0^t e^{-i(E-E_n-i\epsilon)(t-t')/\hbar} dt' = \lim_{\epsilon \rightarrow 0^+} \frac{1 - e^{-i(E-E_n-i\epsilon)t/\hbar}}{i(E-E_n-i\epsilon)}$

Ponieważ interesują nas długie czasy, zatem możemy pójść $t \rightarrow \infty$, czyli:

$$\lim_{\substack{\epsilon \rightarrow 0^+ \\ t \rightarrow +\infty}} \int_0^t dt' e^{-i(E-E_n-i\epsilon)(t-t')/\hbar} = \lim_{\epsilon \rightarrow 0^+} \frac{-i\hbar}{E-E_n-i\epsilon}$$

$$\frac{da_n}{dt} \approx \frac{i}{\hbar} a_n(t) \int_{E_{\min}}^{E_{\max}} dE g(E) \frac{|\langle \Phi_n | \hat{V} | \alpha(E) \rangle|^2}{E-E_n-i0^+}$$

Skorzystamy z własności: $\int_a^b \frac{f(x)}{x-i0^+} dx = P \int_a^b \frac{f(x)}{x} dx + i\pi f(0)$

$$\frac{da_n}{dt} \approx \frac{i}{\hbar} a_n(t) \left[i\pi g(E_n) |\langle \Phi_n | \hat{V} | \alpha(E_n) \rangle|^2 + P \int_{E_{\min}}^{E_{\max}} dE g(E) \frac{|\langle \Phi_n | \hat{V} | \alpha(E) \rangle|^2}{E-E_n} \right]$$

$$\frac{da_n}{dt} \approx a_n(t) \left[-\frac{\Gamma}{2} - \frac{i}{\hbar} P \int_{E_{\min}}^{E_{\max}} dE g(E) \frac{|\langle \Phi_n | \hat{V} | \alpha(E) \rangle|^2}{E_n-E} \right] = a_n(t) \left(-\frac{\Gamma}{2} - \frac{i}{\hbar} \delta E_n \right)$$

δE_n

$$\frac{da_n}{dt} \approx -a_n(t) \left[\frac{\Gamma}{2} + \frac{i}{\hbar} \delta E_n \right]$$

$$(*) a_n(t) \approx e^{-\frac{\Gamma t}{2}} e^{-i\delta E_n t/\hbar}$$

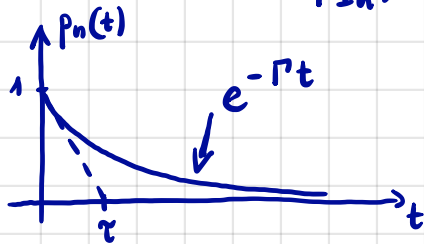
czyli: (**)

$$p_n(t) = |a_n(t)|^2 \approx e^{-\Gamma t}; \quad \Gamma = \frac{2\pi}{\hbar} g(E_n) |\langle \Phi_n | \hat{V} | \alpha(E_n) \rangle|^2$$

Powyższy wynik jest słuszny dla długich czasów: $t \gg \frac{1}{\Gamma}$

Wzór (*) określa prawo rozpadu układu kwantowego.

Czas życia układu w stanie $|\Phi_n\rangle$ określamy jako $\tau = \frac{1}{\Gamma}$



Zauważmy, że sprzężenie stanu ze stanami widma ciągłego powoduje dwa efekty:

1) Nieodwracalny rozpad układu kwantowego, tzn. przejście układu do widma ciągłego (człon $e^{-\Gamma t/2}$ we wzorze (*))

2) Modyfikacja energii E_n na skutek sprzężenia z widmem ciągłym:

$$\delta E_n = P \int_{E_{\min}}^{E_{\max}} dE g(E) \frac{|\langle \Phi_n | \hat{V} | \alpha(E) \rangle|^2}{E_n - E} \leftarrow \left\{ \begin{array}{l} \text{Porównaj z poprawką do} \\ \text{energii w drugim rzędzie} \\ \text{rachunku zaburzeń} \end{array} \right.$$

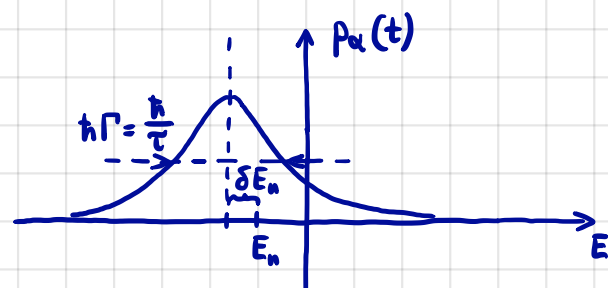
Rozkład energii stanów końcowych po długim czasie: $t \gg \frac{1}{\Gamma}$

$$\frac{da_\alpha}{dt} = \frac{1}{i\hbar} a_n(t) e^{i(E-E_n)t/\hbar} \langle \alpha(E) | \hat{V} | \Phi_n \rangle \approx \frac{1}{i\hbar} e^{-i(E_n + \delta E_n - E)t/\hbar} e^{-\frac{\Gamma}{2}t} V_{\alpha n}$$

$$a_\alpha(t) \approx \frac{1}{i} \frac{e^{-i(E_n + \delta E_n - E)t/\hbar} e^{-\frac{\Gamma}{2}t} - 1}{-i(E_n + \delta E_n - E) - \frac{\Gamma}{2}} V_{\alpha n} \xrightarrow{t \rightarrow +\infty} \frac{-\langle \alpha(E) | \hat{V} | \Phi_n \rangle}{E_n + \delta E_n - E - i\hbar \frac{\Gamma}{2}}$$

czyli

$$\lim_{t \rightarrow +\infty} p_\alpha(t) = \frac{|\langle \alpha(E) | \hat{V} | \Phi_n \rangle|^2}{(E_n + \delta E_n - E)^2 + \left(\frac{\hbar\Gamma}{2}\right)^2}$$



Ponieważ $|\langle \Phi_n | \hat{V} | \alpha(E) \rangle|^2$ jest praktycznie stałe w przedziale energii $\Delta E = \hbar\Gamma$ zatem

$$P_\alpha(t) \sim \frac{1}{(E_n + \delta E_n - E)^2 + (\frac{\hbar\Gamma}{2})^2}$$

i rozkład energii stanów końcowych podlega rozkładowi Lorentza o szerokości $\hbar\Gamma = \frac{\hbar}{\tau}$ odwrotnie proporcjonalnemu do czasu życia.

Wielkość $\hbar\Gamma$ nazywamy naturalną szerokością stanu $|\Phi_n\rangle$.

Powyższy opis stosuje się do szerokiej klasy zagadnień:

- rozpadów promieniotwórczych,
- emisji spontanicznej fotonów przez jądra atomowe, atomy, układy molekularne,
- rozpadów cząstek elementarnych,
- ...

Zauważmy, że opisany proces rozpadu uprzedza zasadę nieoznaczoności pomiędzy czasem życia a szerokością stanu, która odzwierciedla rozrzut energii końcowych.

Im krótszy czas życia układu kwantowego tym większy rozrzut energii stanu końcowych:

$$\Delta E \tau = \hbar ; \Delta E = \hbar\Gamma$$

Podobny efekt był widoczny w pierwszym rzędzie rachunku zaburzeń dla zaburzenia harmonicznego o częstości ω . Maksymalne p-stwo wzbudzenia zachodziło dla stanu o energii $E_n + \hbar\omega$, ale nieoznaczoność tej energii była rzędu $\Delta E = \frac{4\pi\hbar}{\tau}$ gdzie τ jest czasem trwania zaburzenia.

Tego typu relacje postaci: $\Delta E \cdot t \sim \hbar$ noszą nazwę relacji nieoznaczoności pomiędzy czasem i energią.

Należy jednak pamiętać, że mają one inny charakter niż zasada nieoznaczoności Heisenberga (nie ma operatora czasu w mechanice kwantowej).

Stany "czyste" i mieszane

Stan "czysty" w mechanice kwantowej jest to stan opisywany funkcją falową: $\psi(\vec{r}, t) = \langle \vec{r} | \psi(t) \rangle$; $|\psi(t)\rangle \in \mathcal{H}$, która spełnia r-nię: $i\hbar \frac{\partial}{\partial t} \psi(\vec{r}, t) = \hat{H} \psi(\vec{r}, t)$

Czasem jednak nie znamy f. falowej lub nawet f. falowa nie istnieje. ~~████~~ Tak się dzieje gdy np.:

- wnioskujemy o f. falowej na podstawie dokonanych pomiarów.
- interesujący nas układ jest częścią większego układu, z którym może wymieniać energię, ~~████~~ pęd, itd. (np. zespół kanoniczny w mechanice statystycznej).

W takim przypadku o układzie możemy powiedzieć jedynie, że np. w pewnej chwili czasu t_0 znajduje się z prawdopodobieństwem p_1 w stanie $|\Phi_1(t_0)\rangle$, z p -stwem p_2 w stanie $|\Phi_2(t_0)\rangle$, itd.

Taki stan układu nazywamy stanem mieszanym

Przyjmijmy, że $\langle \Phi_i(t_0) | \Phi_j(t_0) \rangle = \delta_{ij}$ (stany $|\Phi_i(t_0)\rangle$ tworzą bazę ortonormalną).

Zauważmy, że musi zachodzić: $\sum_i p_i = 1$; $p_i \geq 0$

Do opisu układu w stanie mieszanym użyjemy operatora gęstości: ~~████████~~ $\hat{\rho}(t) = \sum_i |\Phi_i(t)\rangle p_i \langle \Phi_i(t)| = \sum_i \hat{P}_i(t) p_i$

gdzie $\hat{P}_i(t) = |\Phi_i(t)\rangle \langle \Phi_i(t)|$ jest operatorem rzutowym na stan $|\Phi_i(t)\rangle$.

Zauważamy, że $\hat{\rho}(t)^\dagger = \hat{\rho}(t)$ oraz

$$[\hat{\rho}(t)]^2 = \sum_{i,j} |\Phi_i(t)\rangle p_i \langle \Phi_i(t) | \Phi_j(t)\rangle p_j \langle \Phi_j(t) | = \left\{ \langle \Phi_i(t) | \Phi_j(t)\rangle = \delta_{ij} \right\}$$

$$= \sum_i |\Phi_i(t)\rangle p_i^2 \langle \Phi_i(t) |$$

Zatem $[\hat{\rho}(t)]^2 = \hat{\rho}(t)$ tylko wtedy gdy $p_i^2 = 0, 1$;

czyli np. $p_i = \delta_{i,j}$ (bo $\sum_i p_i = 1$)

Taki przypadek odpowiada stanowi "czystemu", ponieważ oznacza, że układ znajduje się z pewnym 1 w stanie $|\Phi_j(t)\rangle$, czyli jego f. falowa wynosi $\Phi_j(\vec{r}, t) = \langle \vec{r} | \Phi_j(t)\rangle$.

Zatem operator gęstości $\hat{\rho}(t)$ opisuje zarówno stany "czyste" ($[\hat{\rho}(t)]^2 = \hat{\rho}(t)$) i stany mieszane ($[\hat{\rho}(t)]^2 \neq \hat{\rho}(t)$).

Przy pomocy $\hat{\rho}(t)$ możemy obliczyć wartość średnią dowolnego op. \hat{A} w stanie mieszanym:

$$\bar{A}(t) \stackrel{\text{def}}{=} \sum_i p_i \langle \Phi_i(t) | \hat{A} | \Phi_i(t)\rangle = \sum_i \langle \Phi_i(t) | \hat{A} \hat{\rho}(t) | \Phi_i(t)\rangle =$$

$$\stackrel{\text{ozn.}}{=} \text{Tr} \{ \hat{A} \hat{\rho}(t) \}$$

Zauważamy, że wartość $\bar{A}(t)$ nie zależy od wyboru bazy ortogonalnej, po której wykonujemy sumowanie.

Dowód

Rozważmy dowolną bazę ortogonalną $|\psi_k\rangle$; ~~$\langle \psi_k | \psi_l \rangle = \delta_{kl}$~~ $\langle \psi_k | \psi_l \rangle = \delta_{kl}$

$$\text{Tr} \{ \hat{A} \hat{\rho} \} = \sum_k \langle \psi_k | \hat{A} \hat{\rho} | \psi_k \rangle = \sum_{k,l} \langle \psi_k | \hat{A} | \psi_l \rangle \langle \psi_l | \hat{\rho} | \psi_k \rangle =$$

$\sum_l |\psi_l\rangle \langle \psi_l| = \hat{1}$ - lat. zupełności bazy.

$$= \sum_{k,l,i} p_i \langle \Phi_i(t) | \psi_k \rangle \langle \psi_k | \hat{A} | \psi_l \rangle \langle \psi_l | \Phi_i(t) \rangle = \sum_i p_i \langle \Phi_i(t) | \hat{A} | \Phi_i(t) \rangle =$$

$$= \bar{A}(t)$$

Zatem $\bar{A}(t) = \text{Tr} \{ \hat{A} \hat{\rho}(t) \}$

Zauważmy, że w przypadku stanu "czystego": $|\Phi_j(t)\rangle$

$$\bar{A}(t) = \text{Tr} \{ \hat{A} \hat{\rho}(t) \} = \sum_i \delta_{ij} \langle \Phi_j(t) | \hat{A} | \Phi_j(t) \rangle = \langle \hat{A} \rangle_{\Phi_j}$$

Zatem dla stanu "czystego": $\bar{A}(t) = \langle \hat{A} \rangle$

Ewolucja czasowa $\bar{A}(t)$:

$$\begin{aligned} \frac{d\bar{A}}{dt} &= \frac{d}{dt} \text{Tr} \{ \hat{A} \hat{\rho}(t) \} = \frac{d}{dt} \sum_k \langle \psi_k | \hat{A} \hat{\rho}(t) | \psi_k \rangle = \\ &= \sum_k \langle \psi_k | \hat{A} \frac{d\hat{\rho}}{dt} | \psi_k \rangle = \text{Tr} \left\{ \hat{A} \frac{d\hat{\rho}}{dt} \right\} \end{aligned}$$

ale

$$\begin{aligned} \frac{d\hat{\rho}}{dt} &= \sum_i p_i \frac{d}{dt} | \Phi_i(t) \rangle \langle \Phi_i(t) | = \sum_i p_i \left(\frac{d}{dt} | \Phi_i(t) \rangle \right) \langle \Phi_i(t) | + \\ &+ \sum_i p_i | \Phi_i(t) \rangle \frac{d}{dt} \left(\langle \Phi_i(t) | \right) = \left\{ \begin{aligned} \frac{d}{dt} | \Phi_i(t) \rangle &= \frac{1}{i\hbar} \hat{H} | \Phi_i(t) \rangle \\ \frac{d}{dt} \langle \Phi_i(t) | &= -\frac{1}{i\hbar} \langle \Phi_i(t) | \hat{H}^\dagger, \hat{H}^\dagger = \hat{H} \end{aligned} \right\} \\ &= \sum_i \frac{p_i}{i\hbar} \hat{H} | \Phi_i(t) \rangle \langle \Phi_i(t) | - \sum_i \frac{p_i}{i\hbar} | \Phi_i(t) \rangle \langle \Phi_i(t) | \hat{H} = \\ &= \frac{1}{i\hbar} [\hat{H}, \hat{\rho}(t)] \end{aligned}$$

czyli
$$\begin{aligned} \frac{d\bar{A}}{dt} &= \frac{1}{i\hbar} \text{Tr} \{ \hat{A} [\hat{H}, \hat{\rho}(t)] \} = \frac{1}{i\hbar} \text{Tr} \{ \hat{A} (\hat{H} \hat{\rho}(t) - \hat{\rho}(t) \hat{H}) \} = \\ &= \frac{1}{i\hbar} \text{Tr} \{ \hat{A} \hat{H} \hat{\rho}(t) - \hat{H} \hat{A} \hat{\rho}(t) \} = \frac{1}{i\hbar} \text{Tr} \{ [\hat{A}, \hat{H}] \hat{\rho}(t) \} \end{aligned}$$

gdzie skonstatujemy z własności: $\text{Tr} \{ \hat{A} \hat{B} \} = \text{Tr} \{ \hat{B} \hat{A} \}$ zachodzącej dla dowolnych op. \hat{A} i \hat{B} (sprawdź).

Podsumowując:
$$i\hbar \frac{d\bar{A}}{dt} = \text{Tr} \{ [\hat{A}, \hat{H}] \hat{\rho}(t) \} \quad ; \quad i\hbar \frac{d\hat{\rho}}{dt} = [\hat{H}, \hat{\rho}(t)]$$

Dygresja: w mechanice klasycznej analogiem $\hat{\rho}$ jest funkcja $\rho(\vec{q}, \vec{p}, t)$, która określa gęstość p-stera w chwili czasu t złączenia układu klasycznego o współrzędnych: $\vec{q}(t)$ i $\vec{p}(t)$.

Tw. Liouville'a:
$$\frac{\partial \rho}{\partial t} = \{ H, \rho \}$$

Wstępną do kwantowej teorii rozpraszania

Cząstka swobodna i problem unormowania:

$$\text{Niech } \hat{H}_0 = \frac{\hat{p}^2}{2m}$$

Stany własne: $|\varphi_{\vec{p}}\rangle$ są stanami własnymi op. pędu:

$$\hat{p} |\varphi_{\vec{p}}\rangle = \vec{p} |\varphi_{\vec{p}}\rangle \quad ; \quad \vec{p} = (p_x, p_y, p_z)$$

W reprezentacji położeniowej:

$$\varphi_{\vec{p}}(\vec{r}) = \langle \vec{r} | \varphi_{\vec{p}} \rangle = N e^{i \frac{\vec{p} \cdot \vec{r}}{\hbar}} = N e^{i \vec{k} \cdot \vec{r}} \quad ; \quad \vec{p} = \hbar \vec{k}$$

Stany $|\varphi_{\vec{p}}\rangle$ tworzą bazę stanów ortogonalnych, nieunormowanych: \vec{k} - wektor faliowy

$$\begin{aligned} \langle \varphi_{\vec{p}'} | \varphi_{\vec{p}} \rangle &= \int d^3r \langle \varphi_{\vec{p}'} | \vec{r} \rangle \langle \vec{r} | \varphi_{\vec{p}} \rangle = |N|^2 \int d^3r e^{i(\vec{p}' - \vec{p}) \cdot \vec{r} / \hbar} = \\ &= |N|^2 \int d^3r e^{i(\vec{k}' - \vec{k}) \cdot \vec{r}} = |N|^2 (2\pi)^3 \delta(\vec{k} - \vec{k}') \end{aligned}$$

Widać, że dla dowolnego $N \neq 0$: $\langle \varphi_{\vec{p}} | \varphi_{\vec{p}} \rangle = \infty$

Zatem stany $|\varphi_{\vec{p}}\rangle$ są nieunormowane. Stąd N można wybrać dowolnie ($N \neq 0$). Zwykle zgodamy aby:

$$\langle \varphi_{\vec{p}} | \varphi_{\vec{p}'} \rangle = \delta(\vec{k} - \vec{k}') \Rightarrow N = \frac{1}{(2\pi)^{3/2}}$$

$$\text{Zatem } \boxed{\varphi_{\vec{p}}(\vec{r}) = \frac{1}{(2\pi)^{3/2}} e^{i \vec{k} \cdot \vec{r}}} \quad ; \quad \vec{p} = \hbar \vec{k}$$

~~Stany faliowe jest stanami stacjonarnymi~~

$$\hat{H}_0 \varphi_{\vec{p}}(\vec{r}) = \frac{p^2}{2m} \varphi_{\vec{p}}(\vec{r})$$

Równanie ruchu r-nej Schrödingera przy warunku początkowym: $\varphi_{\vec{p}}(\vec{r}, 0) = \varphi_{\vec{p}}(\vec{r})$ daje: $i\hbar \frac{\partial}{\partial t} \varphi_{\vec{p}}(\vec{r}, t) = \hat{H}_0 \varphi_{\vec{p}}(\vec{r}, t)$

$$\varphi_{\vec{p}}(\vec{r}, t) = e^{-\frac{i}{\hbar} E_{\vec{p}} t} \varphi_{\vec{p}}(\vec{r}, 0) = e^{-\frac{i}{\hbar} E_{\vec{p}} t} \frac{1}{(2\pi)^{3/2}} e^{i \vec{k} \cdot \vec{r}}$$

$$\text{gdzie } E_{\vec{p}} = \frac{p^2}{2m} = \frac{\hbar^2 k^2}{2m}$$

Stan stacjonarny opisany funkcją falową:

$$(*) \psi_{\vec{p}}(\vec{r}, t) = \frac{1}{(2\pi\hbar)^{3/2}} e^{i\vec{k}\cdot\vec{r} - \frac{i}{\hbar} E_p t} = e^{-\frac{i}{\hbar} E_p t} \langle \vec{r} | \psi_{\vec{p}} \rangle$$

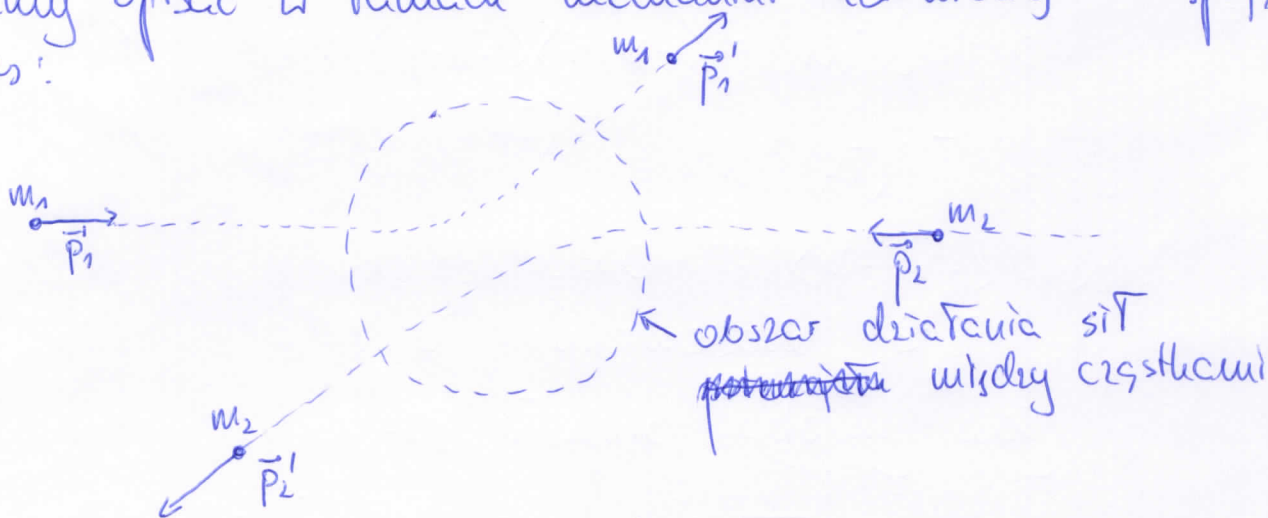
odpowiada cząstce o pędzie $\vec{p} = \hbar\vec{k}$ i energii $E_p = \frac{\hbar^2 k^2}{2m}$

Stany takie są wygodne do stosowania, choć są nieumowione, ponieważ są stanami własnymi \hat{H}_0 .

Umówienia można dokonać wzajemnie kombinacje liniowe stanów $(*)$ (czyli paczek falowe). Jednak wtedy otrzymane stany nie będą stanami własnymi \hat{H}_0 .

Rozpraszanie jako rozgadnienie dwóch ciał:

Chcemy opisać w ramach mechaniki kwantowej następujący proces:



$$\text{Zatem } i\hbar \frac{\partial}{\partial t} \psi(\vec{r}_1, \vec{r}_2, t) = \hat{H} \psi(\vec{r}_1, \vec{r}_2, t)$$

gdzie $\psi(\vec{r}_1, \vec{r}_2, t)$ jest funkcją falową dwóch cząstek.

przy czym spełnione są następujące warunki:

$$(*) \begin{cases} \lim_{t \rightarrow -\infty} \psi(\vec{r}_1, \vec{r}_2, t) = \psi_{\vec{p}_1}(\vec{r}_1, t) \psi_{\vec{p}_2}(\vec{r}_2, t) \\ \lim_{t \rightarrow +\infty} \psi(\vec{r}_1, \vec{r}_2, t) = \sum_{\vec{p}_1', \vec{p}_2'} \psi_{\vec{p}_1'}(\vec{r}_1, t) \psi_{\vec{p}_2'}(\vec{r}_2, t) c_{\vec{p}_1', \vec{p}_2'} \quad \text{z } \vec{p}_1' + \vec{p}_2' = \vec{p}_1 + \vec{p}_2 \end{cases}$$

Ponieważ w procesie rozpraszania energia całkowita układu jest zachowana zatem wystarczy wziąć rozgadnienie

$$\text{interakcje od czasu: } \hat{H} \psi(\vec{r}_1, \vec{r}_2) = E \psi(\vec{r}_1, \vec{r}_2)$$

gdzie $E = E_{\vec{p}_1} + E_{\vec{p}_2} = E_{\vec{p}_1'} + E_{\vec{p}_2'}$

Rozważamy \hat{H} postaci: $H = -\frac{\hbar^2}{2m_1} \nabla_1^2 - \frac{\hbar^2}{2m_2} \nabla_2^2 + V(\vec{r}_1 - \vec{r}_2)$

gdzie $\nabla_1^2 = \left(\frac{\partial^2}{\partial x_1^2} + \frac{\partial^2}{\partial y_1^2} + \frac{\partial^2}{\partial z_1^2}\right)$; $\nabla_2^2 = \frac{\partial^2}{\partial x_2^2} + \frac{\partial^2}{\partial y_2^2} + \frac{\partial^2}{\partial z_2^2}$

Zakładamy ponadto że $V(\vec{r}_1 - \vec{r}_2) \rightarrow 0$ dla $|\vec{r}_1 - \vec{r}_2|$ odpowiednio dużych.

R-nie $\left[-\frac{\hbar^2}{2m_1} \nabla_1^2 - \frac{\hbar^2}{2m_2} \nabla_2^2 + V(\vec{r}_1 - \vec{r}_2)\right] \psi(\vec{r}_1, \vec{r}_2) = E \psi(\vec{r}_1, \vec{r}_2)$

można wyseparować na 2 r-nie: jedno opisujące ruch swobodna masy (swobodny) i drugie opisujące ruch względny (patrz atom wodoru) postaci:

(**) $\left[-\frac{\hbar^2}{2\mu} \nabla^2 + V(\vec{r})\right] \psi(\vec{r}) = \varepsilon \psi(\vec{r})$

gdzie $\psi(\vec{r}_1, \vec{r}_2) = e^{i\frac{\vec{p}}{\hbar} \cdot \vec{R}} \psi(\vec{r})$; oraz $E = \frac{P^2}{2M} + \varepsilon$

$\vec{P} = \vec{p}_1 + \vec{p}_2$
 $\vec{R} = \frac{1}{M}(m_1 \vec{r}_1 + m_2 \vec{r}_2)$
 $M = m_1 + m_2$
 $\vec{r} = \vec{r}_1 - \vec{r}_2$
 $\mu = \frac{m_1 m_2}{m_1 + m_2}$

Ponieważ ruch swobodna masy nie może zadanych warunków do procesu wyprzeczania zatem cała informacja o procesie wyprzeczania jest zawarta w r-ulu (**).

Warunki brzegowe (*) sprowadzają się teraz do:

~~$\lim_{r \rightarrow \infty} \psi(\vec{r}) = f \frac{1}{(2\pi)^{3/2}} e^{i\vec{k} \cdot \vec{r}}$ fala padająca~~

~~(**)~~ żądania aby dla dużych r (tzn takich, dla których $V(r) = 0$) $\psi(\vec{r})$ było rozwiązaniem r-ula

$-\frac{\hbar^2}{2\mu} \nabla^2 \psi(\vec{r}) = \varepsilon \psi(\vec{r})$; $\varepsilon = \frac{\hbar^2 k^2}{2\mu}$; $\vec{p} = \hbar \vec{k}$; $\vec{p} = \vec{p}_1 - \vec{p}_2$

Spodziewamy się znaleźć rozwiązanie postaci:

(a) $\psi_{\varepsilon}(\vec{r}) = \frac{1}{(2\pi)^{3/2}} e^{i\vec{k} \cdot \vec{r}} + \psi_{\varepsilon}^{(+)}(\vec{r})$
↑ fala padająca ↓ fala wyprzeczona

R-nie (***) możemy zapisać w postaci:

$$\left[-\nabla^2 + \frac{2\mu}{\hbar^2} V(\vec{r})\right] \psi_E(\vec{r}) = \frac{2\mu}{\hbar^2} \frac{\hbar^2 k^2}{2\mu} \psi_E(\vec{r})$$

$$(***) (\nabla^2 + k^2) \psi_E(\vec{r}) = \frac{2\mu}{\hbar^2} V(\vec{r}) \psi_E(\vec{r})$$

Ogólne rozwiązanie r-nia (***) zgodne z warunkiem (a) ma postać: $\psi_E(\vec{r}) = \frac{1}{(2\pi)^{3/2}} e^{i\vec{k}\cdot\vec{r}} + \frac{2\mu}{\hbar^2} \int d^3r' G_0(\vec{r}, \vec{r}') V(\vec{r}') \psi_E(\vec{r}')$

~~Sprawdzenie~~ gdzie $G_0(\vec{r}, \vec{r}')$ jest rozwiązaniem równania:

$$(\nabla^2 + k^2) G_0(\vec{r}, \vec{r}') = \delta(\vec{r} - \vec{r}')$$

Sprawdzenie:

$$\begin{aligned} (\nabla^2 + k^2) \psi_E(\vec{r}) &= (\nabla^2 + k^2) \frac{1}{(2\pi)^{3/2}} e^{i\vec{k}\cdot\vec{r}} + \frac{2\mu}{\hbar^2} \int d^3r' (\nabla^2 + k^2) G_0(\vec{r}, \vec{r}') V(\vec{r}') \psi_E(\vec{r}') = \\ &= 0 + \frac{2\mu}{\hbar^2} \int d^3r' \delta(\vec{r} - \vec{r}') V(\vec{r}') \psi_E(\vec{r}') = \frac{2\mu}{\hbar^2} V(\vec{r}) \psi_E(\vec{r}) \end{aligned}$$

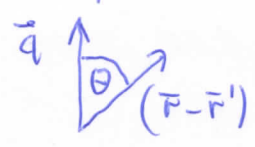
Funkcja $G_0(\vec{r}, \vec{r}')$ nazywamy funkcją Greena.

Zauważmy, że $G_0(\vec{r}, \vec{r}') = \frac{1}{(2\pi)^3} \int d^3q \frac{e^{i\vec{q}\cdot(\vec{r}-\vec{r}')}}{k^2 - q^2}$, bo

$$\begin{aligned} (\nabla^2 + k^2) G_0(\vec{r}, \vec{r}') &= \frac{1}{(2\pi)^3} \int d^3q \frac{1}{k^2 - q^2} (\nabla^2 + k^2) e^{i\vec{q}\cdot(\vec{r}-\vec{r}')} = \\ &= \frac{1}{(2\pi)^3} \int d^3q \frac{1}{k^2 - q^2} (-q^2 + k^2) e^{i\vec{q}\cdot(\vec{r}-\vec{r}')} = \\ &= \frac{1}{(2\pi)^3} \int d^3q e^{i\vec{q}\cdot(\vec{r}-\vec{r}')} = \delta(\vec{r} - \vec{r}') \end{aligned}$$

Czyli

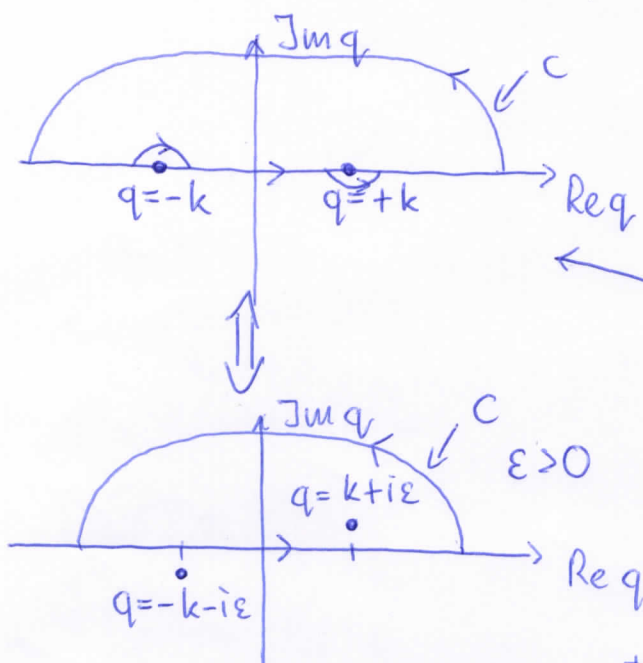
$$G_0(\vec{r} - \vec{r}') = \frac{1}{(2\pi)^3} \int d^3q \frac{e^{i\vec{q}\cdot(\vec{r}-\vec{r}')}}{k^2 - q^2} = \frac{1}{(2\pi)^3} \int_0^\infty \int_0^{2\pi} \int_0^\pi q^2 dq d(\cos\theta) d\varphi \frac{e^{iq|\vec{r}-\vec{r}'|\cos\theta}}{k^2 - q^2}$$



$$G_0(\vec{r}-\vec{r}') = \frac{1}{(2\pi)^2} \int_0^\infty q^2 dq \frac{1}{k^2 - q^2} \frac{1}{iq|\vec{r}-\vec{r}'|} \left(e^{iq|\vec{r}-\vec{r}'|} - e^{-iq|\vec{r}-\vec{r}'|} \right) = \quad (2+)$$

$$= \frac{1}{(2\pi)^2} \int_0^\infty \frac{q^2 dq e^{iq|\vec{r}-\vec{r}'|}}{(k^2 - q^2)iq|\vec{r}-\vec{r}'|} - \frac{1}{(2\pi)^2} \int_0^\infty \frac{q^2 dq e^{-iq|\vec{r}-\vec{r}'|}}{(k^2 - q^2)iq|\vec{r}-\vec{r}'|} =$$

$$= \frac{1}{(2\pi)^2 i |\vec{r}-\vec{r}'|} \int_{-\infty}^{+\infty} \frac{e^{iq|\vec{r}-\vec{r}'|}}{k^2 - q^2} q dq \quad q \rightarrow -q$$



← Ta całka jest nieokreślona dopóki nie zdefiniujemy sposobu obejścia biegunów.

← Tak wybieramy! Jak się okaże taki wybór jest zgodny z warunkiem (a).

$$G_0^{(+)}(\vec{r}-\vec{r}') = \lim_{\varepsilon \rightarrow 0^+} \frac{1}{(2\pi)^2 i |\vec{r}-\vec{r}'|} \int_{-\infty}^{+\infty} q \frac{e^{iq|\vec{r}-\vec{r}'|}}{(k+i\varepsilon)^2 - q^2} dq = \left\{ \begin{array}{l} \text{Lemat} \\ \text{Jordana} \end{array} \right\} =$$

$$= \lim_{\varepsilon \rightarrow 0^+} \frac{1}{(2\pi)^2 i |\vec{r}-\vec{r}'|} \int_C q \frac{e^{iq|\vec{r}-\vec{r}'|}}{(k+i\varepsilon)^2 - q^2} dq = \left\{ \begin{array}{l} \text{Przez residua} \\ \text{Biegun: } q = k+i\varepsilon \end{array} \right\} =$$

$$= \lim_{\varepsilon \rightarrow 0^+} \frac{1}{(2\pi)^2 i |\vec{r}-\vec{r}'|} 2\pi i \frac{e^{i(k+i\varepsilon)|\vec{r}-\vec{r}'|}}{(-k-i\varepsilon) \cdot 2} (k+i\varepsilon)$$

Czyli

$$G_0^{(+)}(\vec{r}-\vec{r}') = - \frac{e^{ik|\vec{r}-\vec{r}'|}}{4\pi |\vec{r}-\vec{r}'|}$$

Stąd

$$(*) \left| \varphi_\varepsilon(\vec{r}) = \frac{1}{(2\pi)^{3/2}} e^{ik\vec{r}} - \frac{2\mu}{\hbar^2} \int d^3r' \frac{e^{ik|\vec{r}-\vec{r}'|}}{4\pi |\vec{r}-\vec{r}'|} V(\vec{r}') \varphi_\varepsilon(\vec{r}') \right|$$

R-nie (*) jest "rozwiązaniem" r-nia Schrödingera dla ruchu względego cząstek ze zregulowanymi warunkami brzoowymi.

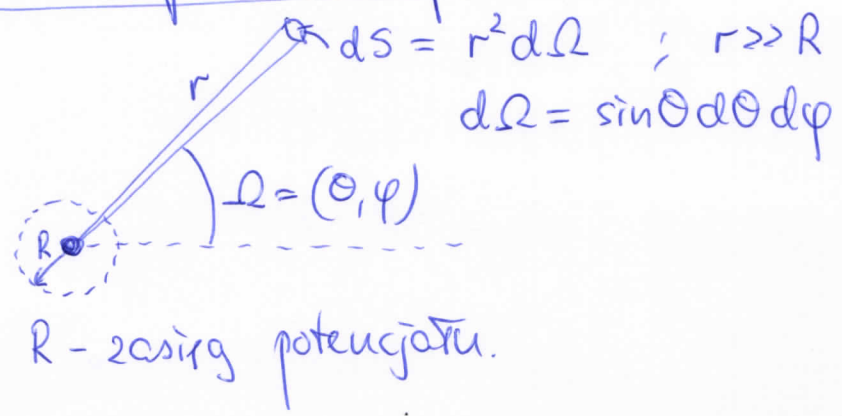
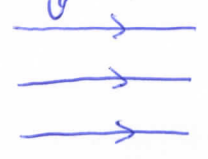
Zauważmy bowiem, że $G_0^{(+)}(\vec{r}-\vec{r}') \xrightarrow{|\vec{r}|\rightarrow\infty} -\frac{e^{ikr}}{4\pi r}$ opisuje

wzchodzącą się falę kulistą.

Drugi człon r^{-1} (*) przedstawia zatem superpozycję fal kulistych generowanych z każdego punktu \vec{r}' , dla którego $V(\vec{r}') \neq 0$ (por. zasada Huyghensa).

Przebieg czynnicy i amplituda wzpraszania

strumień cząstek
podejrzających



klasycznie:

~~dS~~ = $\frac{\text{liczba cząstek docierających do } dS \text{ w jednostce czasu}}{\text{liczba cząstek podejrzających na jedn. powierzchni w jedn. czasie}}$

Kwantowo:

~~dS~~ = $\frac{\text{wartość gęstości prądu p-stra} \checkmark \text{ przechodząca przez pow. } dS}{\text{wart. gęstości prawdopodobieństwa fali podejrzającej}}$

$\vec{j}(\vec{r}, t) = \frac{\hbar}{2\mu i} [\psi^*(\vec{r}, t) \vec{\nabla} \psi(\vec{r}, t) - \psi(\vec{r}, t) \vec{\nabla} \psi^*(\vec{r}, t)]$ ~~...~~

Ponieważ w naszym przypadku $\psi(\vec{r}, t) = e^{-\frac{i}{\hbar} \epsilon t} \psi_\epsilon(\vec{r})$ zatem $\vec{j} = \vec{j}(\vec{r})$

Wartość gęstości ^{prądu} prawdopodobieństwa fali podejrzającej:

$|\vec{j}| = \left| \frac{\hbar}{2\mu i} \frac{1}{(2\pi)^3} (e^{-i\vec{k}\cdot\vec{r}} \vec{\nabla} e^{i\vec{k}\cdot\vec{r}} - e^{i\vec{k}\cdot\vec{r}} \vec{\nabla} e^{-i\vec{k}\cdot\vec{r}}) \right| =$
 $= \left| \frac{\hbar}{2\mu i} \frac{1}{(2\pi)^3} (i\vec{k} - (-i\vec{k})) \right| = \frac{1}{(2\pi)^3} \frac{\hbar}{\mu} k$

wartosci gestosci ^{pradu} \vec{j} strumienia fali wyproszonej przechodząca przez powierzchnie dS :

$$|\vec{j}_{sc} \cdot d\vec{S}| = \left| \frac{\hbar}{2\mu i} \left(\psi_{\epsilon}^{(+)*}(\vec{r}) \vec{\nabla} \psi_{\epsilon}^{(+)}(\vec{r}) - \psi_{\epsilon}^{(+)}(\vec{r}) \vec{\nabla} \psi_{\epsilon}^{(+)*}(\vec{r}) \right) \cdot d\vec{S} \right|$$

przy czym $|\vec{r}| \gg R$ - zasieg oddziaływania

$$d\vec{S} = \vec{n} r^2 d\Omega, \quad \vec{n} = \frac{\vec{r}}{r}$$

Zatem

$$|\vec{j}_{sc} \cdot d\vec{S}| = \left| \frac{\hbar}{2\mu i} \left(\psi_{\epsilon}^{(+)*}(\vec{r}) \frac{\partial}{\partial r} \psi_{\epsilon}^{(+)}(\vec{r}) - \psi_{\epsilon}^{(+)}(\vec{r}) \frac{\partial}{\partial r} \psi_{\epsilon}^{(+)*}(\vec{r}) \right) \right| r^2 d\Omega$$

Rozważmy $\psi_{\epsilon}(\vec{r})$ dla dwóch $|\vec{r}|$ (tzn. dwóch ulegających nie zasieg oddziaływania wyznaczony potencjałem $V(\vec{r}) \neq 0$).

$$\psi_{\epsilon}^{(+)}(\vec{r}) = - \frac{2\mu}{\hbar^2} \int d^3r' \frac{e^{ik|\vec{r}-\vec{r}'|}}{4\pi|\vec{r}-\vec{r}'|} V(\vec{r}') \psi_{\epsilon}(\vec{r}') =$$

$$\frac{e^{ik|\vec{r}-\vec{r}'|}}{|\vec{r}-\vec{r}'|} \approx \frac{e^{ikr} e^{-ik\frac{\vec{r}}{r} \cdot \vec{r}'}}{r(1 - \frac{\vec{r} \cdot \vec{r}'}{r^2})} \approx \frac{e^{ikr}}{r} e^{-ik\frac{\vec{r}}{r} \cdot \vec{r}'} \left(1 + \frac{\vec{r} \cdot \vec{r}'}{r^2} \right)$$

$$|\vec{r}-\vec{r}'| = \sqrt{(x-x')^2 + (y-y')^2 + (z-z')^2} \approx \sqrt{x^2 + y^2 + z^2 + (-2xx' - 2yy' - 2zz')} \approx \sqrt{x^2 + y^2 + z^2} \left[1 + \frac{xx' + yy' + zz'}{x^2 + y^2 + z^2} \right] = r - \frac{\vec{r} \cdot \vec{r}'}{r}$$

Zachowując tylko wyrazy rzędu $\frac{1}{r}$ otrzymujemy:

$$\frac{e^{ik|\vec{r}-\vec{r}'|}}{|\vec{r}-\vec{r}'|} \approx \frac{e^{ikr}}{r} e^{-ik\vec{r} \cdot \vec{r}'}$$

$$\psi_{\epsilon}^{(+)}(\vec{r}) \underset{|\vec{r}| \rightarrow \infty}{\approx} - \frac{2\mu}{\hbar^2} \frac{e^{ikr}}{4\pi r} \int d^3r' e^{-ik\vec{r} \cdot \vec{r}'} V(\vec{r}') \psi_{\epsilon}(\vec{r}') = \frac{1}{(2\pi)^{3/2}} A(\theta, \varphi) \frac{e^{ikr}}{r}$$

gdzie $A(\theta, \varphi) = -\sqrt{2\pi} \frac{\mu}{\hbar^2} \int d^3r' e^{-ik\vec{r} \cdot \vec{r}'} V(\vec{r}') \psi_{\epsilon}(\vec{r}')$ amplituda rozpraszania

Zauważmy, że $A(\theta, \varphi)$ zależy tylko od kątów, które są zawarte w orientacji wektora $\vec{k}_r = k \frac{\vec{r}}{r} = k \vec{n}$

Czyli

$$\begin{aligned}
 |\vec{j}_{sc} \cdot d\vec{s}| &= \left| \frac{\hbar}{2\mu i} \frac{1}{(2\pi)^3} |A(\theta, \varphi)|^2 \left(\frac{e^{-ikr}}{r} \frac{\partial}{\partial r} \frac{e^{ikr}}{r} - \frac{e^{ikr}}{r} \frac{\partial}{\partial r} \frac{e^{-ikr}}{r} \right) \right|^2 r^2 d\Omega = \\
 &= \frac{\hbar^2}{2\mu} \frac{1}{(2\pi)^3} |A(\theta, \varphi)|^2 \left| \frac{e^{-ikr}}{r} \left(ik \frac{e^{ikr}}{r} - \frac{e^{ikr}}{r^2} \right) - c.c. \right|^2 r^2 d\Omega \\
 &= \frac{\hbar^2}{2\mu} \frac{1}{(2\pi)^3} |A(\theta, \varphi)|^2 \frac{2k}{r^2} r^2 d\Omega
 \end{aligned}$$

Zatem

$$\frac{d\sigma}{d\Omega} = \frac{|\vec{j}_{sc} \cdot d\vec{s}|}{|\vec{j}_{in}| d\Omega} = \frac{\frac{\hbar^2}{\mu} \frac{k}{(2\pi)^3} |A(\theta, \varphi)|^2}{\frac{\hbar^2}{\mu} \frac{k}{(2\pi)^3}}$$

Czyli

$$(*) \quad \boxed{\frac{d\sigma}{d\Omega} = |A(\theta, \varphi)|^2}$$

$$(***) \quad \boxed{\sigma = \int |A(\theta, \varphi)|^2 d\Omega = \int |A(\theta, \varphi)|^2 \sin\theta d\theta d\varphi}$$

Uwagi

- 1) Wzrost (*) jest zdefiniowany w układzie środka masy, tzn. w układzie w którym $\vec{P} = 0$. Przeszliśmy do tego układu w momencie, w którym zajął się się wzgl. zagadnienie ruchu względnego ciałek pomijając ruch środka masy (czyli układ $\vec{P} = 0$). Aby przejść do układu laboratoryjnego ($\vec{P} \neq 0$) trzeba przetransformować kąty θ i φ . Tym niemniej (***) czyli σ jest takie same we wszystkich układach.
- 2) Zauważmy, że kolejne człony wznicięcia $\frac{e^{ik|\vec{r}-\vec{r}'|}}{|\vec{r}-\vec{r}'|}$ zniknąby po podstawieniu do $\frac{d\sigma}{d\Omega}$ i przejściu: $|\vec{r}'| \rightarrow \infty$.
- 3) Ze wzorów (*) i (***) wynika, że cała informacja o wypraszaniu jest zawarta w amplitudzie wypraszania.

Przybliżenie Borna

$$A(\theta, \varphi) = -\sqrt{2\pi} \frac{\mu}{\hbar^2} \int d^3r' e^{i\vec{k}_r \cdot \vec{r}'} V(\vec{r}') \varphi_\varepsilon(\vec{r}')$$

Założymy, że rozpraszanie jest słabe, tzn. $\varphi_\varepsilon(\vec{r}') \approx \frac{1}{(2\pi)^{3/2}} e^{i\vec{k} \cdot \vec{r}'}$

Wtedy

$$A(\theta, \varphi) \approx -\frac{\mu}{2\pi\hbar^2} \int d^3r' e^{-i\vec{k}_r \cdot \vec{r}'} V(\vec{r}') e^{i\vec{k} \cdot \vec{r}'}$$

Oznaczmy $\vec{q} = \vec{k} - \vec{k}_r$

$$A(\theta, \varphi) \approx -\frac{\mu}{2\pi\hbar^2} \int d^3r' V(\vec{r}') e^{i\vec{q} \cdot \vec{r}'}$$

 - Przybliżenie Borna dla amplitudy rozpraszania.

W przybliżeniu Borna $A(\theta, \varphi)$ jest proporcjonalne do przestrzennej transformacji Fouriera potencjału.

Warunek stosowalności przybliżenia Borna: $|\varphi_\varepsilon^{(+)}(\vec{r})| \ll \left| \frac{1}{(2\pi)^{3/2}} e^{i\vec{k} \cdot \vec{r}} \right|$

~~Czyli~~

$$\frac{1}{(2\pi)^{3/2}} \gg \frac{2\mu}{\hbar^2} \left| \int d^3r' \frac{e^{i\vec{k} \cdot (\vec{r} - \vec{r}')} V(\vec{r}') \varphi_\varepsilon(\vec{r}')}{4\pi |\vec{r} - \vec{r}'|} \right| \approx \left. \begin{array}{l} \text{rozważmy:} \\ \vec{r} = 0 \\ \varphi_\varepsilon(\vec{r}') = \frac{1}{(2\pi)^{3/2}} e^{i\vec{k} \cdot \vec{r}'} \end{array} \right| =$$
$$= \frac{2\mu}{\hbar^2 4\pi} \left| \int d^3r' \frac{e^{i\vec{k} \cdot \vec{r}'} V(\vec{r}') e^{-i\vec{k} \cdot \vec{r}'}}{r'} \right| \frac{1}{(2\pi)^{3/2}}$$

~~Przybliżenie Borna stosuje się gdy potencjał oddz. jest słaby lub jego zasięg jest mały.~~

Można pokazać, że daje to następujący warunek stosowalności przybliżenia Borna:

$$\begin{cases} (kR)^0 \frac{\tilde{V}}{\varepsilon} \ll 1 & \text{dla } kR \gg 1 \\ (kR)^2 \frac{\tilde{V}}{\varepsilon} \ll 1 & \text{dla } kR \ll 1 \end{cases}$$

gdzie R jest zasięgiem oddziaływania, a $\tilde{V} = \frac{1}{R} \int_0^R |V(r)| dr$

Czasem zdarzają się przypadki patologiczne.

Np. dla potencjału kulombowskiego przybliżenie Borna daje wynik dobitny.

Przykład

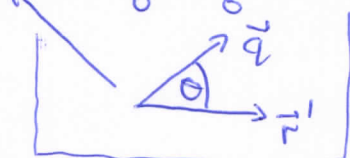
Rozważmy potencjał Yukawy postaci: $V(r) = g \frac{e^{-\alpha r}}{r}$; $\alpha > 0$

$g = \text{const.}$

Obliczmy różniczkowy przekrój czynny w przybliżeniu Borna.

$$A_B(\theta, \varphi) = -\frac{\mu}{2\hbar^2} \int d^3r' g \frac{e^{-\alpha r'}}{r'} e^{i\vec{q} \cdot \vec{r}'} = -\frac{\mu}{2\hbar^2} \int_0^\pi d\varphi \int_0^\pi \sin\theta d\theta \int_0^\infty r' dr' g \frac{e^{-\alpha r'}}{r'} e^{iqr' \cos\theta}$$

$$= -\frac{\mu}{\hbar^2} \int_{-1}^1 d(\cos\theta) \int_0^\infty r' dr' g e^{-\alpha r'} e^{iqr' \cos\theta} =$$



$$= -\frac{\mu}{\hbar^2} g \int_0^\infty r' dr' e^{-\alpha r'} \frac{1}{iqr'} (e^{iqr'} - e^{-iqr'}) = -\frac{2\mu}{\hbar^2} g \int_0^\infty dr' \sin(qr') e^{-\alpha r'} =$$

$$= -\frac{2\mu}{\hbar^2} g \left[-\frac{1}{q} \cos(qr') e^{-\alpha r'} \Big|_0^\infty - \int_0^\infty \frac{1}{q} \cos(qr') \alpha e^{-\alpha r'} dr' \right] =$$

$$= -\frac{2\mu}{\hbar^2} g \left[\frac{1}{q} - \frac{1}{q^2} \alpha \sin(qr') e^{-\alpha r'} \Big|_0^\infty - \frac{\alpha^2}{q^2} \int_0^\infty \sin(qr') e^{-\alpha r'} dr' \right]$$

Czyli

$$\int_0^\infty dr' \sin(qr') e^{-\alpha r'} = \frac{1}{q} - \left(\frac{\alpha}{q}\right)^2 \int_0^\infty \sin(qr') e^{-\alpha r'} dr'$$

$$\int_0^\infty dr' \sin(qr') e^{-\alpha r'} = \frac{\frac{1}{q}}{1 + \left(\frac{\alpha}{q}\right)^2} = \frac{1}{q + \frac{\alpha^2}{q}}$$

Zatem

$$A_B(\theta, \varphi) = A_B(\theta) = -\frac{2\mu}{\hbar^2} g \frac{1}{q^2 + \alpha^2}; \quad q = |\vec{k} - \vec{k}_r|$$

$$q^2 = k^2 - 2\vec{k} \cdot \vec{k}_r + k_r^2 = 2(k^2 - \vec{k} \cdot \vec{k}_r)$$

Niech θ będzie kątem pomiędzy \vec{k} i \vec{k}_r

$$q^2 = 2k^2(1 - \cos\theta) = 2k^2 \left(\sin^2 \frac{\theta}{2} + \cos^2 \frac{\theta}{2} - \cos^2 \frac{\theta}{2} + \sin^2 \frac{\theta}{2} \right) = 2k^2 \cdot 2 \sin^2 \frac{\theta}{2}$$

$$\text{Czyli } A_B(\theta) = -\frac{2\mu}{\hbar^2} g \frac{1}{4k^2 \sin^2 \frac{\theta}{2} + \alpha^2} \Rightarrow \frac{d\sigma}{d\Omega} = \frac{4\mu^2 g^2}{(4k^2 \sin^2 \frac{\theta}{2} + \alpha^2)^2 \hbar^4}$$

Kładąc $\alpha = 0$ i $g = Z_1 Z_2 e^2$ otrzymujemy wzór Rutherforda

$$\frac{d\sigma}{d\Omega} = \left(\frac{\mu^2 Z_1 Z_2 e^2}{2\hbar^2 k^2 \sin^2 \frac{\theta}{2}} \right)^2$$

Różniczkowy przekrój czynny w ult. środka masy dla wprężenia cząstek o ładunkach $Z_1 e$ i $Z_2 e$.

Ruch cząstki kwantowej i klasycznej

Rozwiązujemy r-nie Schrödingera z Hamiltonianem niezależnym od czasu: $i\hbar \frac{\partial}{\partial t} |\varphi(t)\rangle = \hat{H} |\varphi(t)\rangle$

R-nie to ma rozwiązanie postaci: (*) $|\varphi(t)\rangle = e^{-\frac{i}{\hbar} \hat{H} (t-t_0)} |\varphi(t_0)\rangle$

gdzie $e^{-\frac{i}{\hbar} \hat{H} (t-t_0)} = \sum_{n=0}^{\infty} \frac{1}{n!} \left(-\frac{i}{\hbar} (t-t_0)\right)^n \hat{H}^n$

Operator ~~$e^{-\frac{i}{\hbar} \hat{H} (t-t_0)}$~~ $\hat{U}(t-t_0) = e^{-\frac{i}{\hbar} \hat{H} (t-t_0)}$

jest operatorem ewolucji i ma następujące własności:

- 1° jest unitarny: $\hat{U}^\dagger(t-t_0) \hat{U}(t-t_0) = \hat{1}$
- 2° $\hat{U}(t_2-t_1) \hat{U}(t_1-t_0) = e^{-\frac{i}{\hbar} \hat{H} (t_2-t_1)} e^{-\frac{i}{\hbar} \hat{H} (t_1-t_0)} = \hat{U}(t_2-t_0)$

Sens fizyczny operatora ewolucji.

Rozwiązujemy bazę ortonormalną w p. Hilberta: $|\Phi_n\rangle$

Niech $|\varphi(t)\rangle = \sum_n c_n(t) |\Phi_n\rangle$. Wtedy z r-nią (*) mamy:

$$\langle \Phi_k | \varphi(t) \rangle = \langle \Phi_k | \hat{U}(t-t_0) | \varphi(t_0) \rangle$$

Korzystając z zupełności bazy: $\sum_n |\Phi_n\rangle \langle \Phi_n| = \hat{1}$

$$\sum_n c_n(t) \langle \Phi_k | \Phi_n \rangle = \sum_{k', n'} \langle \Phi_k | \hat{U}(t-t_0) | \Phi_{k'} \rangle \langle \Phi_{k'} | \Phi_{n'} \rangle c_{n'}(t_0)$$

Czyli $c_k(t) = \sum_{k'} \langle \Phi_k | \hat{U}(t-t_0) | \Phi_{k'} \rangle c_{k'}(t_0)$

Widać zatem, że element macierowy operatora ewolucji:

$U_{kk'}(t-t_0) = \langle \Phi_k | \hat{U}(t-t_0) | \Phi_{k'} \rangle$ określa amplitudę p-stwa że układ kwantowy, który w chwili t_0 znajdował się w stanie $|\Phi_{k'}\rangle$ znajdzie się w chwili t w stanie $|\Phi_k\rangle$.

Bo jeśli w chwili t_0 : $|\varphi(t_0)\rangle = |\Phi_l\rangle$ tzn. $c_{k'}(t_0) = \delta_{kl}$ to prawdopodobieństwo znalezienia układu w chwili t w stanie $|\Phi_k\rangle$ wynosi: $|c_k(t)|^2 = |\langle \Phi_k | \hat{U}(t-t_0) | \Phi_l \rangle|^2$

Rozwińmy teraz r-nie (*) w reprezentacji położeniowej:

$$\langle \vec{r} | \varphi(t) \rangle = \langle \vec{r} | \hat{U}(t-t_0) | \varphi(t_0) \rangle = \int d^3r' \langle \vec{r} | \hat{U}(t-t_0) | \vec{r}' \rangle \langle \vec{r}' | \varphi(t_0) \rangle$$

Czyli $\varphi(\vec{r}, t) = \int U(\vec{r}, \vec{r}', t-t_0) \varphi(\vec{r}', t_0) d^3r'$

gdzie oznaczyliśmy $U(\vec{r}, \vec{r}', t-t_0) = \langle \vec{r} | \hat{U}(t-t_0) | \vec{r}' \rangle$.

Zbadajmy strukturę funkcji $U(\vec{r}, \vec{r}', t-t_0)$, która określa amplitudę p-strza zależenia cząstki w chwili t w punkcie \vec{r} , jeśli w chwili t_0 znajdowała się w punkcie \vec{r}' .

$$\hat{U}(t-t_0) = e^{-\frac{i}{\hbar} \hat{H}(t-t_0)} = e^{-\frac{i}{\hbar} (t-t_0) (\hat{T} + \hat{V})}$$

gdzie $\hat{T} = -\frac{\hbar^2}{2m} \nabla^2$; $\hat{V} = V(\vec{r})$

Operatory \hat{T} i \hat{V} nie komutują: $[\hat{T}, \hat{V}] \neq 0$ więc w ogólności:

$$e^{-\frac{i}{\hbar} (t-t_0) (\hat{T} + \hat{V})} \neq e^{-\frac{i}{\hbar} (t-t_0) \hat{T}} e^{-\frac{i}{\hbar} (t-t_0) \hat{V}}$$

Rozwińmy jednak: $\lim_{\tau \rightarrow 0} \hat{U}(\tau) = \lim_{\tau \rightarrow 0} e^{-\frac{i}{\hbar} (\hat{T} + \hat{V}) \tau} =$

$$= \lim_{\tau \rightarrow 0} (1 - \frac{i}{\hbar} (\hat{T} + \hat{V}) \tau + O(\tau^2)) = \lim_{\tau \rightarrow 0} e^{-\frac{i}{\hbar} \hat{T} \tau} e^{-\frac{i}{\hbar} \hat{V} \tau}$$

Ale z własności op. \hat{U} wynika że: $\hat{U}(t-t_0) = \lim_{\substack{\tau \rightarrow 0 \\ N \rightarrow \infty \\ N\tau = t-t_0}} [\hat{U}(\tau)]^N$

Czyli
$$\hat{U}(t-t_0) = \lim_{\substack{\tau \rightarrow 0 \\ N \rightarrow \infty \\ N\tau = t-t_0}} e^{-\frac{i}{\hbar} \hat{T} \tau} e^{-\frac{i}{\hbar} \hat{V} \tau} \dots e^{-\frac{i}{\hbar} \hat{T} \tau} e^{-\frac{i}{\hbar} \hat{V} \tau}$$

Zatem

$$U(\vec{r}, \vec{r}', t-t_0) = \lim_{\substack{\tau \rightarrow 0 \\ N \rightarrow \infty \\ N\tau = t-t_0}} \int d^3r_1 d^3r_2 \dots d^3r_{N-1} \langle \vec{r} | e^{-\frac{i}{\hbar} \hat{T} \tau} e^{-\frac{i}{\hbar} \hat{V} \tau} | r_{N-1} \rangle \langle r_{N-1} | \dots | r_2 \rangle \langle r_2 | e^{-\frac{i}{\hbar} \hat{T} \tau} e^{-\frac{i}{\hbar} \hat{V} \tau} | r_1 \rangle \langle r_1 | e^{-\frac{i}{\hbar} \hat{T} \tau} e^{-\frac{i}{\hbar} \hat{V} \tau} | r' \rangle$$

Rozwińmy element macierny:

$$\lim_{\tau \rightarrow 0} \langle \vec{r}_i | e^{-\frac{i}{\hbar} \hat{T} \tau} e^{-\frac{i}{\hbar} \hat{V} \tau} | \vec{r}_{i-1} \rangle = \lim_{\tau \rightarrow 0} \int d^3r \int d^3p \langle \vec{r}_i | e^{-\frac{i}{\hbar} \hat{T} \tau} | \vec{p} \rangle \langle \vec{p} | \vec{r} \rangle \langle \vec{r} | e^{-\frac{i}{\hbar} \hat{V} \tau} | \vec{r}_{i-1} \rangle$$

gdzie skorzystaliśmy z tego, że $\int d^3r | \vec{r} \rangle \langle \vec{r} | = \hat{1}$ i $\int d^3p | \vec{p} \rangle \langle \vec{p} | = \hat{1}$

Zauważmy, że

$$\hat{T} |\bar{p}\rangle = \frac{\hat{p}^2}{2m} |\bar{p}\rangle \quad ; \quad \hat{V} |\bar{r}\rangle = V(\bar{r}) |\bar{r}\rangle$$

czyli $\langle \bar{r}_{i+1} | e^{-\frac{i}{\hbar} \hat{T} \tau} | \bar{p}\rangle = e^{-\frac{i}{\hbar} \frac{\hat{p}^2}{2m} \tau} \langle \bar{r}_{i+1} | \bar{p}\rangle$

$$\langle \bar{r} | e^{-\frac{i}{\hbar} \hat{V} \tau} | \bar{r}_i \rangle = e^{-\frac{i}{\hbar} V(\bar{r}) \tau} \langle \bar{r} | \bar{r}_i \rangle$$

ale $\langle \bar{r} | \bar{r}_i \rangle = \delta(\bar{r} - \bar{r}_i)$; $\langle \bar{r}_i | \bar{p}\rangle = \frac{1}{(2\pi\hbar)^{3/2}} e^{i \frac{\bar{p} \cdot \bar{r}}{\hbar}} = \frac{1}{(2\pi\hbar)^{3/2}} e^{i \bar{k} \cdot \bar{r}}$
 $\bar{p} = \hbar \bar{k}$

Zatem

$$\begin{aligned} \lim_{\tau \rightarrow 0} \langle \bar{r}_{i+1} | \hat{U}(\tau) | \bar{r}_i \rangle &= \lim_{\tau \rightarrow 0} \int d^3r \int d^3p \langle \bar{r}_{i+1} | \bar{p}\rangle \langle \bar{p} | \bar{r}\rangle \delta(\bar{r} - \bar{r}_i) e^{-\frac{i}{\hbar} (\frac{\hat{p}^2}{2m} + V(\bar{r}_i)) \tau} \\ &= \lim_{\tau \rightarrow 0} \frac{1}{(2\pi\hbar)^3} \int d^3p e^{i \frac{\bar{p} \cdot (\bar{r}_{i+1} - \bar{r}_i)}{\hbar}} e^{-\frac{i}{\hbar} (\frac{\hat{p}^2}{2m} + V(\bar{r}_i)) \tau} \\ &= \lim_{\tau \rightarrow 0} \frac{1}{(2\pi\hbar)^3} \int d^3p e^{\frac{i}{\hbar} \bar{p} \cdot (\bar{r}_{i+1} - \bar{r}_i) - \frac{i}{\hbar} \frac{\hat{p}^2}{2m} \tau} e^{-\frac{i}{\hbar} V(\bar{r}_i) \tau} \end{aligned}$$

$$\int d^3p \frac{1}{(2\pi)^{3/2}} e^{-\frac{1}{2} \sum_{i,j=1}^3 p_i A_{ij} p_j + \sum_{i=1}^3 p_i J_i} = (\det A)^{-1/2} e^{\frac{1}{2} \sum_{i,j} J_i A_{ij}^{-1} J_j}$$

$$= \lim_{\tau \rightarrow 0} \left(\frac{m}{2\pi i \hbar \tau} \right)^{3/2} e^{\frac{i}{\hbar} \left(\frac{m (\bar{r}_{i+1} - \bar{r}_i)^2}{2\tau} - V(\bar{r}_i) \tau \right)}$$

ale $\lim_{\tau \rightarrow 0} \frac{\bar{r}_{i+1} - \bar{r}_i}{\tau} = \vec{v}_i$

czyli

$$\lim_{\tau \rightarrow 0} \langle \bar{r}_{i+1} | \hat{U}(\tau) | \bar{r}_i \rangle = \lim_{\tau \rightarrow 0} \left(\frac{m}{2\pi i \hbar \tau} \right)^{3/2} e^{\frac{i}{\hbar} \left(\frac{m v_i^2}{2} - V(\bar{r}_i) \right) \tau}$$

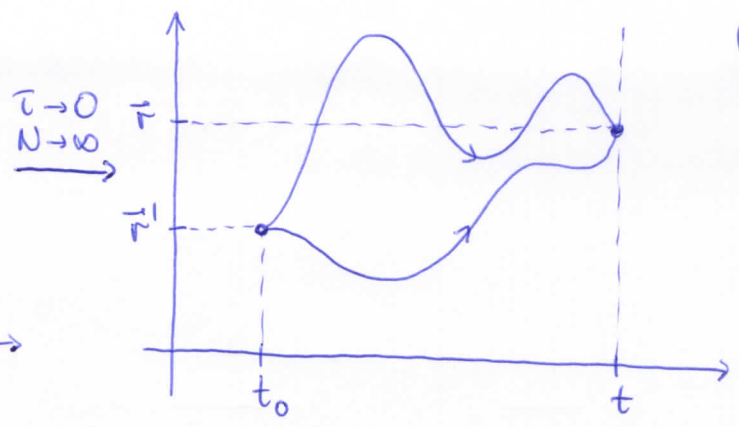
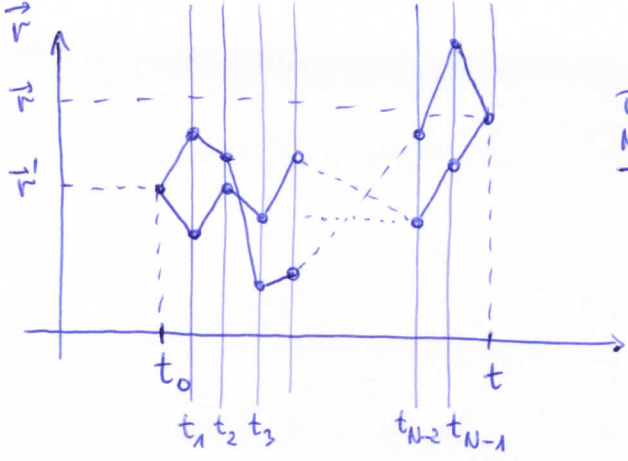
gdzie $\vec{v}_i = \vec{v}(t_i)$; $\bar{r}_i = \bar{r}(t_i)$; $t_i = i\tau$; $i = 1, 2, \dots, N$

Zatem

$$U(\bar{r}, \bar{r}', t-t_0) = \lim_{\substack{\tau \rightarrow 0 \\ N \rightarrow \infty \\ N\tau = t-t_0}} \prod_{j=1}^{N-1} \int d^3r_j \left(\frac{m}{2\pi i \hbar \tau} \right)^{3/2} e^{\frac{i}{\hbar} L(\bar{r}_j, \dot{\bar{r}}_j) \tau} ; \quad L(\bar{r}, \dot{\bar{r}}) = \frac{m}{2} (\dot{\bar{r}})^2 - V(\bar{r})$$

↑ f. Lagrange'a

Wzór (*) pozwala policzyć $U(\bar{r}, \bar{r}', t-t_0)$ dla ustalonego potencjału $V(\bar{r})$.



Zatem możemy zapisać :

$$U(\vec{r}, \vec{r}', t-t_0) = \int [D\vec{r}] e^{\frac{i}{\hbar} \int_{t_0}^t L(\vec{r}, \dot{\vec{r}}) dt} \quad (*)$$

gdzie przez $\int [D\vec{r}]$ oznaczyliśmy $\lim_{\substack{\hbar \rightarrow 0 \\ N \rightarrow \infty \\ N\tau \rightarrow t-t_0}} \left(\frac{m}{2\pi i \hbar \tau} \right)^{\frac{3N}{2}} \int d^3r_1 \dots d^3r_{N+1}$

Zatem amplituda prawdopodobieństwa jest równa sumie po wszystkich trajektoriach łączących punkty $\vec{r}' = \vec{r}$, przy czym wkład od każdej trajektorii jest proporcjonalny do $e^{\frac{i}{\hbar} \int_{t_0}^t L(\vec{r}, \dot{\vec{r}}) dt}$ gdzie działanie $\int_{t_0}^t L(\vec{r}, \dot{\vec{r}}) dt$ jest liczone wzdłuż trajektorii.

Granica klasyczna : $\hbar \rightarrow 0$

Rozważmy postać wyrażenia (*) lub (***) w granicy $\hbar \rightarrow 0$.

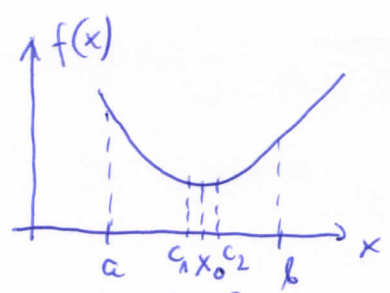
Wynik pomocniczy :

$$\lim_{\hbar \rightarrow 0} \int_a^b e^{i \frac{1}{\hbar} f(x)} dx = \sqrt{\hbar} A(x_0) e^{\frac{i}{\hbar} f(x_0)} + O(\hbar)$$

gdzie $x_0 \in (a, b)$ i $f'(x_0) = 0$ i $f''(x_0) \neq 0$; $A(x_0)$ - stała

Dowód

Niech



Podzielmy przedział (a, b) na sumę 3 przedziałów : $(a, c_1) \cup (c_1, c_2) \cup (c_2, b)$ takich że $x_0 \in (c_1, c_2)$ oraz w przedziałach (a, c_1) i (c_2, b) : $f'(x) \neq 0$

$$\text{Rozważmy } \lim_{\hbar \rightarrow 0} \int_a^{c_1} e^{\frac{i}{\hbar} f(x)} dx = \left\{ \begin{array}{l} y = f(x) \\ x = \tilde{f}(y) - \text{istnieje } f \text{ odwrótne bo } f'(x) \neq 0 \\ dx = \tilde{f}'(y) dy ; \tilde{f}'(y) \neq 0 \text{ bo } f'(x) \neq 0. \end{array} \right. =$$

$$= \lim_{h \rightarrow 0} \int_{f(a)}^{f(c_1)} \tilde{f}'(y) e^{\frac{i}{h} y} dy = \tilde{f}'(y) \frac{h}{i} e^{\frac{i}{h} y} \Big|_{f(a)}^{f(c_1)} - \frac{h}{i} \int_{f(a)}^{f(c_1)} \tilde{f}''(y) e^{\frac{i}{h} y} dy =$$

$$= \frac{h}{i} \left[\tilde{f}'(y) e^{\frac{i}{h} y} \Big|_{f(a)}^{f(c_1)} - \int_{f(a)}^{f(c_1)} \tilde{f}''(y) e^{\frac{i}{h} y} dy \right] = O(h)$$

Analogicznie: $\int_{c_2}^b e^{\frac{i}{h} f(x)} dx \xrightarrow{h \rightarrow 0} O(h)$

Rozważmy $\lim_{h \rightarrow 0} \int_{c_1}^{c_2} e^{\frac{i}{h} f(x)} dx = \left\{ \begin{array}{l} \text{jeśli } (c_1, c_2) \text{ jest} \\ \text{dostatecznie mały} \\ \text{to } f(x) \approx f(x_0) + \frac{1}{2} f''(x_0) (x-x_0)^2 \end{array} \right\} =$

$$\approx \lim_{h \rightarrow 0} \int_{c_1}^{c_2} e^{\frac{i}{h} [f(x_0) + \frac{1}{2} f''(x_0) (x-x_0)^2]} dx = \lim_{h \rightarrow 0} e^{\frac{i}{h} f(x_0)} \int_{c_1}^{c_2} e^{\frac{i}{h} \frac{1}{2} f''(x_0) (x-x_0)^2} dx$$

$$= \left\{ \begin{array}{l} y = x - x_0 \\ dy = dx \end{array} \right\} = \lim_{h \rightarrow 0} e^{\frac{i}{h} f(x_0)} \int_{c_1 - x_0}^{c_2 - x_0} e^{\frac{i}{h} \frac{1}{2} f''(x_0) y^2} dy = \left\{ \begin{array}{l} \text{Niech } c_1 \text{ i } c_2 \\ \text{bądź takie że} \\ c_1 - x_0 = -\varepsilon = -(c_2 - x_0); \varepsilon > 0 \end{array} \right\} =$$

$$= \lim_{h \rightarrow 0} e^{\frac{i}{h} f(x_0)} \int_{-\varepsilon}^{\varepsilon} e^{\frac{i}{h} \frac{1}{2} f''(x_0) y^2} dy = \lim_{h \rightarrow 0} 2 e^{\frac{i}{h} f(x_0)} \int_0^{\varepsilon} e^{\frac{i}{h} \frac{1}{2} f''(x_0) y^2} dy = \left\{ \begin{array}{l} z = \frac{1}{\sqrt{2h}} \sqrt{\frac{1}{2} f''(x_0)} y \\ y = \frac{\sqrt{2hz}}{\sqrt{\frac{1}{2} f''(x_0)}} \end{array} \right\} =$$

$$= \lim_{h \rightarrow 0} 2 e^{\frac{i}{h} f(x_0)} \int_0^{\varepsilon} e^{iz} \frac{1}{\sqrt{2h} \sqrt{\frac{1}{2} f''(x_0)}} dz = \lim_{h \rightarrow 0} \sqrt{h} e^{\frac{i}{h} f(x_0)} \underbrace{2 \int_0^{\infty} e^{iz} \frac{1}{\sqrt{2h} \sqrt{\frac{1}{2} f''(x_0)}} dz}_{A(x_0)}$$

Cyfli dominujący wykład do całości $\int_a^b e^{\frac{i}{h} f(x)} dx$ w granicy $h \rightarrow 0$ wewnątrz ~~określenia~~ otoczenia punktów $x_0 \in (a, b)$, dla których $f'(x_0) = 0$: $\lim_{h \rightarrow 0} \int_a^b e^{\frac{i}{h} f(x)} dx \approx \sqrt{h} A(x_0) e^{\frac{i}{h} f(x_0)}$

Rozważmy teraz

$$\lim_{h \rightarrow 0} u(\vec{r}, \vec{r}', t - t_0) = \lim_{h \rightarrow 0} \lim_{\tau \rightarrow 0} \left(\frac{m}{2\pi i h \tau} \right)^{3/2} \prod_{j=1}^{N-1} \int d^3 r_j e^{\frac{i}{h} L(\vec{r}_j, \vec{r}'_j) \tau}$$

$$\text{Rozważmy } \lim_{h \rightarrow 0} \int d^3 r_j e^{\frac{i}{h} \left[m \frac{(\vec{r}_{j+1} - \vec{r}_j)^2}{2\tau} - V(\vec{r}_j) \tau + m \frac{(\vec{r}_j - \vec{r}_{j-1})^2}{2\tau} \right]}$$

$$\lim_{h \rightarrow 0} e^{\frac{i}{h} m \left(\frac{\vec{r}_{j+1}^2}{2\tau} + \frac{\vec{r}_{j-1}^2}{2\tau} \right)} \int d^3 r_j e^{\frac{i}{h} \left[m \left(\frac{2\vec{r}_j^2}{2\tau} - 2 \frac{\vec{r}_{j+1} \cdot \vec{r}_j}{2\tau} - 2 \frac{\vec{r}_j \cdot \vec{r}_{j-1}}{2\tau} \right) - V(\vec{r}_j) \tau \right]}$$

Dominujący wykład to całość pochodzi od takich \vec{r}_j dla których

$$\vec{\nabla}_j \left[\frac{m\vec{r}_j^2}{\tau} - 2 \frac{m}{2\tau} (\vec{r}_{j+1} \cdot \vec{r}_j + \vec{r}_{j-1} \cdot \vec{r}_j) - V(\vec{r}_j) \tau \right] = 0 ; \left\{ \begin{array}{l} \vec{\nabla}_j = \left(\frac{\partial}{\partial x_j}, \frac{\partial}{\partial y_j}, \frac{\partial}{\partial z_j} \right) \\ \vec{r}_j = (x_j, y_j, z_j) \end{array} \right.$$

$$m \frac{2\vec{r}_j}{\tau} - \frac{m}{\tau} (\vec{r}_{j+1} + \vec{r}_{j-1}) - \vec{\nabla}_j V \tau = 0$$

ale

$$\lim_{\tau \rightarrow 0} \frac{\vec{r}_{j+1} - 2\vec{r}_j + \vec{r}_{j-1}}{\tau^2} = \ddot{\vec{r}}_j$$

czyli mamy: $(-m\ddot{\vec{r}}_j - \vec{\nabla}_j V)\tau = 0$

Zatem dominujący wkład do całej pochodni od \vec{r}_j , dla którego spełnione jest klasyczne r-nie ruchu: $m \frac{d^2}{dt^2} \vec{r}_j = -\vec{\nabla}_j V$

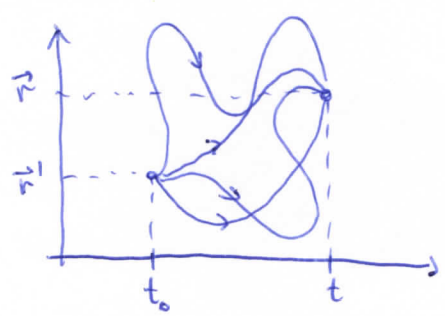
Zatem w granicy klasycznej wkład do $U(\vec{r}, \vec{r}', t-t_0)$ pochodzi od trajektorii, dla której $\delta \int_{t_0}^t L dt = 0$ czyli dla której spełnione są r-nia Eulera-Lagrange'a.

$U(\vec{r}, \vec{r}', t-t_0) \xrightarrow{\hbar \rightarrow 0} A e^{\frac{i}{\hbar} \int_{t_0}^t L(\vec{r}_cl, \dot{\vec{r}}_cl) dt}$; $\delta \int_{t_0}^t L(\vec{r}_cl, \dot{\vec{r}}_cl) dt = 0$

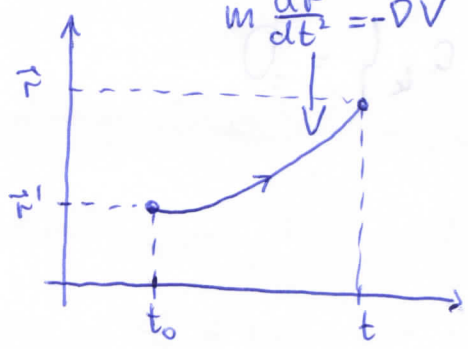
gdzie \vec{r}_cl i $\dot{\vec{r}}_cl$ oznaczają położenia i prędkości dla trajektorii klasycznej, A - stała niezależna od \hbar .

trajektoria klasyczna

$m \frac{d^2 \vec{r}}{dt^2} = -\vec{\nabla} V$



$\hbar \rightarrow 0$
 \longrightarrow



Podsumowanie

1° Rozwiązanie r-nia Schrödingera jest określone poprzez op. ewolucji $\hat{U} = e^{-\frac{i}{\hbar} H(t-t_0)}$. W reprezentacji położeniowej $U(\vec{r}, \vec{r}', t-t_0) = \langle \vec{r} | \hat{U}(t-t_0) | \vec{r}' \rangle$ wyznacza f. falową w chwili czasu t na podstawie zależności f. falowej w chwili t_0 :

$\psi(\vec{r}, t) = \int d^3r' U(\vec{r}, \vec{r}', t-t_0) \psi(\vec{r}', t_0)$

2° $U(\vec{r}, \vec{r}', t-t_0) = \lim_{\substack{\tau \rightarrow 0 \\ N \rightarrow \infty \\ N\tau = t-t_0}} \prod_{j=1}^{N-1} \left(\frac{m}{2\pi i \hbar \tau} \right)^{3/2} \int d^3r_j e^{\frac{i}{\hbar} L(\vec{r}_j, \dot{\vec{r}}_j) \tau}$; $L(\vec{r}, \dot{\vec{r}}) = \frac{m}{2} (\dot{\vec{r}})^2 - V(\vec{r})$

gdzie L jest funkcją Lagrange'a cząstki w potencjale $V(\vec{r})$.

3° W granicy klasycznej: ($\hbar \rightarrow 0$): $U(\vec{r}, \vec{r}', t-t_0) \sim e^{\frac{i}{\hbar} \int_{t_0}^t L(\vec{r}_cl, \dot{\vec{r}}_cl) dt}$

gdzie $\vec{r}_cl(t)$ jest trajektorią klasyczną zdefiniowaną warunkiem:

$\delta \int_{t_0}^t L(\vec{r}, \dot{\vec{r}}) dt = 0$. Można zatem zinterpretować wyrażenie 2° jako

sumę po wszystkich trajektoriach: $U(\vec{r}, \vec{r}', t-t_0) = \int [D\vec{r}] e^{\frac{i}{\hbar} \int_{t_0}^t L(\vec{r}, \dot{\vec{r}}) dt}$

4° Granica klasyczna ($\hbar \rightarrow 0$) stosuje się wtedy jeśli zmiany odległości $\int_{t_0}^{t_1} L(\vec{r}, \dot{\vec{r}}) dt$ liczone wzdłuż sąsiadnych trajektorii są duże w porównaniu z \hbar . Przez sąsiednie trajektorie wzajemnie trajektorie odróżnialne od siebie. Odróżnialność jest determinowana precyzją urządzeń pomiarowych lub warunkami w jakich znajduje się badany układ. Np. trajektorie elektronów odległe od siebie o 1 \AA są odróżnialne w przypadku ruchu elektronów w atomie, natomiast nieodróżnialne w przypadku ruchu elektronów w lampie elektronowej. Stąd wynika, że granica klasyczna oznacza duże masy lub duże wymiary układów.

5° Przybliżenie klasyczne mechaniki kwantowej jest analogiczne do przybliżenia optyki falowej przez optykę geometryczną.

mechanika kw. : f. falowa (r. Schrödingera)	→ trajektorie : cząsteczki (zas. Hamiltona)	mechanika klasyczna
optyka falowa : fala e.m. (r. Maxwella)	→ promienie : (zas. Fermata)	optyka geom.

6° Dwie metody kwantowania układu klasycznego:

Kwantowanie kanoniczne

- 1° Definiujemy funkcję Hamiltona: $H(\vec{q}, \vec{p})$
- 2° Zastępujemy współrzędne kanoniczne sprężone przez operatory

$$\vec{q} \rightarrow \hat{q}$$

$$\vec{p} \rightarrow \frac{\hbar}{i} \vec{\nabla}_q$$
- 3° Konstruujemy Hamiltonian $\hat{H} = H(\hat{q}, \frac{\hbar}{i} \vec{\nabla}_q)$ i r-nie S.

$$i\hbar \frac{\partial}{\partial t} \psi(\vec{q}, t) = \hat{H} \psi(\vec{q}, t)$$

Kwantowanie metodą ciałek po trajektoriach

- 1° Definiujemy f. Lagrange'a $L(\vec{q}, \dot{\vec{q}})$
- 2° Obliczamy $U(\vec{q}, \vec{q}', t-t_0)$
- 3° Funkcje falowe obliczamy z r-nic

$$\psi(\vec{q}, t) = \int d^3q' U(\vec{q}, \vec{q}', t-t_0) \psi(\vec{q}', t_0)$$

Rozwiązujemy r-nie Schrödingera:

$$(*) \quad i\hbar \frac{\partial}{\partial t} \psi(\vec{r}, t) = \hat{H} \psi(\vec{r}, t)$$

gdzie $\hat{H} = -\frac{\hbar^2}{2m} \nabla^2 + V(\vec{r})$

Dla ustalonego \vec{r} i t $\psi(\vec{r}, t)$ jest liczbą zespoloną, zatem możemy napisać: $\psi(\vec{r}, t) = A(\vec{r}, t) e^{\frac{i}{\hbar} S(\vec{r}, t)}$

gdzie $A(\vec{r}, t)$ i $S(\vec{r}, t)$ są funkcjami rzeczywistymi.

Podstawiając do (*) otrzymujemy:

$$i\hbar \frac{\partial A}{\partial t} e^{\frac{i}{\hbar} S} + i\hbar A e^{\frac{i}{\hbar} S} \frac{i}{\hbar} \frac{\partial S}{\partial t} = -\frac{\hbar^2}{2m} \nabla \cdot (\nabla A e^{\frac{i}{\hbar} S} + A e^{\frac{i}{\hbar} S} \frac{i}{\hbar} \nabla S) + V(\vec{r}) A e^{\frac{i}{\hbar} S}$$

$$i\hbar \frac{\partial A}{\partial t} e^{\frac{i}{\hbar} S} - A e^{\frac{i}{\hbar} S} \frac{\partial S}{\partial t} = -\frac{\hbar^2}{2m} (\nabla^2 A e^{\frac{i}{\hbar} S} + 2 \frac{i}{\hbar} \nabla A \cdot \nabla S e^{\frac{i}{\hbar} S} + A e^{\frac{i}{\hbar} S} (\frac{i}{\hbar} \nabla S)^2 + A e^{\frac{i}{\hbar} S} \frac{i}{\hbar} \nabla^2 S) + V(\vec{r}) A e^{\frac{i}{\hbar} S}$$

Mnożąc obie strony przez $\psi^*(\vec{r}, t) = A e^{-\frac{i}{\hbar} S}$ otrzymujemy:

$$i\hbar A \frac{\partial A}{\partial t} - A^2 \frac{\partial S}{\partial t} = -\frac{\hbar^2}{2m} (A \nabla^2 A + 2 \frac{i}{\hbar} A \nabla A \cdot \nabla S - \frac{A^2}{\hbar^2} (\nabla S)^2 + \frac{i}{\hbar} A^2 \nabla^2 S) + V(\vec{r}) A^2$$

Rozwiązujemy oddzielnie części rzeczywiste i urojone tego r-nia:

1° Część rzeczywista: $-A^2 \frac{\partial S}{\partial t} = -\frac{\hbar^2}{2m} A \nabla^2 A + \frac{1}{2m} A^2 (\nabla S)^2 + V(\vec{r}) A^2$

2° Część urojona: $\hbar A \frac{\partial A}{\partial t} = -\left(\frac{\hbar}{m} A \nabla A \cdot \nabla S + \frac{\hbar}{2m} A^2 \nabla^2 S \right)$

Ad 2°

$$\frac{1}{2} \frac{\partial}{\partial t} A^2 = -\frac{\hbar}{2m} [2 A \nabla A \cdot \nabla S + A^2 \nabla^2 S] =$$

$$= -\nabla \cdot \left[\frac{\hbar}{2m} A^2 \nabla S \right] \quad \text{czyli} \quad \left[\frac{\partial}{\partial t} A^2 = -\nabla \cdot \left[\frac{A^2 \nabla S}{m} \right] \right]$$

ale $|\psi(\vec{r}, t)|^2 = A^2$

oraz $\vec{j}(\vec{r}, t) = \frac{\hbar}{2mi} (\psi^* \vec{\nabla} \psi - \psi \vec{\nabla} \psi^*) = \frac{\hbar}{2mi} (A e^{-\frac{i}{\hbar} S} \vec{\nabla} (A e^{\frac{i}{\hbar} S}) - A e^{\frac{i}{\hbar} S} \vec{\nabla} (A e^{-\frac{i}{\hbar} S})) = \frac{\hbar}{2mi} [A \vec{\nabla} A + 2A^2 \frac{i}{\hbar} \vec{\nabla} S - A \vec{\nabla} A] = \frac{\hbar}{mi} \frac{i}{\hbar} A^2 \vec{\nabla} S$

Czyli r-nie 2° jest po prostu r-niem ciągłości:

$\left[\frac{\partial \rho}{\partial t} = -\vec{\nabla} \cdot \vec{j} \right]; \rho(\vec{r}, t) = |\psi(\vec{r}, t)|^2$

Ad 1°

$-A^2 \frac{\partial S}{\partial t} = A^2 \left[\frac{1}{2m} (\vec{\nabla} S)^2 + V(\vec{r}) \right] - \frac{\hbar^2}{2m} A \nabla^2 A$

Rozważmy granicę klasyczną: $\hbar \rightarrow 0$

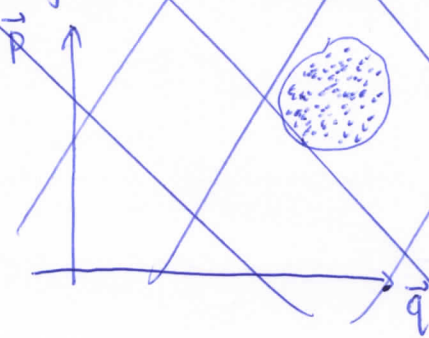
Wtedy otrzymujemy: $\begin{cases} -\frac{\partial S}{\partial t} = \frac{1}{2m} (\vec{\nabla} S)^2 + V(\vec{r}) \\ \text{oraz} \\ \frac{\partial}{\partial t} A^2 + \vec{\nabla} \left[A^2 \frac{\vec{\nabla} S}{m} \right] = 0 \end{cases}$

gdzie $A = A(\vec{r}, t)$, $S = S(\vec{r}, t)$

Dygresja

Rozważmy zbiór punktów (cząsteł) w p. fazowej, które w pewnej chwili czasu t zajmuj3 pewen obszar. Każdy punkt ewoluje niezależnie zgodnie z r-niami Hamiltona:

$\begin{cases} \dot{\vec{q}} = + \vec{\nabla}_p H(\vec{q}, \vec{p}) \\ \dot{\vec{p}} = - \vec{\nabla}_q H(\vec{q}, \vec{p}) \end{cases}$



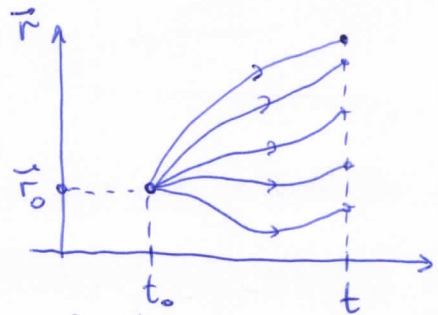
Dygresja

Rozważmy cząstkę klasyczną poruszającą się od punktu $\vec{r}_0 = \vec{r}(t_0)$ do punktu $\vec{r}_1 = \vec{r}(t_1)$ w przedziale czasu $t_1 - t_0$.

Trajektorie tego ruchu jest wyznaczona przez warunek stacjonarności działania: $\delta S = 0$, przy warunkach brzegowych: $\delta \vec{r}_0 = \delta \vec{r}_1 = 0$ (gdzie $S = \int_{t_0}^{t_1} L(\vec{r}, \dot{\vec{r}}) dt$)

Rozważmy teraz zbiór wielu trajektorii, po których poruszać się będzie cząstka w przedziale czasu $t - t_0$, startując z punktu \vec{r}_0 z różnymi prędkościami.

Dla takich trajektorii możemy zdefiniować działanie jako funkcję punktu końcowego, do którego dojdzie cząstka w chwili t :



$$(*) S(\vec{r}, t) = \int_{t_0}^t L(\vec{r}', \dot{\vec{r}}') dt' ; \vec{r} = \vec{r}(t)$$

Obliczmy zmiany S dla sąsiednich trajektorii:

$$\begin{aligned} \delta S &= \int_{t_0}^t \delta L dt' = \int_{t_0}^t \left(\frac{\partial L}{\partial \vec{r}'} \cdot \delta \vec{r}' + \frac{\partial L}{\partial \dot{\vec{r}}'} \cdot \delta \dot{\vec{r}}' \right) dt' = \left. \begin{aligned} \delta \dot{\vec{r}}' &= \delta \frac{d\vec{r}'}{dt} = \\ &= \frac{d}{dt} \delta \vec{r}' \end{aligned} \right| = \\ &= \int_{t_0}^t \left(\frac{\partial L}{\partial \vec{r}'} \cdot \delta \vec{r}' + \frac{d}{dt} \left(\frac{\partial L}{\partial \dot{\vec{r}}'} \cdot \delta \vec{r}' \right) - \frac{d}{dt} \frac{\partial L}{\partial \dot{\vec{r}}'} \cdot \delta \vec{r}' \right) dt' = \\ &= \int_{t_0}^t \left(\frac{\partial L}{\partial \vec{r}'} - \frac{d}{dt} \frac{\partial L}{\partial \dot{\vec{r}}'} \right) \cdot \delta \vec{r}' dt' + \left. \frac{\partial L}{\partial \dot{\vec{r}}'} \cdot \delta \vec{r}' \right|_{t_0}^t = \vec{p}' \cdot \delta \vec{r}' \Big|_{t_0}^t \end{aligned}$$

gdzie skorzystaliśmy z faktu, że dla każdej trajektorii klasycznej spełnione są r-wnia Lagrange'a: $\frac{\partial L}{\partial \vec{r}'} - \frac{d}{dt} \left(\frac{\partial L}{\partial \dot{\vec{r}}'} \right) = 0$

Ponieważ wszystkie trajektorie zaczynają się w \vec{r}_0 czyli $\delta \vec{r}'(t_0) = \delta \vec{r}_0 = 0$

Stąd $\delta S = \vec{p} \cdot \delta \vec{r}$ gdzie $\vec{p} = \vec{p}(t)$

czyli $\boxed{\frac{\partial S}{\partial \vec{r}} = \vec{p}}$

Zauważmy ponadto, że z r-nia (*) mamy:

$$\frac{dS}{dt} = L(\vec{r}, \dot{\vec{r}}, t)$$

Czyli $\frac{dS}{dt} = \vec{p} \cdot \dot{\vec{r}} - H(\vec{r}, \vec{p}) = \frac{\partial S}{\partial \vec{r}} \cdot \dot{\vec{r}} - H(\vec{r}, \frac{\partial S}{\partial \vec{r}})$

ale $S = S(\vec{r}, t)$ czyli $\frac{dS}{dt} = \frac{\partial S}{\partial \vec{r}} \cdot \dot{\vec{r}} + \frac{\partial S}{\partial t}$

Porównując obydwie r-nia otrzymujemy: $\frac{\partial S}{\partial t} = -H(\vec{r}, \frac{\partial S}{\partial \vec{r}})$

Zatem dla f. Hamiltona postaci: $H(\vec{r}, \vec{p}) = \frac{p^2}{2m} + V(\vec{r})$

otrywamy:
$$\boxed{-\frac{\partial S}{\partial t} = \frac{1}{2m}(\vec{\nabla} S)^2 + V(\vec{r})}$$
 - r-nie Hamiltona-Jacobiego

gdzie $\vec{\nabla} S(\vec{r}, t) = \vec{p}$

Zatem w granicy klasycznej funkcja fazy można skonstruować z rozwiązania r-nia H-J (+ r-nie ciągłości z^o) $S(\vec{r}, t)$, która jest (dla ustalonego \vec{r} i t) fazą funkcji fazy ma z klasycznego punktu widzenia tę własność, że $\vec{\nabla} S = \vec{p}$ czyli powierzchnia stałej fazy jest prostopadła do trajektorii klasycznych (por. z optyką fazy i geometryczną).

Koniec dyskusji

W granicy klasycznej r-nia: (*)
$$\begin{cases} -\frac{\partial S}{\partial t} = \frac{1}{2m}(\vec{\nabla} S)^2 + V(\vec{r}) \\ \frac{\partial \vec{p}}{\partial t} = -\vec{\nabla} (S(\vec{r}, t) \frac{\vec{\nabla} S}{m}) \end{cases}$$

gdzie $\vec{p}(\vec{r}, t) = \vec{\nabla} S$

opisuje ruch nieoddziałujących punktów materialnych o masie m , o współrzędnej przestrzennej $\vec{r}(\vec{r}, t)$ i współrzędnej pędu $\vec{p}(\vec{r}, t)$, gdzie każdy z punktów materialnych porusza się zgodnie z r-niami Hamiltona:

$$\begin{cases} \dot{\vec{p}} = -\vec{\nabla}_r H \\ \dot{\vec{r}} = \vec{\nabla}_p H \end{cases}; H = H(\vec{r}, \vec{p}) = \frac{p^2}{2m} + V(\vec{r})$$

R-nia (*) stanowią pierwsze przybliżenie funkcji falowej. i noszą (44)
nazwę przybliżenia WKB.

Można skonstruować ciąg kolejnych przybliżeń zwany metodą WKB

Niech $\psi(\vec{r}, t) = A(\vec{r}, t) e^{\frac{i}{\hbar} S(\vec{r}, t)}$; $A, S \in \mathbb{R}$

Przedstawienie to nie jest jednoznaczne, bo $A(\vec{r}, t) \rightarrow -A(\vec{r}, t)$
jest równoważne $S(\vec{r}, t) \rightarrow S(\vec{r}, t) + \pi \hbar (2n+1)$; $n = 0, \pm 1, \dots$

Przyjmijmy że $A(\vec{r}, t) \geq 0$. Wtedy

$$\psi(\vec{r}, t) = e^{\frac{i}{\hbar} (S(\vec{r}, t) + \frac{\hbar}{i} \ln A(\vec{r}, t))} = e^{\frac{i}{\hbar} \bar{S}(\vec{r}, t)}$$

gdzie $\bar{S}(\vec{r}, t) \stackrel{\text{def}}{=} S(\vec{r}, t) - i \hbar \ln A(\vec{r}, t)$

Podstawiając $\psi(\vec{r}, t)$ do r-nia Schrödingera ($\hat{H} = -\frac{\hbar^2}{2m} \nabla^2 + V(\vec{r})$):

$$\frac{i}{\hbar} i \hbar \frac{\partial \bar{S}}{\partial t} e^{\frac{i}{\hbar} \bar{S}} = -\frac{\hbar^2}{2m} \nabla \cdot \left(\frac{i}{\hbar} \nabla \bar{S} e^{\frac{i}{\hbar} \bar{S}} \right) + V(\vec{r}) e^{\frac{i}{\hbar} \bar{S}}$$

$$-\frac{\partial \bar{S}}{\partial t} e^{\frac{i}{\hbar} \bar{S}} = -\frac{\hbar^2}{2m} \left(\frac{i}{\hbar} \nabla^2 \bar{S} + \left(\frac{i}{\hbar} \right)^2 (\nabla \bar{S})^2 \right) e^{\frac{i}{\hbar} \bar{S}} + V(\vec{r}) e^{\frac{i}{\hbar} \bar{S}}$$

$$(**) \left[\frac{1}{2m} (\nabla \bar{S})^2 + V(\vec{r}) + \frac{\partial \bar{S}}{\partial t} = \frac{i \hbar}{2m} \nabla^2 \bar{S} \right]$$

Zakładamy, że prawa strona stanowi niewielkie zaburzenie i
szukamy rozwiązania postaci: $(**) \bar{S}(\vec{r}, t) = \bar{S}_0(\vec{r}, t) + \hbar \bar{S}_1(\vec{r}, t) + \dots = \sum_{k=0}^{\infty} \hbar^k \bar{S}_k$

Metoda WKB polega na podstawieniu $(**)$ do $(***)$ i rozdzieleniu
oddzielnie r-ni dla członów przy ustalonych potęgach \hbar .

$$\frac{1}{2m} \left(\sum_{k=0}^{\infty} \hbar^k \nabla \bar{S}_k \right)^2 + V(\vec{r}) + \sum_{k=0}^{\infty} \hbar^k \frac{\partial \bar{S}_k}{\partial t} = \frac{i \hbar}{2m} \sum_{k=0}^{\infty} \hbar^k \nabla^2 \bar{S}_k$$

$$\hbar^0 : \frac{1}{2m} (\nabla \bar{S}_0)^2 + V(\vec{r}) + \frac{\partial \bar{S}_0}{\partial t} = 0 \quad (a)$$

$$\hbar^1 : \frac{1}{m} \nabla \bar{S}_0 \cdot \nabla \bar{S}_1 + \frac{\partial \bar{S}_1}{\partial t} = \frac{i}{2m} \nabla^2 \bar{S}_0 \quad (b)$$

⋮

Nietrudno sprawdzić, że r-nia (a) i (b) są równoważne r-niom (4)
jeśli ułożymy: $\bar{S}_0 = S$ i $\bar{S}_1 = -i \ln A$

Przypadek stanów stacjonarnych:

Jeśli $\psi(\vec{r}, t) = \varphi_E(\vec{r}) e^{-\frac{i}{\hbar} E t}$ to oznacza, że

$$A(\vec{r}, t) = A(\vec{r}) \quad \text{oraz} \quad S(\vec{r}, t) = S(\vec{r}) - E t$$

$$\text{czyli} \quad \psi(\vec{r}, t) = e^{\frac{i}{\hbar}(S(\vec{r}) - E t)} \quad ; \quad G(\vec{r}) = S(\vec{r}) - i\hbar \ln A(\vec{r})$$

Wtedy Γ -nie (***) ma postać:

$$(***) \left[\frac{1}{2m} (\vec{\nabla} G)^2 + [V(\vec{r}) - E] = \frac{i\hbar}{2m} \nabla^2 G \right]$$

a ciąg przybliżeń metody WKB ma postać:

$$\hbar^0: \frac{1}{2m} (\vec{\nabla} G_0)^2 + [V(\vec{r}) - E] = 0 \quad (a')$$

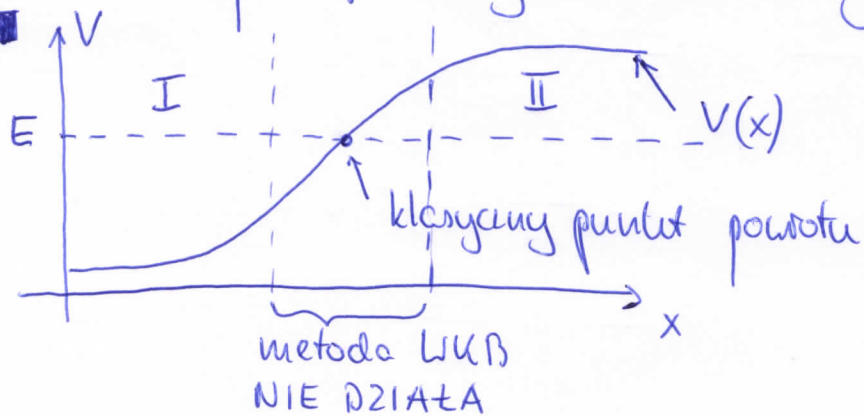
$$\hbar^1: \frac{1}{m} \vec{\nabla} G_0 \cdot \vec{\nabla} G_1 = \frac{i\hbar}{2m} \nabla^2 G_0 \quad (b')$$

⋮

Warunki stosowalności metody WKB:

Zauważmy, że z Γ -nia (***) wynika, że człon $\frac{i\hbar}{2m} \nabla^2 G$ można traktować jako małe zaburzenie gdy $\frac{\hbar}{2m} |\nabla^2 G| \ll |E - V(\vec{r})|$ lub równoważnie $\frac{\hbar}{2m} |\nabla^2 G| \ll \frac{1}{2m} (\vec{\nabla} G)^2$

Pierwszy z tych warunków oznacza, że metoda WKB można stosować w pewnej odległości od klasycznego punktu powrotu.



Rozwiązanie z drugiego warunku, podstawiając $G \approx G_0 = S$ otrzymujemy $\frac{\hbar}{2m} |\nabla^2 S| \ll \frac{1}{2m} (\vec{\nabla} S)^2$, ale $\vec{p} = \vec{\nabla} S$

(46)

Zatem $\hbar |\vec{\nabla} \cdot \vec{p}(\vec{r})| \ll |\vec{p}(\vec{r})|^2$

Oznacza to, że zmiany pędu muszą być nieistotne u porównaniu z wartością pędu. Tymczasem w klasycznym punkcie powrotu $\vec{p}(\vec{r}) = 0$ (patrz r-nie (a') przy $V(\vec{r}) = E$). Zatem (*) nie jest spełnione.

Przykład

Rozważmy przypadek jednowymiarowy: $\Psi(x, t) = \varphi_E(x) e^{-\frac{i}{\hbar} E t}$

$$\hat{H} = -\frac{\hbar^2}{2m} \frac{d^2}{dx^2} + V(x)$$

Niech $V(x)$ i E wyglądają jak na powyższym rysunku.

Znajdziemy przybliżenie WKB dla funkcji $\varphi_E(x)$ w obszarze I ($E > V(x)$) i obszarze II ($E < V(x)$ - obszar niedostępny klasycznie).

Obszar I: Z r-nia (a') mamy $\frac{1}{2m} \left(\frac{d\psi_0}{dx} \right)^2 - (E - V(x)) = 0$

Czyli $\frac{d\psi_0}{dx} = \pm \sqrt{2m(E - V(x))}$

$$\psi_0(x) = \pm \int_a^x \sqrt{2m(E - V(x'))} dx' ; a - \text{dowolna stała}$$

Z r-nia (b'): $\frac{1}{m} \frac{d\psi_0}{dx} \frac{d\psi_1}{dx} = \frac{i}{2m} \frac{d^2}{dx^2} \psi_0$

$$\pm \sqrt{2m(E - V(x))} \frac{d\psi_1}{dx} = \pm \frac{i}{2} \frac{d}{dx} \sqrt{2m(E - V(x))}$$

$$\frac{d\psi_1}{dx} = \frac{i}{2} \frac{\frac{d}{dx} \sqrt{2m(E - V(x))}}{\sqrt{2m(E - V(x))}} = \frac{i}{2} \frac{d}{dx} \ln \left[\sqrt{2m(E - V(x))} \right]$$

$$\psi_1(x) = \frac{i}{2} \ln \left[\sqrt{2m(E - V(x))} \right] + \text{stała dowolna}$$

Zatem $\varphi_E(x) \stackrel{\text{WKB}}{\approx} e^{\frac{i}{\hbar} \left[\pm \int_a^x \sqrt{2m(E - V(x'))} dx' + \frac{i}{2} \hbar \ln \left[\sqrt{2m(E - V(x))} \right] + \text{stała dowolna} \right]}$

$$\varphi_E(x) \stackrel{\text{WKB}}{\approx} \frac{\alpha}{\sqrt{2m(E - V(x))}} e^{\pm \frac{i}{\hbar} \int_a^x \sqrt{2m(E - V(x'))} dx'} ; a, \alpha - \text{stałe}$$

Zauważmy, że w mechanice klasycznej $\sqrt{2m(E-V(x))} = p(x) = \hbar k(x)$ (47)
 Stąd (I) $\psi_E(x) \stackrel{\text{WKB}}{\approx} \frac{\alpha}{\sqrt{p(x)}} e^{\pm i \int_a^x k(x') dx'}$

stała α jest wyznaczona przez warunek normowania $\psi_E(x)$.

Zauważmy, że $|\psi_E(x)|^2 \sim \frac{1}{p(x)}$

Obszar II: Z r-nia (a') mamy $\frac{1}{2m} \left(\frac{d\psi_0}{dx} \right)^2 + (V(x) - E) = 0$

$$\text{czyli } \frac{d\psi_0}{dx} = \pm i \sqrt{2m(V(x) - E)}$$

$$\psi_0(x) = \pm i \int_b^x \sqrt{2m(V(x') - E)} dx' ; \quad b - \text{stała dowolna}$$

Z r-nia (b') : $\pm \frac{1}{m} i \sqrt{2m(V(x) - E)} \frac{d\psi_1}{dx} = \frac{i}{2m} \frac{d}{dx} \left[\pm i \sqrt{2m(V(x) - E)} \right]$

$$\frac{d\psi_1}{dx} = \frac{i}{2} \frac{\frac{d}{dx} \sqrt{2m(V(x) - E)}}{\sqrt{2m(V(x) - E)}} = \frac{d}{dx} \left[\frac{i}{2} \ln \left[\sqrt{2m(V(x) - E)} \right] \right]$$

$$\psi_1(x) = \frac{i}{4} \ln \left[2m(V(x) - E) \right] + \text{stała dowolna}$$

Zatem $\psi_E(x) \stackrel{\text{WKB}}{\approx} e^{\frac{i}{\hbar} \left[\pm i \int_b^x \sqrt{2m(V(x') - E)} dx' + \frac{i\hbar}{4} \ln \left[2m(V(x) - E) \right] + \text{stała dowolna} \right]}$

Określmy $\kappa(x) = \frac{1}{\hbar} \sqrt{2m(V(x) - E)}$ - analogia do $k(x)$

Wtedy

(II) $\psi_E(x) \stackrel{\text{WKB}}{\approx} \frac{\beta}{\sqrt{\kappa(x)}} e^{\pm \int_b^x \kappa(x') dx'}$; b, β - stałe

Zatem rozwiązanie w obszarze I opisuje funkcję oscylującą w przestrzeni. Rozwiązanie w obszarze II opisuje funkcję zanikającą eksponencjalnie (gdzie odwrócimy wzorz. z "+" na podstawie warunku brzegowego $\lim_{x \rightarrow +\infty} \psi_E(x) = 0$). Zauważmy, że syblekty oscylacji funkcji I i zanikania funkcji II zależą od wartości $|E - V(x)|$. Aby otrzymać pełne rozwiązanie zawierające obszar wokół punktu powrotu należy "zstyc" rozwiązania I i II.

1° Równanie Schrödingera i transformacja Galileusza

Zgodnie z zasadą względności r-nie Schrödingera powinny mieć taką samą postać we wszystkich inercjalnych układach odniesienia. Inny mi stopy powinny być niezmiennicze ze względu na transformację Galileusza.

Oznacza to, że jeśli w pewnym układzie inercjalnym U

zachodzi: (*) $i\hbar \frac{\partial}{\partial t} \psi(\vec{r}, t) = \left[-\frac{\hbar^2}{2m} \nabla^2 + V(\vec{r}, t) \right] \psi(\vec{r}, t)$

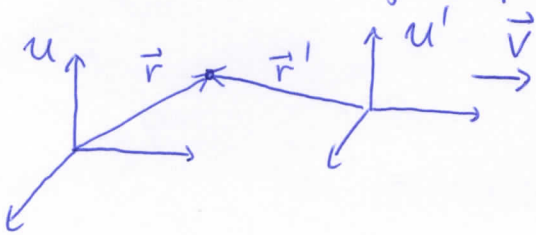
to w układzie U' również zachodzi:

(**) $i\hbar \frac{\partial}{\partial t'} \psi'(\vec{r}', t') = \left[-\frac{\hbar^2}{2m} \nabla'^2 + \tilde{V}(\vec{r}', t') \right] \psi'(\vec{r}', t')$

gdzie \tilde{V} jest potencjałem V widzianym z układu U' , tzn.

$\tilde{V}(\vec{r}', t') = V(\vec{r}' + \vec{v}t', t')$ przy czym (\vec{r}, t) i (\vec{r}', t') są

związane transformacją Galileusza: (G) $\begin{cases} \vec{r}' = \vec{r} - \vec{v}t \\ t' = t \end{cases}$



ψ' jest funkcją falową widzianą z układu U' .

Ponieważ gęstość prawdopodobieństwa znalezienia cząstki w punkcie nie może zależeć od układu odniesienia zatem $|\psi(\vec{r}, t)|^2 = |\psi'(\vec{r}', t')|^2$

Oznacza to, że ψ i ψ' mogą się różnić co najwyżej fazą:

$\psi'(\vec{r}', t') = e^{i\alpha(\vec{r}, t)} \psi(\vec{r}, t) ; \alpha(\vec{r}, t) \in \mathbb{R}$

Ponadto ponieważ $\vec{p}' = \vec{p} - m\vec{v}$ więc $\langle \hat{p} \rangle_{U'} = \langle \hat{p} \rangle_U - m\vec{v}$

gdzie $\langle \hat{p} \rangle_{U'} = \int d^3r' \psi'^*(\vec{r}', t') \hat{p} \psi'(\vec{r}', t')$ - wart. oczekiwana mierzona w U'

$\langle \hat{p} \rangle_U = \int d^3r \psi^*(\vec{r}, t) \hat{p} \psi(\vec{r}, t)$ - wart. oczekiwana mierzona w U

Stąd mamy:

$\int d^3r' \psi'^*(\vec{r}', t') \frac{\hbar}{i} \vec{\nabla}' \psi'(\vec{r}', t') = \left. \frac{d^3r'}{d^3r} \right|_{d^3r'=d^3r} = \int d^3r e^{-i\alpha} \psi^* \frac{\hbar}{i} \vec{\nabla} (e^{i\alpha} \psi) =$

$$= \int d^3r e^{-i\alpha} \varphi^* \left(\frac{\hbar}{i} i \vec{\nabla} \alpha e^{i\alpha} \varphi + \frac{\hbar}{i} \vec{\nabla} \varphi e^{i\alpha} \right) =$$

$$= \int d^3r \left(\hbar \vec{\nabla} \alpha |\varphi|^2 + \varphi^* \frac{\hbar}{i} \vec{\nabla} \varphi \right)$$

ale $\int d^3r \varphi^* (\vec{r}, t) \frac{\hbar}{i} \vec{\nabla} \varphi (\vec{r}, t) = \langle \hat{p} \rangle_u$

Zatem $\int d^3r \hbar \vec{\nabla} \alpha |\varphi(\vec{r}, t)|^2 = -m \vec{V}$ oraz $\int d^3r |\varphi(\vec{r}, t)|^2 = 1$

Czyli $\alpha(\vec{r}, t) = -\frac{1}{\hbar} m \vec{V} \cdot \vec{r} + \tilde{\alpha}(t)$ gdzie $\tilde{\alpha}(t)$ jest tylko funkcją t.

~~Funkcję $\tilde{\alpha}(t)$ możemy obliczyć rozważając ruch cząstki ^{swobodnej} w ustalonej energii. Jeśli w układzie U energia wynosi E, to w układzie U' energia cząstki wynosi~~

Funkcję $\tilde{\alpha}(t)$ możemy wyznaczyć rozważając ruch cząstki swobodnej.

Jeśli w układzie U cząstka ma pęd \vec{p} i energię $E = \frac{p^2}{2m}$,

zn. jest opisywana f. falową $\varphi(\vec{r}, t) = \frac{1}{(2\pi)^{3/2}} e^{\frac{i}{\hbar}(\vec{p} \cdot \vec{r} - \frac{p^2}{2m} t)}$

to w układzie U' funkcja falowa cząstki powinna być postaci:

$$\varphi'(\vec{r}', t') = \frac{1}{(2\pi)^{3/2}} e^{\frac{i}{\hbar}(\vec{p}' \cdot \vec{r}' - \frac{p'^2}{2m} t')}$$

ale ponieważ:
$$\begin{cases} \vec{p}' = \vec{p} - m\vec{V} \\ \vec{r}' = \vec{r} - \vec{V}t \\ t' = t \end{cases}$$

zatem
$$\varphi'(\vec{r}', t') = \frac{1}{(2\pi)^{3/2}} e^{\frac{i}{\hbar}[(\vec{p} - m\vec{V}) \cdot (\vec{r} - \vec{V}t) - \frac{(\vec{p} - m\vec{V})^2}{2m} t]} = \frac{1}{(2\pi)^{3/2}} e^{\frac{i}{\hbar}[\vec{p} \cdot \vec{r} - m\vec{V} \cdot \vec{r} - \vec{p} \cdot \vec{V}t + mV^2 t -$$

$$- \frac{p^2}{2m} + \vec{p} \cdot \vec{V}t - \frac{mV^2}{2} t]} = \frac{1}{(2\pi)^{3/2}} e^{-\frac{i}{\hbar} m \vec{V} \cdot \vec{r} + \frac{i}{\hbar} m \frac{V^2}{2} t} \varphi(\vec{r}, t)$$

czyli $\tilde{\alpha}(t) = \frac{1}{\hbar} \frac{mV^2}{2} t$

Podsumowując:

Jeśli w układzie U ruch cząstki opisywany jest funkcją falową $\varphi(\vec{r}, t)$, to w układzie U' ~~(*)~~ $\varphi'(\vec{r}', t') = e^{\frac{i}{\hbar}[-m\vec{V} \cdot \vec{r} + \frac{mV^2}{2} t]} \varphi(\vec{r}, t)$.

Oczywiście oba układy są inercjalne i transformacja Galileusza pomiędzy nimi dana jest r-niami (G).

Sprawdźmy teraz czy r-nie Schrödingera jest niezmiennicze względem transformacji Galileusza, tzn. czy $\psi'(\vec{r}', t')$ spełnia (**).

$$i\hbar \frac{\partial}{\partial t'} e^{\frac{i}{\hbar}[-m\vec{v}\cdot\vec{r} + \frac{mV^2}{2}t]} \psi(\vec{r}, t) = \left[-\frac{\hbar^2}{2m} \nabla'^2 + \tilde{V}(\vec{r}', t')\right] e^{\frac{i}{\hbar}[-m\vec{v}\cdot\vec{r} + \frac{mV^2}{2}t]} \psi(\vec{r}, t)$$

$$\text{ale } \frac{\partial}{\partial t'} = \frac{\partial}{\partial t} + \frac{\partial}{\partial \vec{r}} \frac{\partial \vec{r}}{\partial t} = \frac{\partial}{\partial t} + \vec{v} \cdot \vec{\nabla}$$

$$\text{oraz } \vec{\nabla}' = \vec{\nabla} \quad ; \quad \tilde{V}(\vec{r}', t') = V(\vec{r}' + \vec{v}t', t') = V(\vec{r}, t)$$

$$\text{Zatem } i\hbar \left(\frac{\partial}{\partial t} + \vec{v} \cdot \vec{\nabla}\right) e^{\frac{i}{\hbar}[-m\vec{v}\cdot\vec{r} + \frac{mV^2}{2}t]} \psi(\vec{r}, t) = \left[-\frac{\hbar^2}{2m} \nabla^2 + V(\vec{r}, t)\right] e^{i\alpha} \psi(\vec{r}, t)$$

$$i\hbar \left[\frac{i}{\hbar} \frac{mV^2}{2} \psi - \frac{i}{\hbar} mV^2 \psi + \frac{\partial \psi}{\partial t} + \vec{v} \cdot \vec{\nabla} \psi\right] e^{\frac{i}{\hbar}[-m\vec{v}\cdot\vec{r} + \frac{mV^2}{2}t]} =$$

$$= -\frac{\hbar^2}{2m} \left[\vec{\nabla} \cdot \left(-\frac{i}{\hbar} m\vec{v}\right) \psi e^{i\alpha} + \vec{\nabla} \psi e^{i\alpha}\right] + V(\vec{r}, t) e^{i\alpha} \psi(\vec{r}, t)$$

$$\left(-\frac{mV^2}{2} \psi + mV^2 \psi + i\hbar \frac{\partial \psi}{\partial t} + i\hbar \vec{v} \cdot \vec{\nabla} \psi\right) e^{i\alpha} =$$

$$= -\frac{\hbar^2}{2m} \left[-2\frac{i}{\hbar} m\vec{v} \cdot \vec{\nabla} \psi + \left(-\frac{i}{\hbar} m\vec{v}\right)^2 \psi + \nabla^2 \psi\right] e^{i\alpha} + V(\vec{r}, t) e^{i\alpha} \psi(\vec{r}, t)$$

$$\frac{mV^2}{2} \psi + i\hbar \frac{\partial \psi}{\partial t} + i\hbar \vec{v} \cdot \vec{\nabla} \psi = i\hbar \vec{v} \cdot \vec{\nabla} \psi + \frac{mV^2}{2} \psi - \frac{\hbar^2}{2m} \nabla^2 \psi + V(\vec{r}, t) \psi$$

$$\text{Czyli } i\hbar \frac{\partial \psi}{\partial t} = -\frac{\hbar^2}{2m} \nabla^2 \psi + V(\vec{r}, t) \psi$$

Ale to jest r-nie (*) spełnione w układzie U.

Zatem r-nie Schrödingera jest niezmiennicze względem transformacji Galileusza przy czym funkcja falowa transformuje się zgodnie z wzorem (***)

20 Transformacja Lorentza

Oznaczenia:

$$\text{Niech } \vec{x}^\mu = (x^0, x^1, x^2, x^3) \quad \text{gdzie } x^0 = ct \quad ; \quad c - \text{prędkość światła.}$$
$$\vec{r} = (x^1, x^2, x^3)$$

Transformacja Lorentza określa ~~związek współrzędnych~~ x^μ związek pomiędzy \vec{x}^μ i $\vec{x}^{\mu'}$ w dwóch inercjalnych układach odniesienia U i U' poruszających się względem siebie z prędkością \vec{v} . Jeśli $|\vec{v}| \ll c$ to transformacja Lorentza przechodzi w transformację Galileusza (G).

Niezmiennikiem transformacji Lorentza jest wielkość: $(ct)^2 - \vec{r} \cdot \vec{r}$ (51)

To znaczy $(ct)^2 - \vec{r} \cdot \vec{r} = (ct')^2 - \vec{r}' \cdot \vec{r}'$

Dlatego wygodnie jest wprowadzić dwa typy wektorów w czterowymiarowej przestrzeni:

$\vec{x}^\mu = (ct, \vec{r})$ - wektor kontrawariantny

$\vec{x}_\mu = (ct, -\vec{r})$ - wektor kowariantny

Wtedy bowiem $\vec{x}^\mu \cdot \vec{x}_\mu = \sum_{\mu=0}^3 x^\mu x_\mu = (ct)^2 - \vec{r} \cdot \vec{r}$ jest niezmiennikiem

Oznaczmy macierz transformacji Lorentza przez L , tzn:

$$\vec{x}^{\mu'} = L \vec{x}^\mu$$

$$\text{czyli } \boxed{x^{\mu'} = \sum_{\nu=0}^3 L_{\mu\nu} x^\nu} \quad (*)$$

Macierz transformacji Lorentza jest macierzą 4×4 zależną od prędkości względnej \vec{v} układów inercjalnych U i U' .

Macierz L jest nieosobliwa i ma wyznacznik równy ± 1 .

Zbadajmy własności transformacyjne \vec{x}_μ . Przypuścimy, że

$$\vec{x}'_\mu = \tilde{L} \vec{x}_\mu \quad \text{czyli} \quad x'_\mu = \sum_{\nu=0}^3 \tilde{L}_{\mu\nu} x_\nu$$

Ponieważ $\vec{x}_\mu \cdot \vec{x}^\mu = \vec{x}'_\mu \cdot \vec{x}'^\mu$ zatem

$$\vec{x}_\mu \cdot \vec{x}^\mu = \sum_{\mu=0}^3 x_\mu x^\mu = \sum_{\mu=0}^3 \sum_{\nu=0}^3 \tilde{L}_{\mu\nu} x_\nu \sum_{\eta=0}^3 L_{\mu\eta} x^\eta$$

Ta równość jest spełniona tylko wtedy gdy $\sum_{\mu=0}^3 \tilde{L}_{\mu\nu} L_{\mu\eta} = \delta_{\nu\eta}$

Czyli $\tilde{L}^T L = I$. Zatem $\tilde{L}^T = L^{-1}$

Zatem wektory \vec{x}_μ transformują się w następujący sposób:

$$\vec{x}'_\mu = (L^{-1})^T \vec{x}_\mu \quad \text{czyli} \quad \boxed{x'_\mu = \sum_{\nu=0}^3 (L^{-1})_{\nu\mu} x_\nu} \quad (**)$$

Terminologia

Wielkości, które nie zmieniają się przy transformacji Lorentza nazywamy skalarami.

Wielkości, które transformują się zgodnie z (*) lub (**), nazywamy czerowektorami.

Przykład

Skalarem jest wielkość $\vec{x}_\mu \cdot \vec{x}^\mu = (ct)^2 - \vec{r} \cdot \vec{r}$ i jej dowolna funkcja.

Czterowektorami są: $\vec{x}_\mu, \vec{x}^\mu, \vec{p}_\mu = (\frac{1}{c}E, -\vec{p}), \vec{p}^\mu = (\frac{1}{c}E, \vec{p})$

Czterowektorem jest również wektor utworzony z potencjałów pola e.m. (czteropotencjał): $\vec{A}^\mu = (\varphi(\vec{r}, t), \vec{A}(\vec{r}, t))$

$$\vec{A}_\mu = (\varphi(\vec{r}, t), -\vec{A}(\vec{r}, t))$$

Zauważmy, że mając dane dwa dowolne czterowektory: \vec{x}^μ i \vec{p}^μ możemy utworzyć skalar: $\vec{x}_\mu \cdot \vec{p}^\mu$

Zatem skalarem jest $\vec{x}^\mu \cdot \vec{p}_\mu = Et - \vec{p} \cdot \vec{r}$

Skalarem jest również $\vec{p}_\mu \cdot \vec{p}^\mu = \frac{1}{c^2} E^2 - p^2 = m_0^2 c^2 = const.$

O tym czy dana wielkość jest skalarem lub czterowektorem można się przekonać bezpośrednim rachunkiem.

Sprawdźmy czy $\vec{\partial}_\mu = (\frac{\partial}{\partial x^0}, \vec{\nabla})$ jest czterowektorem.

Rozważmy $\frac{\partial}{\partial x^\mu}$ w ułt. U' : $\frac{\partial}{\partial x^{\mu'}} = \sum_{\nu=0}^3 \frac{\partial}{\partial x^\nu} \frac{\partial x^\nu}{\partial x^{\mu'}}$

Ale z r-nya (*) $\vec{x}^{\mu'} = L \vec{x}^\mu \Rightarrow \vec{x}^\mu = L^{-1} \vec{x}^{\mu'}$

Czyli $x^\mu = \sum_{\nu=0}^3 (L^{-1})_{\mu\nu} x^{\nu'}$. Zatem $\frac{\partial x^\mu}{\partial x^{\nu'}} = (L^{-1})_{\mu\nu}$

Stąd $\frac{\partial}{\partial x^{\mu'}} = \sum_{\nu=0}^3 (L^{-1})_{\nu\mu} \frac{\partial}{\partial x^\nu}$

Porównując z (*) wiadać, że $\vec{\partial}_\mu$ jest czterowektorem kowariantnym. Analogicznie można pokazać, że $\vec{\partial}^\mu = (\frac{\partial}{\partial x_0}, \frac{\partial}{\partial x_1}, \frac{\partial}{\partial x_2}, \frac{\partial}{\partial x_3}) = (\frac{\partial}{\partial x_0}, -\vec{\nabla})$ jest czterowektorem kontrawariantnym.

Zatem $\vec{\partial}_\mu \cdot \vec{\partial}^\mu$ jest skalarem

Ogólnie: Tensorem rzędu N o n indeksach kowariantnych i m-kontrawariantnych (n+m=N) nazywamy wielkość, która przy zmianie układu inercjalnego transformuje się w następujący sposób:

$$T^{\mu_1 \dots \mu_m}_{\nu_1 \dots \nu_n} = \sum_{\mu'_1, \dots, \mu'_n=0}^3 \sum_{\nu'_1, \dots, \nu'_m=0}^3 (L^{-1})_{\mu'_1 \mu_1} \dots (L^{-1})_{\mu'_n \mu_n} L_{\nu_1 \nu'_1} \dots L_{\nu_m \nu'_m} T^{\nu'_1 \dots \nu'_m}_{\mu'_1 \dots \mu'_n}$$

Zatem skalar jest tensorem zerowego rzędu, a czterowektor tensorem pierwszego rzędu.

3o Równanie Kleina - Gordona

Poszukujemy r-nia, które opisywałoby ruch swobodnej cząstki o masie spoczynkowej m_0 i było niezmiennicze względem transformacji Lorentza.

Rozważmy r-nie: $[\bar{\partial}_\mu \cdot \bar{\partial}^\mu + \alpha] \varphi(\bar{x}^\mu) = 0$, gdzie α jest pewną stałą.

R-nie jest u oczywisty sposób niezmiennicze względem transformacji Lorentza, bo $\bar{\partial}_\mu \cdot \bar{\partial}^\mu$ i α są skalarami.

Ponieważ $\bar{\partial}_\mu \cdot \bar{\partial}^\mu = \frac{\partial^2}{\partial x^0^2} - \nabla^2 = \frac{1}{c^2} \frac{\partial^2}{\partial t^2} - \nabla^2$ zatem mamy:

$$\left[\frac{1}{c^2} \frac{\partial^2}{\partial t^2} - \nabla^2 + \alpha \right] \varphi(\vec{r}, t) = 0$$

Szukamy rozwiązania postaci $\varphi(\vec{r}, t) = e^{\frac{i}{\hbar}(\vec{p} \cdot \vec{r} - Et)}$ - 2 dokładności do stałej normalizacyjnej. Zatem

$$\left[\frac{1}{c^2} \frac{\partial^2}{\partial t^2} - \nabla^2 + \alpha \right] e^{\frac{i}{\hbar}(\vec{p} \cdot \vec{r} - Et)} = \left[\frac{1}{c^2} \left(-\frac{i}{\hbar}\right)^2 E^2 - \left(\frac{i}{\hbar}\right)^2 p^2 + \alpha \right] e^{\frac{i}{\hbar}(\vec{p} \cdot \vec{r} - Et)} = 0$$

Aby r-nie było spełnione musi zachodzić:

$$-\frac{1}{c^2} \frac{1}{\hbar^2} E^2 + \frac{p^2}{\hbar^2} + \alpha = 0$$
$$E^2 = p^2 c^2 + \hbar^2 c^2 \alpha$$

Ponieważ r-nie ma opisywać cząstki o masie m_0 zatem $E^2 = p^2 c^2 + m_0^2 c^4$. To oznacza, że $\hbar^2 c^2 \alpha = m_0^2 c^4$. Czyli $\alpha = \left(\frac{m_0 c}{\hbar}\right)^2$

Zatem ostatecznie szukane r-nie ma postać:

$$(*) \left[\frac{1}{c^2} \frac{\partial^2}{\partial t^2} - \nabla^2 + \left(\frac{m_0 c}{\hbar}\right)^2 \right] \varphi(\vec{r}, t) = 0$$

lub: $[\bar{\partial}_\mu \cdot \bar{\partial}^\mu + \left(\frac{m_0 c}{\hbar}\right)^2] \varphi(\bar{x}^\mu) = 0$

Równanie (*) nazywa się r-niem Kleina - Gordona.

Problem I

Równanie (*) oprócz rozwiązania o energii $E_p = \sqrt{p^2 c^2 + m_0^2 c^4} > 0$ ma również rozwiązanie odpowiadające $E_p = -\sqrt{p^2 c^2 + m_0^2 c^4} < 0$

Czyli mamy: $\psi_{\pm}(\vec{r}, t) = e^{\frac{i}{\hbar}(\vec{p} \cdot \vec{r} \mp |E_p| t)}$

Jaka jest interpretacja fizyczna rozwiązania $\psi_-(\vec{r}, t)$?

Problem II

Wyprowadźmy r-nie ciągłości.

Z r-nia (*) mamy: $\psi^*(\vec{r}, t) \left[\vec{\partial}_{\mu} \vec{\partial}^{\mu} + \left(\frac{m_0 c}{\hbar}\right)^2 \right] \psi(\vec{r}, t) = 0$
 $\psi(\vec{r}, t) \left[\vec{\partial}_{\mu} \vec{\partial}^{\mu} + \left(\frac{m_0 c}{\hbar}\right)^2 \right] \psi^*(\vec{r}, t) = 0$

Odejmując r-nia stronami otrzymujemy:

$$\frac{1}{c^2} \psi^* \frac{\partial^2}{\partial t^2} \psi - \frac{1}{c^2} \psi \frac{\partial^2}{\partial t^2} \psi^* - \psi^* \nabla^2 \psi + \psi \nabla^2 \psi^* = 0$$

$$\frac{1}{c} \frac{\partial}{\partial t} \left(\frac{1}{c} \psi^* \frac{\partial \psi}{\partial t} - \frac{1}{c} \psi \frac{\partial \psi^*}{\partial t} \right) - \vec{\nabla} \cdot (\psi^* \vec{\nabla} \psi - \psi \vec{\nabla} \psi^*) = 0 \quad \left| \frac{\hbar}{2m_0 i} \right.$$

$$\frac{1}{c} \frac{\partial}{\partial t} \left(\frac{\hbar}{2m_0 c i} \left[\psi^* \frac{\partial \psi}{\partial t} - \psi \frac{\partial \psi^*}{\partial t} \right] \right) - \vec{\nabla} \cdot \vec{j} = 0$$

gdzie $\vec{j}(\vec{r}, t) = \frac{\hbar}{2m_0 i} \left[\psi^*(\vec{r}, t) \vec{\nabla} \psi(\vec{r}, t) - \psi(\vec{r}, t) \vec{\nabla} \psi^*(\vec{r}, t) \right]$

Zatem wielkość $\frac{i\hbar}{2m_0 c^2} \left(\psi^* \frac{\partial \psi}{\partial t} - \psi \frac{\partial \psi^*}{\partial t} \right)$ powinniśmy ufoisamiać z gęstością p-stru $g(\vec{r}, t)$.

Wtedy otrzymujemy: $\boxed{\frac{\partial g}{\partial t} + \vec{\nabla} \cdot \vec{j} = 0}$

Lub w zapisie relatywistycznie niezmienniczym: $\boxed{\vec{\partial}_{\mu} \vec{j}^{\mu} = 0}$ (**)

gdzie $j^0 = c g(\vec{r}, t) = \frac{i\hbar}{2m_0 c} \left(\psi^* \frac{\partial \psi}{\partial t} - \psi \frac{\partial \psi^*}{\partial t} \right)$

oraz $\vec{j}^{\mu} = (j^0, \vec{j})$

Zauważmy, że z niezmienniczości r-nie K-G względem transformacji

Lorentza wynika, że (ψ) jest spełnione w każdym inercyjnym ukł. odniesienia. To oznacza, że wielkość \vec{j} jest czterowektorem (czteroprzed).

Problem polega na tym, że ponieważ r -nie K-G jest r -niem różniczkowym drugiego rzędu względem czasu więc $\frac{\partial \psi}{\partial t}$ i $\frac{\partial \psi^*}{\partial t}$ są dowolne. To oznacza, że $g(\vec{r}, t)$ nie jest dodatnio określona. Nie można jej zatem interpretować jako gęstości prawdopodobieństwa.

Interpretacja (Pauli & Weisskopf)

Zauważmy, że w przejściu do r -nia Schrödingera, które zawiera czynnik "i" r -nie K-G jest rzeczywiste. To oznacza, że r -nie K-G może być spełnione przez funkcje rzeczywiste i funkcje zespolone.

Rozwiązania rzeczywiste r -nia K-G opisują cząstki bezspinowe i nielatające.

Rozwiązania zespolone opisują cząstki bezspinowe i latające przy czym rozwiązanie typu ψ_+ opisują cząstki o ładunku +e, a rozwiązanie ψ_- - cząstki o ładunku -e.

Wielkość $e g(\vec{r}, t)$ ma sens gęstości ładunku, a wielkość $e \vec{j}(\vec{r}, t)$ - gęstości prądu elektrycznego.

Zatem ogólne rozwiązanie opisujące ruch cząstki o ładunku $\pm e$ ma postać:

$$\psi_{\pm}(\vec{r}, t) = \int d^3p f_{\pm}(\vec{p}) e^{\frac{i}{\hbar}(\vec{p} \cdot \vec{r} \mp |E_p|t)} ; |E_p| = \sqrt{p^2 c^2 + m_0^2 c^4}$$

Wtedy

$$e g_{\pm}(\vec{r}, t) = \frac{ite}{2m_0 c^2} \left[\psi_{\pm}^* \frac{\partial \psi_{\pm}}{\partial t} - \psi_{\pm} \frac{\partial \psi_{\pm}^*}{\partial t} \right] =$$

$$= \frac{i e \hbar}{2 m_0 c^2} \left[\int d^3 p |f_{\pm}(\vec{p})|^2 \left(\mp \frac{i}{\hbar} |E_p| \mp \frac{i}{\hbar} |E_p| \right) \right] =$$

$$= \pm \frac{e}{m_0 c^2} \int d^3 p |f_{\pm}(\vec{p})|^2 |E_p|$$

Kwestia normalizacji

Ponieważ wielkość $g(\vec{r}, t)$ utożsamiamy z gęstością ładunku, to wielkość $Q = e \int_V d^3 r g(\vec{r}, t)$ ma sens ładunku elektrycznego zamkniętego w objętości V .

Jeżeli wiemy, że w objętości V w pewnej chwili czasu znajduje się cząstka o ładunku $\pm e$ to:

$$\pm e = e \int_V d^3 r g(\vec{r}, t) = \pm \frac{e}{m_0 c^2} \int_V d^3 r \int d^3 p |f_{\pm}(\vec{p})|^2 |E_p|$$

Czyli $1 = \frac{V}{m_0 c^2} \int d^3 p |f_{\pm}(\vec{p})|^2 |E_p|$

Stąd widać, że wygodnie jest wybrać normalizację postaci:

$$\boxed{\varphi_{\pm}(\vec{r}, t) = \int d^3 p a_{\pm}(\vec{p}) \sqrt{\frac{m_0 c^2}{V |E_p|}} e^{\frac{i}{\hbar}(\vec{p} \cdot \vec{r} \mp |E_p| t)}$$

Wtedy $Q = \pm e = \int_V d^3 r e g(\vec{r}, t)$ i $\int d^3 p |a_{\pm}(\vec{p})|^2 = 1$

Zauważmy, że wzruszenie opisujące cząstkę nielocadowane otrzymujemy jako:

$$\varphi_0(\vec{r}, t) = \int d^3 p \frac{1}{\sqrt{2}} \sqrt{\frac{m_0 c^2}{V |E_p|}} \left(a_+(\vec{p}) e^{\frac{i}{\hbar}(\vec{p} \cdot \vec{r} - |E_p| t)} + a_-(\vec{p}) e^{\frac{i}{\hbar}(\vec{p} \cdot \vec{r} + |E_p| t)} \right)$$

przy warunku $a_+(\vec{p}) = a_-(\vec{p}) = a_0(\vec{p})$

$$\boxed{\varphi_0(\vec{r}, t) = \int d^3 p \sqrt{\frac{2 m_0 c^2}{V |E_p|}} a_0(\vec{p}) \cos \left[\frac{1}{\hbar} (\vec{p} \cdot \vec{r} - |E_p| t) \right]}$$

Oddziaływanie z polem elektromagnetycznym

(57)

Zauważmy, że ponieważ $\vec{A}^\mu = (\varphi, \vec{A})$ jest czterowektorem to naturalnym uogólnieniem r -nia $K-G$, tak aby opisywało oddziaływanie z polem e.m. i jednocześnie zachowało niezmienniczość względem $tr.$ Lorentza jest r -nie:

$$\left[(\vec{\partial}_\mu + \alpha \vec{A}_\mu) \cdot (\vec{\partial}^\mu + \alpha \vec{A}^\mu) + \left(\frac{m_0 c}{\hbar} \right)^2 \right] \psi(\vec{x}^\mu) = 0$$

gdzie α jest stałą

Równanie jest niezmiennicze względem $tr.$ Lorentza, bo $\vec{\partial}^\mu + \alpha \vec{A}^\mu$ jest sumą czterowektorów, czyli czterowektorem. Stałą α wyznaczamy z warunku, że w obecności pola e.m.

$$\vec{p} \rightarrow \vec{p} - \frac{e}{c} \vec{A}$$

Ponieważ $\hat{p} = \frac{\hbar}{i} \vec{\nabla}$ czyli $\hat{p} - \frac{e}{c} \vec{A} = \frac{\hbar}{i} \left(\vec{\nabla} - \frac{ie}{\hbar c} \vec{A} \right)$

Pamiętając, że $\vec{\partial}_\mu = \left(\frac{1}{c} \frac{\partial}{\partial t}, \vec{\nabla} \right)$ i $\vec{A}_\mu = (\varphi, -\vec{A})$ widać, że

$$\alpha = \frac{ie}{\hbar c}$$

Zatem mamy:
$$\left[\left(\vec{\partial}_\mu + \frac{ie}{\hbar c} \vec{A}_\mu \right) \cdot \left(\vec{\partial}^\mu + \frac{ie}{\hbar c} \vec{A}^\mu \right) + \left(\frac{m_0 c}{\hbar} \right)^2 \right] \psi(\vec{x}^\mu) = 0$$

$$\left[\left(\partial_0 + \frac{ie}{\hbar c} A_0 \right) \left(\partial^0 + \frac{ie}{\hbar c} A^0 \right) + \left(\vec{\nabla} - \frac{ie}{\hbar c} \vec{A} \right) \cdot \left(-\vec{\nabla} + \frac{ie}{\hbar c} \vec{A} \right) + \left(\frac{m_0 c}{\hbar} \right)^2 \right] \psi(\vec{x}^\mu) = 0$$

ale $\partial_0 = \partial^0 = \frac{1}{c} \frac{\partial}{\partial t}$ i $A^0 = A_0 = \varphi(\vec{r}, t)$ zatem

$$\boxed{\left[\frac{1}{c^2} \left(\frac{\partial}{\partial t} + \frac{ie}{\hbar} \varphi(\vec{r}, t) \right)^2 - \left(\vec{\nabla} - \frac{ie}{\hbar c} \vec{A}(\vec{r}, t) \right)^2 + \left(\frac{m_0 c}{\hbar} \right)^2 \right] \psi(\vec{r}, t) = 0} \quad (*)$$

R-nie (*) opisuje ruch natychmiastowej, bezspinowej cząstki w polu e.m.

Zauważmy, że po wstąpieniu pola e.m. funkcja $\psi(\vec{r}, t)$ musi być zespolona.

Równanie K-G jest r-niem inwariantnym drugiego rzędu względem czasu. Czy można utworzyć r-nie pierwszego rzędu, niezmiennicze względem transformacji Lorentza.

Rozważmy r-nie:

$$(*) [\alpha \vec{\gamma}^\mu \cdot \vec{\partial}_\mu + \beta] \Phi(\vec{x}^\mu) = 0$$

Jeśli α i β są stałymi, a $\vec{\gamma}^\mu$ jest czterowektorem to (*) jest w sposób oczywisty niezmiennicze względem transformacji Lorentza. Ponieważ (*) powinno opisywać ruch cząstki swobodnej więc szukamy rozwiązania w postaci:

$$\Phi(\vec{x}^\mu) = e^{\mp \frac{i}{\hbar} \vec{p}_\mu \cdot \vec{x}^\mu} = e^{\pm \frac{i}{\hbar} (\vec{p} \cdot \vec{r} - Et)}$$

Podstawiając do r-nia (*) otrzymujemy (pamiętając, że $\vec{\partial}_\mu = \frac{\partial}{\partial \vec{x}^\mu}$):

$$\left[\mp \frac{i}{\hbar} \alpha \vec{\gamma}^\mu \cdot \vec{p}_\mu + \beta \right] e^{\mp \frac{i}{\hbar} \vec{p}_\mu \cdot \vec{x}^\mu} = 0$$

Zatem musi zachodzić: $\mp \frac{i}{\hbar} \alpha \vec{\gamma}^\mu \cdot \vec{p}_\mu + \beta = 0 \quad \left| \left(\frac{\pm i}{\hbar} \alpha \vec{\gamma}^\mu \cdot \vec{p}_\mu + \beta \right) \right.$

Czyli $\frac{1}{\hbar^2} \alpha^2 (\vec{\gamma}^\mu \cdot \vec{p}_\mu)(\vec{\gamma}^\mu \cdot \vec{p}_\mu) + \beta^2 = 0$

$$\frac{1}{\hbar^2} \alpha^2 \sum_{\mu, \nu=0}^3 \gamma^\mu p_\mu \gamma^\nu p_\nu + \beta^2 = 0$$

$$\frac{1}{\hbar^2} \alpha^2 \frac{1}{2} \sum_{\mu, \nu=0}^3 (\gamma^\mu p_\mu \gamma^\nu p_\nu + \gamma^\nu p_\nu \gamma^\mu p_\mu) + \beta^2 = 0$$

$$\frac{1}{\hbar^2} \alpha^2 \frac{1}{2} \sum_{\mu, \nu=0}^3 (\gamma^\mu \gamma^\nu + \gamma^\nu \gamma^\mu) p_\mu p_\nu + \beta^2 = 0$$

Ponieważ w mechanice relatywistycznej musi zachodzić związek:

$$\vec{p}_\mu \cdot \vec{p}^\mu = \frac{E^2}{c^2} - p^2 = m_0^2 c^2$$

zatem otrzymane r-nie daje ~~związek~~ warunki na $\vec{\gamma}^\mu$ oraz α i β .

Zauważmy, że jeśli :

$$(**) \boxed{\gamma^\mu \gamma^\nu + \gamma^\nu \gamma^\mu = 2g_{\mu\nu}}$$

gdzie $g = \begin{bmatrix} 1 & & 0 \\ & -1 & \\ 0 & & -1 & \\ & & & -1 \end{bmatrix}$

to otrzymamy: $\frac{1}{\hbar^2} \alpha^2 (p_0^2 - \vec{p} \cdot \vec{p}) + \beta^2 = 0$

$$\frac{1}{\hbar^2} \alpha^2 \left(\frac{E^2}{c^2} - p^2 \right) + \beta^2 = 0$$

$$\frac{1}{\hbar^2} \alpha^2 m_0^2 c^2 + \beta^2 = 0$$

Stąd α i β możemy wybrać na wiele sposobów (uciny jest tylko stosunek α/β , który jest ustalony). Przyjmuje się :

$$\alpha = i\hbar, \beta = -m_0 c$$

Zatem r-nie (v) ostatecznie przyjmuje postać :

$$(***) [i\hbar \vec{\gamma}^\mu \cdot \vec{\partial}_\mu - m_0 c] \Phi(\vec{x}^\mu) = 0$$

przy czym $\vec{\gamma}^\mu$ jest czterowektorem, którego elementy spełniają warunki (**). R-nie (***) nazywa się r-aniem Diraca.

Zauważmy, że warunki (**) implikują, że elementy czterowektora $\vec{\gamma}^\mu = (\gamma^0, \gamma^1, \gamma^2, \gamma^3)$ nie mogą być liczbami. Z (**) wynika bowiem że $\gamma^\mu \gamma^\nu = -\gamma^\nu \gamma^\mu$ dla $\mu \neq \nu$.

Warunki (**) spełnione przez obiekty γ^μ noszą nazwę algebry Clifforda.

Okazuje się, że obiekty γ^μ mają reprezentację macierową przy czym najmniejszymi macierzami spełniającymi warunki (**) są macierze 4×4 .

Macierze γ^μ nazywamy macierzami gamma.

(60)

Macierze γ^μ spełniające algebra Clifforda $\{\gamma^\mu, \gamma^\nu\}$ nie są wyznaczone jednoznacznie. Przyjmijmy, że γ^μ spełniają $\{\gamma^\mu, \gamma^\nu\}$ oraz że S jest ~~odwracalna~~ ^{odwracalna} macierzą (istnieje S^{-1}) o tym samym rozmiarze co macierze γ^μ .

Zdefiniujmy $\gamma^{\mu'} = S \gamma^\mu S^{-1}$.

$$\begin{aligned} \text{Wtedy } \gamma^{\mu'} \gamma^{\nu'} + \gamma^{\nu'} \gamma^{\mu'} &= S \gamma^\mu S^{-1} S \gamma^\nu S^{-1} + \\ &+ S \gamma^\nu S^{-1} S \gamma^\mu S^{-1} = S (\gamma^\mu \gamma^\nu + \gamma^\nu \gamma^\mu) S^{-1} = \\ &= 2 S g_{\mu\nu} S^{-1} = 2 g_{\mu\nu} S S^{-1} = 2 g_{\mu\nu} \end{aligned}$$

Zatem macierze $\gamma^{\mu'}$ również spełniają $\{\gamma^\mu, \gamma^\nu\}$.

W szczególnej formie macierze γ^μ wyrażają się przez macierze Pauliego: $\sigma_1 = \begin{pmatrix} 0 & 1 \\ 1 & 0 \end{pmatrix}$, $\sigma_2 = \begin{pmatrix} 0 & -i \\ i & 0 \end{pmatrix}$, $\sigma_3 = \begin{pmatrix} 1 & 0 \\ 0 & -1 \end{pmatrix}$.

Mianowicie:

$$(D) \quad \gamma^0 = \begin{bmatrix} I & 0 \\ 0 & -I \end{bmatrix}, \quad \gamma^i = \begin{bmatrix} 0 & \sigma_i \\ -\sigma_i & 0 \end{bmatrix}, \quad i=1,2,3$$

gdzie $I = \begin{pmatrix} 1 & 0 \\ 0 & 1 \end{pmatrix}$ - macierz jednostkowa.

Spełnienie warunków $\{\gamma^\mu, \gamma^\nu\}$ wynika uprost z własności macierzy Pauliego.

$$\text{Naprzykład: } (\gamma^0)^2 + (\gamma^0)^2 = 2 \begin{bmatrix} I & 0 \\ 0 & I \end{bmatrix} = 2I$$

$$(\gamma^i)^2 + (\gamma^i)^2 = 2(\gamma^i)^2 = 2 \begin{bmatrix} -(\sigma_i)^2 & 0 \\ 0 & -(\sigma_i)^2 \end{bmatrix} = -2I, \quad i=1,2,3$$

$$\gamma^i \gamma^j + \gamma^j \gamma^i = \begin{bmatrix} -\sigma_i \sigma_j - \sigma_j \sigma_i & 0 \\ 0 & -\sigma_i \sigma_j - \sigma_j \sigma_i \end{bmatrix} = 0, \quad \text{bo } \sigma_i \sigma_j + \sigma_j \sigma_i = 0 \text{ dla } i=1,2,3.$$

Sprawdzić u doświ. [Szczególną reprezentacją (D) nazywamy]
reprezentacją Diraca

Oznaczenie (Feynman) : $A = \vec{\gamma} \cdot \vec{A}_\mu$

W takim zapisie γ -nie Diraca ma postać : $[\gamma^0 \not{\partial} - m_0 c] \Phi(\vec{x}, \mu) = 0$.

Zauważmy, że ponieważ $(*)$ jest spełnione przez macierze, to γ -nie Diraca jest tak naprawdę układem (przynajmniej czterech) równań różniczkowych. Czyli $\Phi(\vec{x}, \mu) = \begin{bmatrix} \psi_1(\vec{x}, \mu) \\ \psi_2(\vec{x}, \mu) \\ \vdots \end{bmatrix}$

Równanie Diraca zostało zaproponowane, aby wyjaśnić właściwości cząstek o spinie $\frac{1}{2} \hbar$ (w szczególności elektronu) i oddziaływania takich cząstek z polem e.m. (patrz: anomalny efekt Zeemana - MKI).

W dalszym ciągu ograniczymy się do reprezentacji czterowymiarowych macierzy gamma. Wtedy:

$$(***) \Phi(\vec{x}, \mu) = \begin{bmatrix} \psi_1(\vec{x}, \mu) \\ \psi_2(\vec{x}, \mu) \\ \psi_3(\vec{x}, \mu) \\ \psi_4(\vec{x}, \mu) \end{bmatrix}$$

Uwaga: Mimo że Φ posiada 4 składowiki to nie jest czterowektorem.

Pytanie podstawowe: Czy f. falowa $(****)$ spełniająca γ -nie Diraca ma szansę opisywać poprawnie cząstkę o spinie $\frac{1}{2} \hbar$, skoro wiemy że takie cząstki wymagają raczej f. falowej w postaci spinora (patrz. MKI): $\psi(\vec{r}, t) = \begin{bmatrix} \psi_+(\vec{r}, t) \\ \psi_-(\vec{r}, t) \end{bmatrix}$?

W tym celu uważamy γ -nie Diraca dla cząstki swobodnej o czteropędzie \vec{p}_μ w układzie odniesienia, w którym cząstka spoczywa. Wtedy $\vec{p}_\mu = (\frac{E}{c}, 0, 0, 0) = (m_0 c, 0, 0, 0)$ [bo $(\frac{E}{c})^2 - p_{||}^2 = m_0^2 c^2$]

W takim przypadku:

$$\Phi(\vec{x}, t) = \begin{bmatrix} \psi_1 \\ \psi_2 \\ \psi_3 \\ \psi_4 \end{bmatrix} e^{\frac{i}{\hbar}(\vec{p}\cdot\vec{r} - Et)} = \begin{bmatrix} \psi_1 \\ \psi_2 \\ \psi_3 \\ \psi_4 \end{bmatrix} e^{-\frac{i}{\hbar}Et} = \begin{bmatrix} \psi_1 \\ \psi_2 \\ \psi_3 \\ \psi_4 \end{bmatrix} e^{-\frac{i}{\hbar}p_0 x^0}$$

Podstawiając do r-ua Diraca mamy:

$$\left[i\hbar \left(-\frac{i}{\hbar} \right) \gamma^0 p_0 - m_0 c \right] \Phi(\vec{x}, t) = 0$$

ponieważ $p_0 = m_0 c$ zatem

$$m_0 c [\gamma^0 - 1] \Phi(\vec{x}, t) = 0$$

Ale w reprezentacji Diraca $\gamma^0 - 1 = \begin{bmatrix} 0 & 0 & 0 \\ 0 & -2 & -2 \end{bmatrix} \otimes \mathbb{1}$

oznacza, że tylko ψ_1 i ψ_2 mogą być różne od zera, tzn.

$$\Phi(\vec{x}, t) = \begin{bmatrix} \psi_1 \\ \psi_2 \\ 0 \\ 0 \end{bmatrix} e^{-\frac{i}{\hbar}Et}$$

Czyli w układzie odniesienia, w którym cząstka spoczywa funkcja falowa wygląda jak spinor.

Oznacza to również, że w dowolnym układzie odniesienia f. falowa ma co prawda w ogólności 4 składowiki, ale tylko dwa z nich są niezależne.

(podobnieństwo: patrz polaryzacja fali e.m.).

~~Czyli cząstka ma dodatkowy niezależny stopień swobody:~~

~~$$\Phi(\vec{x}, t) = \Phi_+(\vec{x}, t) \begin{bmatrix} 1 \\ 0 \\ \psi_3 \\ \psi_4 \end{bmatrix} + \Phi_-(\vec{x}, t) \begin{bmatrix} 0 \\ 1 \\ \psi_3 \\ \psi_4 \end{bmatrix}$$~~

Równanie ciągłości

(63)

Rozważmy Γ -nie Diraca i Γ -nie hermitowsko sprzężone:

$$[i\hbar \vec{\gamma}^\mu \cdot \vec{\partial}_\mu - m_0 c] \Phi(\vec{x}, t) = 0$$

$$-i\hbar \partial_\mu \Phi^\dagger(\vec{x}, t) \cdot \vec{\gamma}^{\mu\dagger} - m_0 c \Phi^\dagger(\vec{x}, t) = 0$$

Pomnożymy pierwsze Γ -nie z lewej strony przez Φ^\dagger , a drugie przez Φ ^{z prawej} odejmijmy stronami.

$$\begin{aligned} & \Phi^\dagger [i\hbar \vec{\gamma}^\mu \cdot \vec{\partial}_\mu \Phi - m_0 c \Phi] + i\hbar \partial_\mu \Phi^\dagger \cdot (\gamma^\mu)^\dagger \Phi + m_0 c \Phi^\dagger \Phi = \\ & = i\hbar \Phi^\dagger \vec{\gamma}^\mu \cdot \vec{\partial}_\mu \Phi + i\hbar \partial_\mu \Phi^\dagger \cdot (\gamma^\mu)^\dagger \Phi = 0 \end{aligned}$$

Zauważmy jednak, że $\gamma^0 = (\gamma^0)^\dagger$ i $-\gamma^i = (\gamma^i)^\dagger$; $i = 1, 2, 3$
(wynika to bezpośrednio z reprezentacji Diraca macierzy gamma).
Widać więc, że z uwagi na antyhermitowskość macierzy γ^i
nie można powyższego Γ -nia zapisać w postaci:

$$\Phi^\dagger \gamma^\mu \cdot \partial_\mu \Phi + \partial_\mu \Phi^\dagger \cdot (\gamma^\mu)^\dagger \Phi \neq \partial_\mu (\Phi^\dagger \gamma^\mu \Phi)$$

Zauważmy jednak, że $(\gamma^\mu)^\dagger = \gamma^0 \gamma^\mu \gamma^0$ zatem jeśli zamiast Φ^\dagger użyjemy $\bar{\Phi} = \Phi^\dagger \gamma^0$ to otrzymamy:

$$\bar{\Phi} [i\hbar \vec{\gamma}^\mu \cdot \vec{\partial}_\mu - m_0 c] \Phi = 0$$

i Γ -nie hermitowsko sprzężone:

$$[-i\hbar \vec{\partial}_\mu \Phi^\dagger \cdot (\vec{\gamma}^\mu)^\dagger - m_0 c \Phi^\dagger] \bar{\Phi}^\dagger = 0$$

$$\begin{aligned} \text{Czyli } & -i\hbar \vec{\partial}_\mu \Phi^\dagger \cdot (\vec{\gamma}^\mu)^\dagger (\gamma^0)^\dagger \bar{\Phi} - m_0 c \Phi^\dagger (\gamma^0)^\dagger \bar{\Phi} = \left\{ \begin{array}{l} \gamma^{\mu\dagger} \gamma^0 = \\ \gamma^0 \gamma^\mu \gamma^0 \gamma^0 = \gamma^0 \gamma^\mu \end{array} \right. \\ & = -i\hbar \vec{\partial}_\mu \Phi^\dagger \gamma^0 \cdot \vec{\gamma}^\mu \bar{\Phi} - m_0 c \bar{\Phi} \bar{\Phi} = \\ & = -i\hbar \vec{\partial}_\mu \bar{\Phi} \cdot \vec{\gamma}^\mu \Phi - m_0 c \bar{\Phi} \Phi = 0 \end{aligned}$$

Odejmując te r-nie stronami otrzymujemy:

$$\bar{\Phi} i\hbar \vec{\gamma}^\mu \cdot \vec{\partial}_\mu \Phi + i\hbar \partial_\mu \bar{\Phi} \cdot \vec{\gamma}^\mu \Phi = 0$$

Czyli $i\hbar \vec{\partial}_\mu \cdot (\bar{\Phi} \vec{\gamma}^\mu \Phi) = 0$

Zatem jeśli zdefiniujemy: $\vec{j}^\mu = \bar{\Phi} \vec{\gamma}^\mu \Phi$ to otrzymujemy r-nie ciągłości

$$\boxed{\vec{\partial}_\mu \cdot \vec{j}^\mu = 0}$$

Ponieważ r-nie zostało wyprowadzone dla dowolnego układu odniesienia więc \vec{j}^μ jest czterowektorem (bo $\vec{\partial}_\mu \cdot \vec{j}^\mu$ musi być skalarzem).

Ponadto ponieważ $\vec{\gamma}^\mu$ jest 2 złożenia czterowektorem więc wielkość $\bar{\Phi} \Phi$ jest skalarzem.

$$j^0 = \bar{\Phi} \gamma^0 \Phi = \Phi^\dagger \gamma^0 \gamma^0 \Phi = \bar{\Phi} \Phi = \sum_{k=1}^4 |\varphi_k|^2$$

gdzie $\Phi(\vec{x}^\mu) = \begin{bmatrix} \varphi_1(\vec{x}^\mu) \\ \varphi_2(\vec{x}^\mu) \\ \varphi_3(\vec{x}^\mu) \\ \varphi_4(\vec{x}^\mu) \end{bmatrix}$

Widać że teraz j^0 ma sens gęstości p-stra bo jest dodatnio określona.

Oddziaływanie e.m.

Analogicznie do r-nia K-G spodziewamy się że r-nie Diraca w obecności pola e.m. ma postać:

$$[i\hbar \vec{\gamma}^\mu \cdot (\vec{\partial}_\mu + \alpha \vec{A}_\mu) - m_0 c] \Phi(\vec{x}^\mu) = 0$$

gdzie $\vec{A}_\mu = (\varphi, -\vec{A})$ i α jest pewną stałą.

Pamiętając, że w obecności pola e.m. $\vec{p} \rightarrow \vec{p} - \frac{e}{c} \vec{A}$

Czyli $\hat{p} \rightarrow \hat{p} - \frac{e}{c} \vec{A} = \frac{\hbar}{i} \vec{\nabla} - \frac{e}{c} \vec{A} = \frac{\hbar}{i} (\vec{\nabla} - \frac{ie}{\hbar c} \vec{A})$

Zatem widać że $\alpha = \frac{ie}{\hbar c}$

Czyli otrzymujemy:

$$(*) \left[i\hbar \vec{\gamma}^\mu \cdot \left(\vec{\partial}_\mu + \frac{ie}{\hbar c} \vec{A} \right) - m_0 c \right] \Phi(\vec{x}, \mu) = 0$$

R-nie (*) opisuje czystkę o spinie $\frac{1}{2}$ w polu e.m.

Rozważmy teraz r-nie sprzężone do (*):

$$(**) \left[-i\hbar \vec{\gamma}^{\mu*} \cdot \left(\vec{\partial}_\mu - \frac{ie}{\hbar c} \vec{A} \right) - m_0 c \right] \Phi^*(\vec{x}, \mu) = 0$$

Zauważmy, że $-\vec{\gamma}^{\mu*}$ też spełnia algebra Clifforda, bo

$$(\gamma^\mu \gamma^\nu + \gamma^\nu \gamma^\mu)^* = (2g_{\mu\nu})^*$$

$$(-\gamma^{\mu*})(-\gamma^{\nu*}) + (-\gamma^{\nu*})(-\gamma^{\mu*}) = 2g_{\mu\nu}$$

Zdefiniujemy zatem macierz S taką że $-\gamma^{\mu*} = S \gamma^\mu S^{-1}$

Podstawiając do r-nia (**) mamy:

$$\left[i\hbar S \gamma^\mu S^{-1} \cdot \left(\vec{\partial}_\mu - \frac{ie}{\hbar c} \vec{A} \right) - m_0 c S S^{-1} \right] \Phi^*(\vec{x}, \mu) = 0$$

$$S \left[i\hbar \gamma^\mu \cdot \left(\vec{\partial}_\mu - \frac{ie}{\hbar c} \vec{A} \right) - m_0 c \right] \Phi_c(\vec{x}, \mu) = 0$$

Czyli ostatecznie:

$$(***) \left[i\hbar \vec{\gamma}^\mu \cdot \left(\vec{\partial}_\mu - \frac{ie}{\hbar c} \vec{A} \right) - m_0 c \right] \Phi_c(\vec{x}, \mu) = 0$$

gdzie $\Phi_c(\vec{x}, \mu) = S^{-1} \Phi^*(\vec{x}, \mu)$ (****)

Zatem f. falowa Φ_c opisuje czystkę o spinie $\frac{1}{2}$ i masie m_0 , ale przeciwnym ładunkiem -e.

Zatem podobnie jak w r-niu K-G r-nie Diraca również przewiduje istnienie czystek o tej samej masie i przeciwnym ładunku. Mimo, że w przypadku r-nia Diraca doszliśmy do tego wniosku w inny sposób niż dla r-nia K-G, to w obu przypadkach przyczyną zachodzenia tego zjawiska jest istnienie dwóch rodzajów czyst. o energiiach $\pm E$.

Zasada zachowania momentu pędu

65a

Rozważmy r-nię Diraca dla cząstki swobodnej:

$$[i\hbar \vec{\sigma} \cdot \vec{\nabla} - m_0 c] \Phi(\vec{x}, t) = 0$$

gdzie $\sigma^0 = \begin{bmatrix} I & 0 \\ 0 & -I \end{bmatrix}$; $\sigma^i = \begin{bmatrix} 0 & \vec{\sigma}_i \\ -\vec{\sigma}_i & 0 \end{bmatrix}$; $\vec{\sigma} = (\frac{\partial}{\partial x}, \vec{\nabla})$

Przepiszmy to r-nię w formie przypominającej r-nię Schrödingera:

$$i\hbar \frac{\partial}{\partial t} \Phi = \hat{H} \Phi$$

Mamy

$$\left(i\hbar \begin{bmatrix} \frac{\partial}{\partial t} & 0 \\ 0 & -\frac{\partial}{\partial t} \end{bmatrix} + i\hbar \begin{bmatrix} 0 & \vec{\sigma} \cdot \vec{\nabla} \\ -\vec{\sigma} \cdot \vec{\nabla} & 0 \end{bmatrix} - \begin{bmatrix} m_0 c & 0 \\ 0 & m_0 c \end{bmatrix} \right) \Phi(\vec{x}, t) = 0$$

$$i\hbar \begin{bmatrix} \frac{\partial}{\partial t} & 0 \\ 0 & -\frac{\partial}{\partial t} \end{bmatrix} \Phi(\vec{x}, t) = \left(i\hbar c \begin{bmatrix} 0 & -\vec{\sigma} \cdot \vec{\nabla} \\ \vec{\sigma} \cdot \vec{\nabla} & 0 \end{bmatrix} + m_0 c^2 \begin{bmatrix} I & 0 \\ 0 & I \end{bmatrix} \right) \Phi(\vec{x}, t)$$

zatem

$$i\hbar \frac{\partial}{\partial t} \Phi(\vec{x}, t) = [-i\hbar c \vec{\alpha} \cdot \vec{\nabla} + m_0 c^2 \beta] \Phi(\vec{x}, t)$$

gdzie $\vec{\alpha} = \begin{bmatrix} 0 & \vec{\sigma} \\ \vec{\sigma} & 0 \end{bmatrix}$; $\beta = \begin{bmatrix} I & 0 \\ 0 & -I \end{bmatrix}$

Zatem dla r-nia Diraca rolę Hamiltonianu pełni:

$$\hat{H} = -i\hbar c \vec{\alpha} \cdot \vec{\nabla} + m_0 c^2 \beta$$

Dla cząstki swobodnej moment pędu powinien być zachowany. Policzmy zatem:

$$[\hat{H}, \hat{L}_i] = \left[-i\hbar c \vec{\alpha} \cdot \vec{\nabla} + m_0 c^2 \beta, \sum_{k,l} \epsilon_{ikl} x_k \frac{\hbar}{i} \frac{\partial}{\partial x_l} \right] =$$

$$\hat{L}_i = (\vec{r} \times \vec{p})_i$$

$$= -i\hbar c \frac{\hbar}{i} \sum_{k,l,m} \left[\alpha_m \frac{\partial}{\partial x_m}, \epsilon_{ikl} x_k \frac{\partial}{\partial x_l} \right] =$$

$$= -\hbar^2 c \sum_{k,l,m} \alpha_m \epsilon_{ikl} \left(\frac{\partial}{\partial x_m} x_k \frac{\partial}{\partial x_l} - x_k \frac{\partial}{\partial x_l} \frac{\partial}{\partial x_m} \right) =$$

$$= -\hbar^2 c \sum_{k,l,m} \alpha_m \epsilon_{ikl} \delta_{km} \frac{\partial}{\partial x_l} = -\hbar^2 c \sum_{k,l} \epsilon_{ikl} \alpha_k \frac{\partial}{\partial x_l} = -\hbar^2 c (\vec{\alpha} \times \vec{\nabla})_i$$

Zatem $[\hat{H}, \hat{L}_i] = -\hbar^2 c (\vec{\alpha} \times \vec{\nabla})_i$

czyli operator orbitalnego momentu pędu nie komutuje z Hamiltonianem wynikającym z równia Diraca.

Rozważmy zmodyfikowany operator momentu pędu:

$$\hat{J} = \hat{L} + \frac{1}{2} \hbar \vec{\sigma}$$

Wtedy

$$[\hat{H}, \hat{J}_i] = [\hat{H}, \hat{L}_i + \frac{1}{2} \hbar \sigma_i] = -\hbar^2 c (\vec{\alpha} \times \vec{\nabla})_i + \frac{1}{2} \hbar [-i\hbar c \vec{\alpha} \cdot \vec{\nabla}, \sigma_i] =$$

$$= -\hbar^2 c (\vec{\alpha} \times \vec{\nabla})_i - \frac{1}{2} i \hbar^2 c \sum_k \frac{\partial}{\partial x_k} \begin{pmatrix} 0 & [\sigma_k, \sigma_i] \\ [\sigma_k, \sigma_i] & 0 \end{pmatrix} = \left\{ [\sigma_k, \sigma_i] = 2i \sum_l \epsilon_{kil} \sigma_l \right\} =$$

$$= -\hbar^2 c (\vec{\alpha} \times \vec{\nabla})_i - \frac{1}{2} i \hbar^2 c \sum_{k,l} \frac{\partial}{\partial x_k} 2i \epsilon_{kil} \begin{pmatrix} 0 & \sigma_l \\ \sigma_l & 0 \end{pmatrix} =$$

$$= -\hbar^2 c (\vec{\alpha} \times \vec{\nabla})_i + \hbar^2 c \sum_{k,l} \varepsilon_{ilk} \begin{bmatrix} 0 & \sigma_l \\ \sigma_l & 0 \end{bmatrix} \frac{\partial}{\partial x_k} =$$

$$= -\hbar^2 c (\vec{\alpha} \times \vec{\nabla})_i + \hbar^2 c (\vec{\alpha} \times \vec{\nabla})_i = 0$$

Czyli Hamiltonian komutuje z operatorem $\hat{\mathbf{J}}$:

$$\boxed{[\hat{H}, \hat{\mathbf{J}}] = 0}$$

gdzie $\hat{\mathbf{J}} = \hat{\mathbf{L}} + \frac{1}{2} \hbar \vec{\sigma}$ reprezentuje całkowity moment pędu cząstki (orbitalny i spinowy)

Stąd wynika, że spinowy moment pędu dodaje się do orbitalnego momentu pędu cząstki (tzn. powinien być traktowany w ten sam sposób).

$$\begin{cases} \hat{\mathbf{J}}^2 |j m\rangle = \hbar^2 j(j+1) |j m\rangle \\ \hat{J}_z |j m\rangle = \hbar m |j m\rangle \end{cases}$$

gdzie $j = \frac{1}{2}, \frac{3}{2}, \frac{5}{2}, \dots$

$m = -j, -j+1, \dots, j-1, j$ ($2j+1$ - wartości)

Wyrowadzenie γ -nia Pauliego z γ -nia Diraca

(65d)

Rozważmy elektron w polu e.m.

$$\left[i\hbar \bar{\gamma}^\mu \cdot \left(\partial_\mu + \frac{ie}{\hbar c} \bar{A}_\mu \right) - m_0 c \right] \Phi(\bar{x}^\mu) = 0$$

gdzie $\bar{A}_\mu = (\varphi, -\vec{A})$

Przepisujemy to γ -nie do postaci : $i\hbar \frac{\partial}{\partial t} \Phi = \hat{H} \Phi$

$$\left(i\hbar \begin{bmatrix} \frac{\partial}{\partial ct} + \frac{ie}{\hbar c} \varphi & 0 \\ 0 & -\frac{\partial}{\partial ct} - \frac{ie}{\hbar c} \varphi \end{bmatrix} + i\hbar \begin{bmatrix} 0 & \vec{\sigma} \cdot \left(\vec{\nabla} - \frac{ie}{\hbar c} \vec{A} \right) \\ -\vec{\sigma} \cdot \left(\vec{\nabla} - \frac{ie}{\hbar c} \vec{A} \right) & 0 \end{bmatrix} - \begin{bmatrix} m_0 c & 0 \\ 0 & m_0 c \end{bmatrix} \right) \Phi(\bar{x}^\mu) = 0$$

$$i\hbar \begin{bmatrix} \frac{\partial}{\partial t} & 0 \\ 0 & -\frac{\partial}{\partial t} \end{bmatrix} \Phi(\bar{x}^\mu) = \left(\begin{bmatrix} e\varphi & 0 \\ 0 & -e\varphi \end{bmatrix} - i\hbar c \begin{bmatrix} 0 & \vec{\sigma} \cdot \left(\vec{\nabla} - \frac{ie}{\hbar c} \vec{A} \right) \\ -\vec{\sigma} \cdot \left(\vec{\nabla} - \frac{ie}{\hbar c} \vec{A} \right) & 0 \end{bmatrix} + \begin{bmatrix} m_0 c^2 & 0 \\ 0 & m_0 c^2 \end{bmatrix} \right) \Phi(\bar{x}^\mu)$$

Zatem mamy : $i\hbar \frac{\partial}{\partial t} \Phi(\bar{x}^\mu) = \hat{H} \Phi(\bar{x}^\mu)$

gdzie $\hat{H} = -i\hbar c \vec{\alpha} \cdot \left(\vec{\nabla} - \frac{ie}{\hbar c} \vec{A} \right) + m_0 c^2 \beta + e\varphi(\vec{r}, t)$

Rozważmy : $\Phi = \begin{bmatrix} \Phi_+ \\ \Phi_- \end{bmatrix}$

Wtedy

$$(*) \begin{cases} i\hbar \frac{\partial}{\partial t} \Phi_+(\vec{r}, t) = -i\hbar c \vec{\sigma} \cdot \left(\vec{\nabla} - \frac{ie}{\hbar c} \vec{A} \right) \Phi_-(\vec{r}, t) + (m_0 c^2 + e\varphi) \Phi_+(\vec{r}, t) \\ i\hbar \frac{\partial}{\partial t} \Phi_-(\vec{r}, t) = -i\hbar c \vec{\sigma} \cdot \left(\vec{\nabla} - \frac{ie}{\hbar c} \vec{A} \right) \Phi_+(\vec{r}, t) + (-m_0 c^2 + e\varphi) \Phi_-(\vec{r}, t) \end{cases}$$

Będziemy szukać rozwiązań powyższych γ -ni odpowiadających dodatniom energiiom w granicy nierelatywistycznej :

$$(**) m_0 c^2 \gg e\varphi \quad \text{oraz} \quad \left| \frac{\partial}{\partial t} \Phi_\pm \right| \ll |m_0 c^2 \Phi_\pm|$$

Niech

$$\begin{cases} \Phi_+(\vec{r}, t) = e^{-\frac{i\omega_0 t}{\hbar}} \tilde{\Phi}_+(\vec{r}, t) \\ \Phi_-(\vec{r}, t) = e^{-\frac{i\omega_0 t}{\hbar}} \tilde{\Phi}_-(\vec{r}, t) \end{cases}$$

Wstawiamy do r-wna (*):

$$\begin{cases} i\hbar \frac{\partial}{\partial t} \tilde{\Phi}_+ = -i\hbar c \vec{\sigma} \cdot (\vec{\nabla} - \frac{ie}{\hbar c} \vec{A}) \tilde{\Phi}_- + e\varphi \tilde{\Phi}_+ \\ i\hbar \frac{\partial}{\partial t} \tilde{\Phi}_- = -i\hbar c \vec{\sigma} \cdot (\vec{\nabla} - \frac{ie}{\hbar c} \vec{A}) \tilde{\Phi}_+ + (e\varphi - 2\omega_0 c^2) \tilde{\Phi}_- \end{cases}$$

W granicy nierelatywistycznej drugie z r-ñ można przybliżyć przez:

$$0 \approx -i\hbar c \vec{\sigma} \cdot (\vec{\nabla} - \frac{ie}{\hbar c} \vec{A}) \tilde{\Phi}_+ - 2\omega_0 c^2 \tilde{\Phi}_-$$

Stąd w granicy nierelatywistycznej mamy:

$$\tilde{\Phi}_- = - \frac{i\hbar c \vec{\sigma} \cdot (\vec{\nabla} - \frac{ie}{\hbar c} \vec{A})}{2\omega_0 c^2} \tilde{\Phi}_+$$

Wstawiając do pierwszego z r-ñ (***) otrzymujemy:

$$i\hbar \frac{\partial}{\partial t} \tilde{\Phi}_+ = \frac{-\hbar^2 c^2 \left[\vec{\sigma} \cdot (\vec{\nabla} - \frac{ie}{\hbar c} \vec{A}) \right]^2}{2\omega_0 c^2} \tilde{\Phi}_+ + e\varphi \tilde{\Phi}_+$$

czyli

$$i\hbar \frac{\partial}{\partial t} \tilde{\Phi}_+(\vec{r}, t) = \left(-\frac{\hbar^2}{2\omega_0} \left[\vec{\sigma} \cdot (\vec{\nabla} - \frac{ie}{\hbar c} \vec{A}) \right]^2 + e\varphi \right) \tilde{\Phi}_+(\vec{r}, t)$$

Rozwijamy czołn:

$$\left[\vec{\sigma} \cdot (\vec{\nabla} - \frac{ie}{\hbar c} \vec{A}) \right]^2 = \sum_{k,l} \sigma_k \left(\frac{\partial}{\partial x_k} - \frac{ie}{\hbar c} A_k \right) \sigma_l \left(\frac{\partial}{\partial x_l} - \frac{ie}{\hbar c} A_l \right) =$$

$$= \sum_k \left(\frac{\partial}{\partial x_k} - \frac{ie}{\hbar c} A_k \right)^2 + \sum_{k \neq l} \sigma_k \sigma_l \left(\frac{\partial}{\partial x_k} - \frac{ie}{\hbar c} A_k \right) \left(\frac{\partial}{\partial x_l} - \frac{ie}{\hbar c} A_l \right)$$

$$\sum_{k \neq l} \sigma_k \sigma_l \left(\frac{\partial}{\partial x_k} - \frac{ie}{\hbar c} A_k \right) \left(\frac{\partial}{\partial x_l} - \frac{ie}{\hbar c} A_l \right) =$$

$$= \sum_{k > l} \left[\sigma_k \sigma_l \left(\frac{\partial}{\partial x_k} - \frac{ie}{\hbar c} A_k \right) \left(\frac{\partial}{\partial x_l} - \frac{ie}{\hbar c} A_l \right) + \sigma_l \sigma_k \left(\frac{\partial}{\partial x_l} - \frac{ie}{\hbar c} A_l \right) \left(\frac{\partial}{\partial x_k} - \frac{ie}{\hbar c} A_k \right) \right] =$$

$$\sigma_k \sigma_l = -\sigma_l \sigma_k \text{ dla } k \neq l$$

$$= \sum_{k > l} \sigma_k \sigma_l [\hat{\pi}_k, \hat{\pi}_l] = \frac{1}{2} \sum_{k > l} \sigma_k \sigma_l [\hat{\pi}_k, \hat{\pi}_l] - \frac{1}{2} \sum_{k > l} \sigma_l \sigma_k [\hat{\pi}_k, \hat{\pi}_l]$$

$$\text{gdzie } \hat{\pi}_k = \frac{\partial}{\partial x_k} - \frac{ie}{\hbar c} A_k$$

czyli

$$\sum_{k \neq l} \sigma_k \sigma_l \hat{\pi}_k \hat{\pi}_l = \frac{1}{2} \sum_{k > l} [\sigma_k, \sigma_l] [\hat{\pi}_k, \hat{\pi}_l] = i \sum_{k > l} \sum_m \varepsilon_{klm} \sigma_m [\hat{\pi}_k, \hat{\pi}_l]$$

ale

$$[\hat{\pi}_k, \hat{\pi}_l] = \left(\frac{\partial}{\partial x_k} - \frac{ie}{\hbar c} A_k \right) \left(\frac{\partial}{\partial x_l} - \frac{ie}{\hbar c} A_l \right) - \left(\frac{\partial}{\partial x_l} - \frac{ie}{\hbar c} A_l \right) \left(\frac{\partial}{\partial x_k} - \frac{ie}{\hbar c} A_k \right) =$$

$$= + \frac{ie}{\hbar c} \left(\frac{\partial A_k}{\partial x_l} - \frac{\partial A_l}{\partial x_k} \right) \quad \text{[crossed out]$$

czyli

$$\sum_{k \neq l} \sigma_k \sigma_l \hat{\pi}_k \hat{\pi}_l = i \sum_{k > l} \sum_m \varepsilon_{klm} \sigma_m \frac{ie}{\hbar c} \left(\frac{\partial A_k}{\partial x_l} - \frac{\partial A_l}{\partial x_m} \right) =$$

$$= - \frac{e}{\hbar c} \sum_m \sigma_m \varepsilon_{mkl} \left(\frac{\partial A_k}{\partial x_l} - \frac{\partial A_l}{\partial x_k} \right) = + \frac{e}{\hbar c} \frac{1}{2} \sum_m \sum_{k,l} \sigma_m \varepsilon_{mlk} \left(\frac{\partial A_k}{\partial x_l} - \frac{\partial A_l}{\partial x_k} \right) =$$

$$= + \frac{e}{\hbar c} \vec{\sigma} \cdot (\vec{\nabla} \times \vec{A}) \quad \leftarrow \text{bo } (\vec{\nabla} \times \vec{A})_m = \sum_{k,l} \varepsilon_{mlk} \frac{\partial A_k}{\partial x_l} = \frac{1}{2} \sum_{k,l} \varepsilon_{mlk} \left(\frac{\partial A_k}{\partial x_l} - \frac{\partial A_l}{\partial x_k} \right)$$

Zatem podsumowując

$$\left[\vec{\sigma} \cdot \left(\vec{\nabla} - \frac{ie}{\hbar c} \vec{A} \right) \right]^2 = \sum_k \left(\frac{\partial}{\partial x_k} - \frac{ie}{\hbar c} A_k \right)^2 + \frac{e}{\hbar c} \vec{\sigma} \cdot \vec{B}$$

Czyli równanie

$$i\hbar \frac{\partial}{\partial t} \tilde{\Phi}_+(\vec{r}, t) = -\frac{\hbar^2}{2m_0} \left[\vec{\sigma} \cdot \left(\vec{\nabla} - \frac{ie}{\hbar c} \vec{A} \right) \right]^2 \tilde{\Phi}_+(\vec{r}, t) + e\varphi \tilde{\Phi}_+(\vec{r}, t)$$

można zapisać w postaci:

$$i\hbar \frac{\partial}{\partial t} \tilde{\Phi}_+(\vec{r}, t) = -\frac{\hbar^2}{2m_0} \left[\left(\vec{\nabla} - \frac{ie}{\hbar c} \vec{A} \right)^2 + \frac{e\hbar}{mc} \vec{\sigma} \cdot \vec{B} \right] \tilde{\Phi}_+(\vec{r}, t) + e\varphi \tilde{\Phi}_+(\vec{r}, t)$$

Ostatecznie otrzymujemy r-nię Pauliego:

$$i\hbar \frac{\partial}{\partial t} \tilde{\Phi}_+(\vec{r}, t) = -\frac{\hbar^2}{2m_0} \left(\vec{\nabla} - \frac{ie}{\hbar c} \vec{A} \right)^2 \tilde{\Phi}_+(\vec{r}, t) - \frac{e\hbar}{2m_0 c} \vec{\sigma} \cdot \vec{B} \tilde{\Phi}_+(\vec{r}, t) + e\varphi \tilde{\Phi}_+(\vec{r}, t)$$

gdzie $\mu_B = \frac{e\hbar}{2m_0 c}$ jest magnetonem Bohra

Zatem r-nię Diraca daje automatycznie poprawne sprzężenie spinu z polem magnetycznym dla elektronu.

Zauważmy, że to sprzężenie jest inne niż dla orbitalnego momentu pędu; które jest postaci: $\frac{e}{2m_0 c} \hat{L} \cdot \vec{B}$

Natomiast dla spinu mamy: $\frac{e}{m_0 c} \hat{S} \cdot \vec{B}$; $\hat{S} = \frac{\hbar}{2} \vec{\sigma}$

Czyli ogólnie sprzężenie z polem magnetycznym jest postaci:

$$\text{gdzie } \hat{\mu} = g \frac{e}{2m_0 c} \begin{cases} \hat{L} & ; g=1 \\ \hat{S} & ; g=2 \end{cases} \cdot \vec{B}$$

Podsumowanie

(66)

- 1) Można utworzyć relatywistyczne wersje r -nia falowego Schrödingera, które dają poprawny opis cząstek kwantowych (zgodność z doświadczeniem widem atomowych). (nie wspominać Hamiltonianu)
- 2) Relatywistyczne wersje r -nia Schrödingera przewidują istnienie spinu cząstek (r -nie Diraca) i istnienie antycząstek, czyli cząstek o tej samej masie i przeciwnym ładunku.
- 3) R -nie Diraca opisuje dobre własności cząstki punktowej ze spinem (elektron, pozyton). Daje natomiast niepoprawne sprzężenie spinu z polem e.m. dla cząstek złożonych (np. proton, neutron).
- 4) Relatywistyczna mechanika kwantowa jest teorią spójną jedynie dla cząstek swobodnych. W przypadku istnienia zewnętrznego oddz. (np. elektromagnetycznego) relatywistyczna mechanika kwantowa jest jedynie przybliżeniem dobrym dla wolnozmiennych (w czasie i przestrzeni) pól. Przyczyną tego jest że w przypadku szybkozmiennych pól zewnętrznym pojawia się możliwość kreacji i anihilacji cząstek. Dlatego teoria oparta na pojęciu funkcji falowej pojedynczej cząstki jest niezspójna.
- 5) Poprawne połączenie teorii względności z mechaniką kwantową musi prowadzić do teorii, w której liczba cząstek może się zmieniać w czasie. Teoria taką jest kwantowa teoria pola, w której podstawowym obiektem podlegającym ewolucji jest pole kwantowe. Funkcja falowa jest w tej teorii obiektem pochodnym, który opisuje konkretne wzbudzenie pola kwantowego.